



АЗЭРБАЙЧАН ССР ЕЛМЛӨР АКАДЕМИЯСЫ  
АКАДЕМИЯ НАУК АЗЕРБАЙДЖАНСКОЙ ССР

# МЭРҮЗЭЛЭР ДОКЛАДЫ

1977 • 9

МҮЭЛЛИФЛӘР ҮЧҮН ГАЙДАЛАР

1. «Азәрбайчан ССР Елмләр Академијасынын Мә'рүзәләри»ндә иңәри вә тәчрубы әһәмијјәтә малик елми-тәдгигатларын тамамланыш вә һәлә дәрч едилмәмиш иетичәләри нағында гыса мә'лumatлар чап олунур.

«Мә'рүзәләр»дә механики сүрәтдә бир иечә айры-айры мә'лumatлар шәклинә салыныш ири почмалы мәгаләләр, яени фактики мә'лumatлардан мәйрум мубаһисе харәтерли мәгаләләр, мүәյҗән иетичә вә умумиләшdirмаләрсиз көмәкчи тәчрүбәләрин тәсвириндән ибәрәт мәгаләләр, гејри-принципиал, тәсвири вә ичмал харәтерли ишләр, төвсия едилән методу принципчә яени оймајан сырф методик мәгаләләр, набелә битки вә һевиаларын систематикасына даир (елм үчүн хүсуси әһәмијјәтә малик тапынтыларын тәсвири истина олмагла) мәгаләләр дәрч едилмир.

«Мә'рүзәләр»дә дәрч олунай мәгаләләр һәмин мә'лumatлaryны даһа кениш шәкилдә башга иешрләрдә чап едилмәси үчүн мүэллифин һүгүгүнү әлинидән алмый.

2. «Мә'рүзәләр»ни редаксијасына дахил олан мәгаләләр ялныз ихтирас үзәрә бир иәфәр академик тәдгиматында сонра редаксија һеј'ети тәрәфиндән иәзәрдән кечирилләр. Пәр бир академик илдә 5 әдәддән соч олмамаг шәртилә мәгаләләр тәдгим едә биләр.

Азәрбайчан ССР Елмләр Академијасынын мүхбири үзвүлөринин мәгаләләри тәдгиматсыз гәбул олунур.

Редаксија академикләрдән хәниш едир ки, мәгаләләри тәдгим едәркән онларын мүэллифләрдән алымасы тарихини, набелә мәгаләнини јерләшdirиләчәји бөлмөнин адымы көстәрсилләр.

3. «Мә'рүзәләр»дә бир мүэллиф илдә 3 мәгалә дәрч етдиရе биләр.

4. «Мә'рүзәләр»дә шәкилләр дә дахил олмагла, мүэллиф вәрәгәнин дәрдә бириндән артыг 0,5 мајараг язы макинасында язылыш 6-7 сәнифе һәчминде (10000 чап ишареси) мәгаләләр дәрч едилләр.

5. Бүтүн мәгаләләрин иккилес дилиндә хұласәсін олмалыдыр; бундан башга, Азәрбайчан дилиндә язылан мәгаләләре рус дилиндә хұласә әлавә едилмәлиләр. Рус дилиндә язылан мәгаләләрин исә Азәрбайчан дилиндә хұласәсін олмалыдыр.

6. Мәгаләнин сонуида тәдгүгат ишиниң јеринә јетирилдији елми идарәнин ады вә мүэллифин телефон иөмрәси көстәрilmәлиләр.

7. Елми идарәнәрдә апарылан тәдгигат ишләринин иетичәләринин дәрч олунмасы үчүн елми идарәнин директорлуғунун ичазеси олмалыдыр.

8. Мәгаләдә (хұласәләр дә дахил олмагла) вәрәгии бир үзүндә иккى хәтт ара бурахылараг язы макинасында чап едилмәли вә иккى нұхса тәдгим едилмәлиләр. Дүстүрләр дәтигү вә айдын язылмалы, һәм дә бөйүк һәрфләрин алтындаи, кичикләрин исә үстүндән (гарә гәләмлә) иккى хәтт чәкилмәлиләр; жунаи элифбасы һәрфләрин тәржимәләр.

9. Мәгаләдә спит көтирилән әдәбијјат сәнифәнин ахырында чыхыш шәклиндә десил, элифба гајдасы ила (мүэллифин фамилијасына көрә) мәгаләнин сонуида мәтидәкى иснад иөмрәси көстәрilmәкә үмуми сијаһы үзәрә верилмәлиләр. Әдәбијјатын сијаһысы ашагыдақи шәкилдә тәртиб едилмәлиләр:

а) китаблар үчүн: мүэллифин фамилијасы вә инициалы, китабын бүтөв ады, чилдин иөмрәси, шәһәр, иәшријјат вә иешр или;

б) мәчмуәләрдәкі (әсәрләрдәкі) мәгаләләр үчүн: мүэллифин фамилијасы вә инициалы, мәгаләнин ады, мәчмуәләнин (әсәрләрин) ады, чилд, бурахылыш, иәшр олунидуғу јер, иәшријјат, ил, сәнифе;

в) журнал мәгаләләрін үчүн: мүэллифин фамилијасы вә инициалы, мәгаләнин ады, журналын ады, ил, чилд, иөмрә (бурахылыш), сәнифе көстәрilmәлиләр.

Дәрч едилмәмиш әсәрләрә (несабатлар вә елми идарәнәрдә сахланан диссертасијалар истина олмага) иснад етмәк олмаз.

10. Шәкилләрни арxa тәрәфиндә мүэллифин фамилијасы, мәгаләнин ады вә шәклини иөмрәси көстәрilmәлиләр. Макинада язылыш шәкилләртү сәзләр айрыча вәрәгдә тәдгим едилләр.

11. Мәгаләләрин мүэллифләри Унификасија олунмуш оимнилик тәснифат үзәрә мәгаләләрин индексини көстәрмәли вә «Рефератив журнал» үчүн реферат әлавә етмәләрдирләр.

12. Мүэллифләр чөдөлләрдә, график материалларда вә мәгаләнин мәтининдә бу вә я дикәр рәгәмләрни тәккәр едилмәсси јол вермәмәлиләр. Мәгаләләрин һәчми кичиқ олдуғу үчүн иетичәләр ялныз зәрурий һалларда вәрилләр.

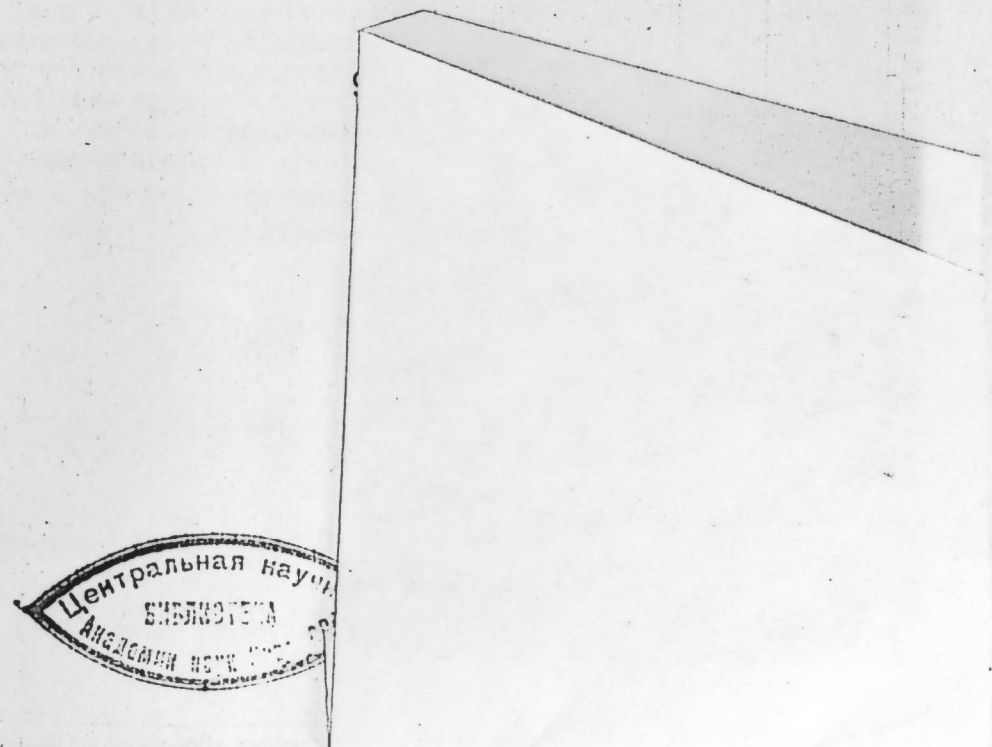
13. Иккى вә я даһа соч мәгалә тәдгим едилдикдә онларын дәрчедилмә ардычыллығыны да көстәрмәк лазымдыр.

14. Мәгаләләрин корректурасы, бир гајда олараг, мүэллифләре көндәрилмиш. Корректура көндәрилдији тәгдирдә исә ялныз мәтбәә сәивләрини дүзәлтмәк олар.

15. Редаксија мүэллиф пулсуз олараг мәгаләнин 15 нұхса айрыча оттискини верир.

# МӘ'РҮЗӘЛӘР ДОКЛАДЫ

ТОМ XXXIII ЧИЛД



## РЕДАКЦИОННАЯ КОЛЛЕГИЯ.

Г. Б. Абдуллаев (главный редактор),  
 Ал. А. Ализаде, Г. А. Алиев, В. Р. Волобуев, Г. Г. Гасанов,  
 Дж. Б. Гулиев, Н. А. Гулиев, А. И. Гусейнов, М. З. Джабаров,  
 Ю. М. Сенцов (зам. главного редактора), М. А. Кашкай,  
 А. С. Сумбатзаде, М. А. Топчибашев, Т. Н. Шахтахтинский  
 Г. Г. Зейналов (ответств. секретарь).

УДК 517. 512

МАТЕМАТИКА

В. А. АБИЛОВ

## ПРИБЛИЖЕНИЕ НЕПРЕРЫВНЫХ ФУНКЦИЙ АРИФМЕТИЧЕСКИМИ СРЕДНИМИ ЧАСТНЫХ СУММ РЯДА ФУРЬЕ—ЛАГЕРРА

(Представлено академиком АН Азербайджанской ССР И. И. Ибрагимовым)

1. Впервые асимптотически точное равенство для верхней грани уклонения частных сумм ряда Фурье от класса  $\Gamma$  раз дифференцируемых  $2\pi$ -периодических функций установлено А. Н. Колмогоровым [1] в 1935 г. Наиболее полные результаты в этом направлении принадлежат С. М. Никольскому [2] и А. В. Ефимову [3]. Асимптотически точные и порядковые равенства для верхних граней уклонений частных сумм и их арифметических средних рядов Фурье—Якоби, Фурье—Эрмита от различных классов функций получены в работах С. А. Агаханова, Г. И. Натаисона и автора [4—7].

В данной статье приведено порядковое равенство для верхней грани уклонения арифметических средних частных сумм ряда Фурье—Лагерра от класса непрерывных функций с заданной мажорантой модуля непрерывности.

2. Пусть  $L_n^{\alpha}(x)$ —многочлены Лагерра [8], ортогональные на  $[0, +\infty)$  с весом  $e^{-x}x^{\alpha}(\alpha > -1)$ , нормированные условием  $L_n^{\alpha}(0) = \binom{n+\alpha}{n}$  и

$$f(x) \sim \sum_{n=0}^{\infty} c_n(f) L_n^{\alpha}(x),$$

$$\left( c_n(f) = [\Gamma(\alpha+1) \binom{n+\alpha}{n}]^{-1} \int_0^{\infty} e^{-t} t^{\alpha} f(t) L_n^{\alpha}(t) dt \right) -$$

ряд Фурье—Лагерра функции  $f(x)$ ;  $S_n(f; x) = \sum_{k=0}^n c_k(f) L_k^{(\alpha)}(x) —$

частные суммы ряда Фурье—Лагерра;

$$\sigma_n(f; x) = \frac{1}{n+1} \sum_{k=0}^n S_k(f; x) —$$

арифметические средние частных сумм ряда Фурье—Лагерра.

Пусть, далее,  $\omega(t)$  — заданный модуль непрерывности [9], т. е. функция, заданная на  $[0, +\infty)$  и удовлетворяющая условиям:

- 1)  $\lim_{t \rightarrow 0} \omega(t) = \omega(0) = 0$ ;
- 2)  $0 \leq \omega(t_2) - \omega(t_1) \leq \omega(t_2 - t_1)$  ( $0 \leq t_1 < t_2$ ).

Обозначим через  $H_m$  класс функций, заданных на  $[0, +\infty)$ , модуль непрерывности

$$\omega(f; t) := \sup \left\{ \sup_{\|h\| \leq t} \left\{ \sup_{x \in [0, +\infty)} |f(x+h) - f(x)| \right\} \right\}$$

которых для  $[0, +\infty)$  не превосходит заданного модуля непрерывности  $\omega(t)$ , т. е.

$$\omega(f; t) \leq \omega(t).$$

Справедлива следующая

Теорема. Пусть  $x \in (0, +\infty)$  и  $\alpha > \frac{n}{2}$ . Тогда

$$\sup_{\|h\| \leq n} |f(x) - \sigma_n(f; x)| = O\left(\left(\frac{n}{Wm}\right)^{\alpha}\right),$$

где константа, входящая в  $O(\cdot)$ , зависит от  $\alpha$  и  $x$ , причем она равномерно ограничена относительно  $x$  на любом отрезке  $[a, b] \subset (0, +\infty)$ .

З. Доказательство этой теоремы можно привести с помощью следующих вспомогательных предложений.

Лемма 1. Пусть  $x \in (0, +\infty)$  и  $\alpha > -1$ . Тогда<sup>1</sup>

$$E_m^{(\alpha)}(x) = \frac{n}{Wm} \frac{x^{\alpha+1}}{n^{\alpha+2}} - \frac{n}{Wm} x^{\alpha+2} \frac{1}{2^{\alpha+3}} \left( \sin \left( 2\sqrt{Wm}x - \frac{\pi}{2} - \frac{\pi}{4} \right) + O\left(\frac{1+x^2}{\sqrt{Wm}}\right) \right),$$

где константа, входящая в  $O(\cdot)$ , зависит только от  $\alpha$ .

Лемма 2. Справедливо равенство

$$\sum_{k=1}^n \sin \sqrt{Wm} k t = \frac{1}{2} \int_0^{\sqrt{Wm}} \cos \sqrt{Wm} u du + O(\sqrt{Wm})(1+t^2).$$

Доказательство. Для  $f(t) \in H_m$ , имеем

$$\int_0^{\sqrt{Wm}} \frac{f(t)}{t^2} \cos \sqrt{Wm} u du = O\left(\sqrt{Wm}^{\alpha} \left(\frac{n}{Wm}\right)^{\alpha}\right).$$

В леммах 2 и 3 константа, входящая в  $O(\cdot)$ , абсолютна.

### Литература

1. Ковалевский А. Н. Адм. Мат., 36, 1935, 521–526, 2). Финкельштейн С. М. Тр. Акад. наук СССР, 16, 1935, 119–129, 3). Финкельштейн С. М. Адм. АМН СССР, серия матем., 234, 1960, 243–296, 4). Альгаханов С. М. Ученые записки ГГУ, 1965, № 1, 1–16. Альгаханов С. М. Ученые записки ГГУ, 1966, № 1, 99–105, 5). Альгаханов С. М. Ученые записки ГГУ, 1966, № 2, 29–30, 6). Абилов В. А. Ученые записки ГГУ, 1966, № 3, 1–10.

<sup>1</sup> См. also И. И. Суровиков, Частичные ортогональные многочлены, М., «Наука», 1975, стр. 221–226.

Агаханов С. А. ДАН СССР, 182, 1968, № 6, 1247–1248. 7. Абилов В. А. Изв. вузов, Матем., 1972, № 3 (118), 3–9. 8. Сеге Г. Ортогональные многочлены. М., Физматгиз, 1962. 9. Никольский С. М. ДАН СССР, 52, 1946, 191–194.

Дагестанский государственный  
университет им. Ленина

Поступило 16. II 1977

В. А. Абилов

### КЭСИЛМЭЖЭН ФУНКЦИЯЛАРЫН ФУРЈЕ—ЛАГЕРР СЫРАСЫНЫН ХҮСҮСИ ЧЭМЛЭРИНИН ЭДЭДИ ОРТАСЫ ИЛЭ ЖАХЫНЛАШМАСЫ

Мэглэдэ Фурје—Лагерр сырасынын хүсүси чэмлэрини эдэдий ортасынан кэслэж функциалар синфицлэн мэжлини дэгэг јухары сэрхэли үчүн, кэслмэзлик модулууну верилмиши мажорантына көрэ тэртиб бэрабэрлий алымышидыр.

V. D. Abilov

### APPROXIMATION OF CONTINUOUS BY THE ARITHMETIC MEANS OF THE FURIER—LAGERR SERIES PARTICULAR SUMS

In the given paper the ordinal equality for the upper deviation bound of arithmetic means of the Fourier—Lagerr series particular sums from the class of continuous functions with the given majorant of the modulus of continuity is established.

М. А. ГУЛНЕВ

**ПРЯМАЯ СХЕМА МОДЕЛИРОВАНИЯ ПЕСТАЦИОНАРНОГО ТЕМПЕРАТУРНОГО ПОЛЯ ПРИ НАЛИЧИИ ИСТОЧНИКОВ, УЧИТЫВАЕМЫХ ДЕЛЬТА-ФУНКЦИЕЙ ДИРАКА**

(Представлено академиком АН Азербайджанской ССР А. И. Гусейновым)

Моделирование нестационарного температурного поля с учетом влияния подвижного или неподвижных источников, описываемых дельта-функцией Дирака, представляет большой интерес [1,2]. Для исследования температурного поля при наличии неподвижных источников в работе [3] предложен косвенный метод моделирования [4], обладающий широкими возможностями анализа сложных физических процессов.

Ниже предлагается другая схема моделирования указанного процесса, описывающего уравнением

$$a \frac{\partial^2 T}{\partial x^2} - \beta \frac{\partial T}{\partial x} + \sum_{i=1}^n A_i \delta(x-x_i) = \frac{\partial T}{\partial t}, \quad (1)$$

где  $a$  — коэффициент температуропроводности,  $\beta$  — конвективный параметр,  $\delta(x)$  — дельта-функция Дирака [1,2];

$$\delta(x-x_i) = \begin{cases} 0 & \text{при } x \neq x_i, \\ \infty & \text{при } x = x_i, \end{cases} \quad (2)$$

$$\int_{b_1}^{b_2} \delta(x-x_i) dx = \begin{cases} 0, & \text{если } x_i \text{ вне } (b_1, b_2), \\ 1, & \text{если } b_1 < x_i < b_2. \end{cases}$$

В уравнении (1)  $A_i$  — это тепловая мощность источника, приходящаяся на единицу поверхности [2,3].

Сущность рассматриваемой в настоящей статье схемы моделирования заключается в том, что без ввода новой неизвестной функции истиинное решение получается через другое, как это сделано в методе, предложенному в [3]. Поэтому такую схему моделирования будем называть *прямой схемой*. Прямая схема предусматривает моделирование процесса путем подачи соответствующих токов, постоянных во времени величин, в указанные уравнением точки области. Величина тока выбирается пропорциональной величине  $A_i$ .

Ниже уравнение (1) с применением прямой схемы решается на сеточной аналоговой вычислительной машине для различных случаев наличия источников. Эксперименты проведены при

$$a=0,004 \text{ м}^2/\text{ч}, \quad l=9 \text{ ч}, \quad c_n=0,2 \text{ ккал}/\text{кг}\cdot\text{град},$$

$$\rho_n=2500 \text{ кг}/\text{м}^3, \quad \lambda=2 \text{ ккал}/\text{м}\cdot\text{ч}\cdot\text{град}.$$

Влияние конвективного слагаемого не учитывалось, так как этот вопрос широко освещен в работах [5—7]. Краевые условия принимались как  $T_u=T_k=T_0=0^\circ$ . Сетка состояла из сопротивлений 7 ком, на узловые точки подключались емкости 0,1 мкФ. Моделирование проводилось при частоте 5 кГц.

Результаты моделирования, представленные в табл. 1 и 2, для первой получены при  $A_1=671,04 \cdot 20 \cdot 10^{-4} \text{ м}\cdot\text{град}/\text{ч}$ , во второй — для случая, когда  $2A_2=A_1$ . Полученные данные сравнивались с результатами численных расчетов по формуле, выведенной нами с применением вариационного метода [6] (табл. 3); над чертой приведены результаты моделирования.

Таблица 1

Время	Узловые точки							
	1	2	3	4	5	6	7	8
$t_1=516r$	2,4	54,6	115,2	55,2	22,6	8,4	2,0	0,8
$t_2=2t_1$	45,2	98,8	171,4	107,4	59,4	30,6	14,4	5,4
$t_3=4t_1$	73,4	150,4	233	174	120	77,6	46,8	21,4
$t_4=10t_1$	99,4	222	32	214	19	141	90	45,6

Таблица 2

Время	Узловые точки							
	1	2	3	4	5	6	7	8
$t_1=516r$	38	102	216	101	42	15	4,4	1,1
$t_2=2t_1$	89,4	197	336	208	118	61	28,6	11,2
$t_3=4t_1$	144	296	454	333	236	157	93	43,4
$t_4=10t_1$	183	378	572	408	370	274	178	86

Таблица 3

Время	Узловые точки			
	1	2	3	4
$t_1=516r$	38,0	102,00	216,00	101,0
	31,5	110,59	257,55	77,91
	89,40	196,80	336,0	268,00
$t_2=2t_1$	77,38	186,20	355,32	186,15
	144,00	296,00	454,00	336,00
$t_3=4t_1$	131,97	290,49	419,40	335,19
	188,50	378,0	572,00	48,00
$t_4=10t_1$	20,15	413,3	627,30	510,63

Как видно из табл. 3, результаты, полученные с применением вариационного метода, хорошо согласуются с результатами моделирования и основным для больших моментов времени.

Если включение источников имеет место в двух точках, то уравнение (1) принимает вид

$$a \frac{\partial^2 T}{\partial x^2} + A_1 \delta(x - x_1) + A_2 \delta(x - x_2) = \frac{\partial T}{\partial t}, \quad (3)$$

где  $A_1 > 0$  и  $A_2 > 0$ . Этот случай моделируется подачей соответствующих токов в точки, расположенные от границы  $x=0$  на расстоянии  $x=x_1$  и  $x=x_2$ .

На рис. 1 представлены результаты моделирования, полученные при  $T_{in}=T_k=T_0=0^\circ$ . При этом в точку  $x=x_1$  подавалось количество

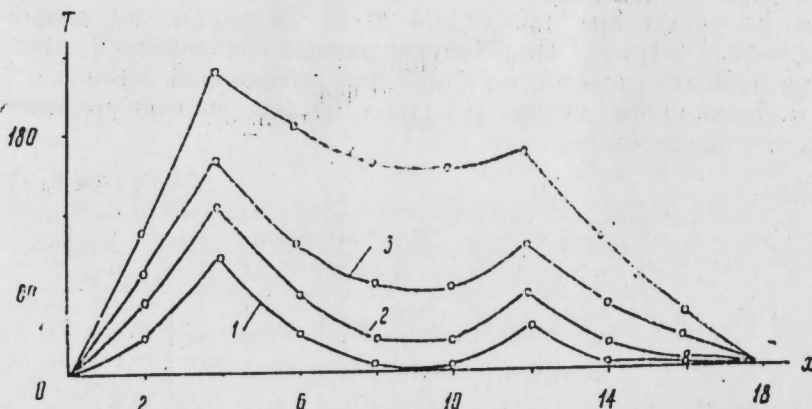


Рис. 1.

тепла, равное  $Q_1=Q^*$ , а в точке  $x=x_2$  оно равно  $Q_2=0,8Q^*$ . Кр. 1 показывает изменение температуры по протяженности области в момент времени  $t=t_1$ , а кр. 2, 3 и 4 построены соответственно для моментов времени  $t_2=2t_1$ ,  $t_3=3t_1$  и  $t_4=7t_1$ .

Решение уравнения (3) при  $A_2 < 0$  показано на рис. 2, где пред-

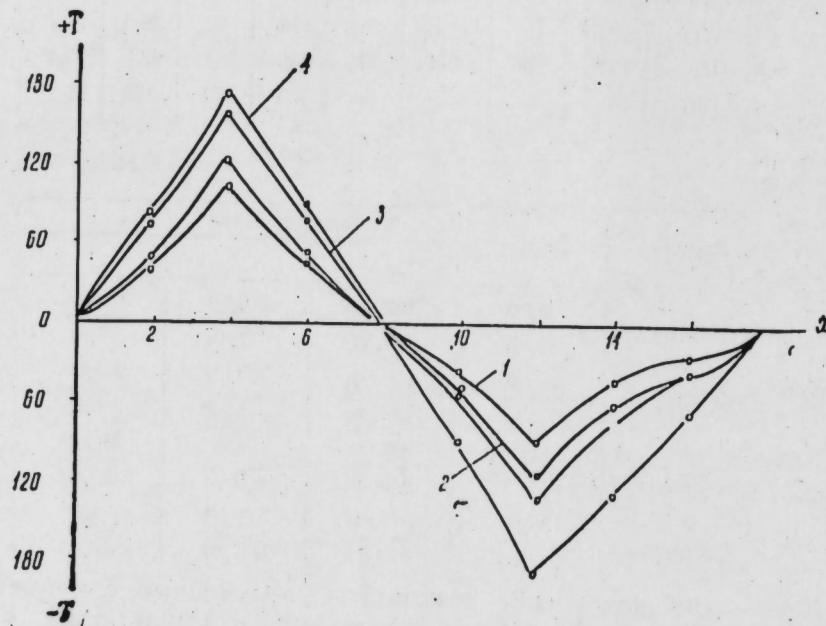


Рис. 2.

ставлено распределение температуры, полученное для случая  $Q_1=Q^*$  и  $Q_2=-Q^*$ . Как видно, имеется сечение области, температура которого во времени не изменяется. Оно расположено в середине расстояния между точками  $x=x_1$  и  $x=x_2$ , что подтверждает гипотезу проф. М. А. Гусейн-заде о наличии такого сечения [8].

#### Литература

- Гусейн-заде М. А., Колосовская А. К. Упругий режим в однопластовых и многопластовых системах. М., "Недра", 1972.
- Багиров М. А., Вечхайзер Г. В., Джуварлы Ч. М. Электрические способы увеличения нефтеотдачи пластов. Азернефт, 1962.
- Гулиев М. А. ДАН Азерб. ССР, т. XXXII, 1976, № 11.
- Гулиев М. А. К моделированию физических полей и систем. Баку, "Маариф", 1970.
- Гулиев М. А. ДАН Азерб. ССР, т. XXX, 1974, № 6, стр. 3.
- Гулиев М. А. Азерб. нефт. хоз., 1973, № 2, стр. 25.
- Гулиев М. А. К теории моделирования температурных полей, содержащих теплопроводные и конвективные потоки. В кн.: "Вопросы технической кибернетики". Баку, "Элм", 1975, стр. 19.
- Бобровский С. А., Щербаков С. Г., Гусейн-заде М. А. Движение газа в газопроводах с путевым отбором. М., "Наука", 1972.

Институт кибернетики  
АН Азерб. ССР

Поступило 8. IX 1976

М. А. Гулиев

#### ДЕЛТА-ФУНКСИЯ ИЛЭ НЭЗЭРЭ АЛЫНАН МЭНБЭЛЭРИ ОЛАН ГЕЈРИ-СТАСИОНАР ТЕМПЕРАТУР САҮССИННИН БИЛАВАСИТЭ МОДЕЛЛЭШДИРЛМЭСИ СХЕМИ

Мэгэлэдэ тэрпэнмэс мэнбэлэри олан гејри-стасионар просесслэрийн моделлэшдирлмэсийн өврэндлиши вэ моделлэшдирмэ схеми тэсвир едилмийшидир. Схем конкрет мэсэлэлээрэ тэтбиг олжинушдур. Мухтэлиф наллар учун моделлэшдирмэши нэтичэлэри тэгдим едилмийшидир.

M. A. Guliyev

#### DIRECT SIMULATION SCHEME OF THE NON-STATIONARY TEMPERATURE FIELD IN THE PRESENCE OF THE SOURCES CONSIDERING BY DIRAC'S DELTA-FUNCTION

The paper is devoted to the simulation of the non-stationary processes in the presence of the immovable sources. The direct simulation scheme applied to the solving of the specific problems is proposed. For different cases it is represented the simulation results (fig. 1 and fig. 2). The comparison of the simulation results with the results of numerical calculation over obtained by the author approximate formulas is given in the table.

Ю. М. СЕНДОВ, И. Г. АБДУЛЛАЕВ

## ПАРАМЕТРИЧЕСКОЕ ВОЗБУЖДЕНИЕ ПОВЕРХНОСТНЫХ МАГНИТОУПРУГИХ ВОЛН В ФЕРРОМАГНЕТИКАХ

(Представлено академиком АН Азербайджанской ССР Г. Б. Абдуллаевым)

Поверхностные упругие волны, распространяющиеся вблизи свободной поверхности непрерывной изотропной среды впервые исследованы Релеем [1]. В кристаллических решетках такие волны изучены Лифшицем и Розенцвейгом [2], а также Уоллисом [3].

Поверхностные спиновые волны в ферромагнетиках рассмотрены Эшбахом и Даймоном [4] в длинноволновом приближении, т. е. когда наибольший вклад в спектр дает дипольное взаимодействие, Уоллисом [5] и Миллсом [6] в коротковолновом приближении, т. е. когда основную роль играет обменное взаимодействие.

Впервые поверхности магнитоупругие волны в полубесконечных кубических ферромагнитных кристаллах исследованы Абдуллаевым и Сендовым [7]. Методом двухвременных функций Грина ими получено аналитическое выражение энергетического спектра этих волн.

В настоящей статье рассматривается параметрическое возбуждение поверхностных связанных магнитоупругих волн (ПСМВ) в простых кубических ферромагнитных кристаллах параллельной магнитной накачкой. Для нахождения порогового значения поля накачки, при котором возбуждаются поверхностные моды, используется критерий Мадсена и Танаки [8].

Поверхность магнитоупругого кристалла будем предполагать плоской и неограниченной. Пусть этой поверхности соответствует плоскость  $XZ$ , а области среди  $-y < 0$ . Внешнее постоянное магнитное поле направим по оси  $z$ .

Исходный гамильтониан запишем в виде [7]

$$H = H_s + H_{ph} + H_{int}. \quad (1)$$

Здесь  $H_s$  описывает спиновую подсистему,  $H_{ph}$  — фононную, а  $H_{int}$  — взаимодействие между ними. Их явные выражения через операторы спинового момента  $\vec{S}_j$  и смещения атомов  $\vec{R}_j$ :

$$H_s = -\frac{1}{2} \sum_{l,s} (jj+\Delta) \vec{S}_j \vec{S}_{j+\Delta} - g\mu_B H \sum_j S_j^z,$$

$$H_{ph} = \frac{1}{2} \sum_j \left[ m k_j^2 + \frac{\alpha}{2} \sum_{\mu\nu} \left( \frac{\partial R_\mu^j}{\partial x_\nu} + \frac{\partial R_\nu^j}{\partial x_\mu} \right)^2 + \beta \left( \sum_\mu \frac{\partial R_\mu^j}{\partial x_\mu} \right)^2 \right],$$

$$H_{int} = \frac{B}{2} \sum_j \left[ S_j^x S_j^z \left( \frac{\partial R_x^j}{\partial z} + \frac{\partial R_z^j}{\partial x} \right) + S_j^y S_j^z \left( \frac{\partial R_y^j}{\partial z} + \frac{\partial R_z^j}{\partial y} \right) \right],$$

где  $I$  — обмениальный интеграл,  $B$  — параметр спин-фононной связи,  $m$  — масса одного иона,  $H$  — внешнее постоянное магнитное поле.  $g$  — фактор Ланде,  $\mu_B$  — магнетон Бора,  $\alpha, \beta$  — упругие постоянные. Суммирование по  $j$  производится по узлам решетки, а по  $\Delta$  — по ближайшим соседям.

Учитывая (в отличие от объемного случая) нарушение трансляционной инвариантности кристалла в направлении, перпендикулярном к поверхности [7], а также граничные условия для упругой волны [9], гамильтониан (1) легко преобразовать к виду

$$H = \sum_k [E_k a_k^+ a_k + F_k b_k^+ b_k + D_k (a_k b_{-k} + a_k b_k^+) + D_k^* (a_k^+ b_k + a_k^+ b_{-k})], \quad (2)$$

где  $k$  — двумерный волновой вектор,  $a_k^+$ ,  $a_k$  и  $b_k^+$ ,  $b_k$  — соответственно операторы рождения и уничтожения поверхностных магнонов и фононов,  $E_k$  — энергия поверхностных магнонов,  $F_k$  — фононов,  $D_k$  — взаимодействия между ними [7].

Переменное магнитное поле, направленное параллельно внешнему постоянному подмагничивающему полю, даст вклад в энергию поверхностных магнонов, и вместо (2) будем иметь

$$H = \sum_k [E_k a_k^+ a_k + F_k b_k^+ b_k + D_k (a_k b_{-k} + a_k b_k^+) + D_k^* (a_k^+ b_k + a_k^+ b_{-k}) + g\mu_B h \cos \omega t \sum_k a_k^+ a_k], \quad (3)$$

где  $h$  — амплитуда переменного поля.

Не зависящая от времени часть этого гамильтониана диагонализуется с помощью следующего линейного преобразования [10]:

$$\begin{aligned} a_k &= \sum_i (u_k^{(i)} c_k^{(i)} + v_k^{(i)*} c_{-k}^{(i)*}), \\ b_k &= \sum_i (u_k^{(i)} c_k^{(i)} + v_k^{(i)*} c_{-k}^{(i)*}), \quad i=1,2. \end{aligned} \quad (4)$$

Новые операторы  $c_k^{(i)*}, c_k^{(i)}$  описывают ПСМВ в представлении вторичного квантования. Коэффициенты преобразования  $u_k^{(i)}, u_k^{(i)*}, v_k^{(i)}, v_k^{(i)*}$  равны

$$\begin{aligned} u_k^{(i)} &= \frac{(E_k + \Omega_k^{(i)}) (F_k^2 - \Omega_k^{(i)2})}{2 \sqrt{E_k \Omega_k^{(i)} [(F_k^2 - \Omega_k^{(i)2})^2 + 4 |D_k|^2 E_k F_k]}}, \\ u_k^{(i)*} &= \frac{D_k (F_k + \Omega_k^{(i)}) \sqrt{E_k}}{\sqrt{\Omega_k^{(i)} [(F_k^2 - \Omega_k^{(i)2})^2 + 4 |D_k|^2 E_k F_k]}}, \\ v_k^{(i)} &= \frac{(E_k - \Omega_k^{(i)}) (F_k^2 - \Omega_k^{(i)2})}{2 \sqrt{E_k \Omega_k^{(i)} [(F_k^2 - \Omega_k^{(i)2})^2 + 4 |D_k|^2 E_k F_k]}}, \\ v_k^{(i)*} &= \frac{D_k (F_k - \Omega_k^{(i)}) \sqrt{E_k}}{\sqrt{\Omega_k^{(i)} [(F_k^2 - \Omega_k^{(i)2})^2 + 4 |D_k|^2 E_k F_k]}} \end{aligned} \quad (5)$$

Используя преобразование (4) и отбросив в зависящей от времени части гамильтониана (3) диагональные по  $c_k^{(1)}$  и  $c_k^{(2)}$  члены, можем написать:

$$H = H_0 + H_1(t) + H_2(t) + H_3(t). \quad (6)$$

Здесь  $H_0$  — оператор энергий невзаимодействующих квазичастиц двух сортов:

$$H_0 = \sum_k [\Omega_k^{(1)} (c_k^{(1)+} c_k^{(1)} + c_{-k}^{(1)} c_{-k}^{(1)+}) + \Omega_k^{(2)} (c_k^{(2)+} c_k^{(2)} + c_{-k}^{(2)} c_{-k}^{(2)+})], \quad (7)$$

для которых имеет место дисперсионное соотношение

$$\Omega_k^{(2,2)} = \left[ \frac{E_k^2 + F_k^2}{2} \pm \sqrt{\left( \frac{E_k^2 + F_k^2}{2} \right)^2 + 4|D_k|^2 E_k F_k} \right]^{1/2}; \quad (8)$$

$H_1(t)$ ,  $H_2(t)$  и  $H_3(t)$  будем рассматривать как операторы взаимодействий поля накачки с подсистемами, состоящими из квазичастиц с энергиами  $\Omega_k^{(1)}$ ,  $\Omega_k^{(2)}$  и с обеими подсистемами в целом:

$$H_1(t) = g\mu_B h \cos \omega t \sum_k u_k^{(1)} v_k^{(1)} (c_{-k}^{(1)} c_k^{(1)} + c_{-k}^{(1)+} c_k^{(1)}), \quad (9)$$

$$H_2(t) = g\mu_B h \cos \omega t \sum_k u_k^{(2)} v_k^{(2)} (c_{-k}^{(2)} c_k^{(2)} + c_{-k}^{(2)+} c_k^{(2)}), \quad (10)$$

$$H_3(t) = g\mu_B h \cos \omega t \sum_k (u_k^{(1)} v_k^{(2)} - u_k^{(2)} v_k^{(1)}) (c_{-k}^{(1)} c_{-k}^{(2)} + c_{-k}^{(1)+} c_k^{(2)+}). \quad (11)$$

Найдем критическое значение поля, при котором возбуждается пара ПСМВ одного сорта (т. е. соответствующие квазичастицам одного сорта) с противоположно направленными волновыми векторами. Для этого, следуя [8], представим (9) в виде

$$H_1(t) = -A_1 (e^{i\omega t} + e^{-i\omega t}), \quad (12)$$

где

$$A_1 = -h \sum_k (A_k^{(1)} + A_k^{(1)+}), \quad A_k^{(1)} = \rho_k c_{-k}^{(1)} c_k^{(1)}, \quad \rho_k = \frac{1}{2} g\mu_B u_k^{(1)} v_k^{(1)}. \quad (13)$$

Далее, найдем среднее от оператора  $A_k^{(1)}$ . В случае гармонического возмущения  $\langle A_k^{(1)} \rangle$  определяется через фурье-компоненты многовременных функций Грина следующим образом [10]:

$$\langle A_k^{(1)} \rangle = \int_{-\infty}^{\infty} \{ (-2\pi) G_2(A_k^{(1)}; \omega) + (-2\pi)^3 [G_4(A_k^{(1)}; \omega, 0, -\omega) + G_4(A_k^{(1)}; \omega, 0, \omega) + G_4(A_k^{(1)}; \omega, 2\omega, -\omega)] \}. \quad (14)$$

В рассматриваемой нами задаче  $G_2, G_4, \dots$  соответственно равны

$$G_2(A_k^{(1)}; \omega) = -\frac{\rho_k^2 h}{\pi} \frac{\langle c_k^{(1)+} c_k^{(1)} \rangle + \langle c_{-k}^{(1)+} c_{-k}^{(1)} \rangle}{\omega - 4\Omega_k^{(1)} + i4\eta_k^{(1)}},$$

$$G_4(A_k^{(1)}; \omega, 0, -\omega) = -\frac{\rho_k^2 h^2}{\pi^2} \frac{G_2(A_k^{(1)}; \omega)}{i\eta_k^{(1)}(-\omega + 4\Omega_k^{(1)} + i4\eta_k^{(1)})}, \quad (15)$$

$$G_4(A_k^{(1)}; \omega, 0, \omega) = -\frac{\rho_k^2 h^2}{\pi^2} \frac{G_2(A_k^{(1)}; \omega)}{i\eta_k^{(1)}(\omega - 4\Omega_k^{(1)} + i4\eta_k^{(1)})},$$

$$G_4(A_k^{(1)}; \omega, 2\omega, -\omega) \approx 0.$$

Коэффициент затухания  $\eta_k^{(1)}$  ПСМВ введен в выражениях (15) как минимальная добавка к собственной частоте  $\Omega_k^{(1)}$ .

Приравнивая к нулю (14), легко найдем:

$$h_{kp}^{(1)} = \frac{h}{V2 \rho_k} \left[ \left( \frac{\omega}{4} - \Omega_k^{(1)} \right)^2 + \eta_k^{(1)}{}^2 \right]^{1/2}. \quad (16)$$

Выражение для критического значения поля накачки, при котором возбуждается пара ПСМВ другого сорта, имеет такой же вид, как и (16), в котором следует произвести замену:  $\rho_k \rightarrow \delta_k = \frac{1}{2} g\mu_B u_k^{(2)} v_k^{(2)}$ ,  $\eta_k^{(1)} \rightarrow \eta_k^{(2)}$ ,

$$h_{kp}^{(2)} = \frac{h}{V2 \rho_k} \left[ \left( \frac{\omega}{4} - \Omega_k^{(2)} \right)^2 + \eta_k^{(2)}{}^2 \right]^{1/2}. \quad (16')$$

Для критического значения поля накачки, при котором возбуждаются ПСМВ обоих типов, получим следующее выражение:

$$h_{kp}^{(3)} = -\frac{h}{\delta_k} \left\{ \left[ \frac{\omega}{2} - (\Omega_k^{(1)} + \Omega_k^{(2)}) \right]^2 + (\eta_k^{(1)} + \eta_k^{(2)})^2 \right\}^{1/2} \quad (17)$$

где

$$\delta_k = \frac{1}{2} g\mu_B (u_k^{(2)} v_k^{(2)} - u_k^{(1)} v_k^{(1)}). \quad (18)$$

Функции Грина, входящие в (14), для этого случая соответственно равны

$$G_2(A_k^{(3)}; \omega) = -\frac{\delta_k^2 h}{2\pi} \frac{\langle c_{-k}^{(1)+} c_k^{(1)} \rangle + \langle c_k^{(2)+} c_{-k}^{(2)} \rangle}{\omega - 2(\Omega_k^{(1)} + \Omega_k^{(2)}) + i2(\eta_k^{(1)} + \eta_k^{(2)})},$$

$$G_4(A_k^{(3)}; \omega, 0, -\omega) = \frac{(\delta_k h)^2}{2\pi^2} \frac{G_2(A_k^{(3)}; \omega)}{i(\eta_k^{(1)} + \eta_k^{(2)})[-\omega + 2(\Omega_k^{(1)} + \Omega_k^{(2)}) + i2(\eta_k^{(1)} + \eta_k^{(2)})]},$$

$$G_4(A_k^{(3)}; \omega, 0, \omega) = \frac{(\delta_k h)^2}{(2\pi^2)} \frac{G_2(A_k^{(3)}; \omega)}{i(\eta_k^{(1)} + \eta_k^{(2)})[\omega - 2(\Omega_k^{(1)} + \Omega_k^{(2)}) + i2(\eta_k^{(1)} + \eta_k^{(2)})]},$$

$$G_4(A_k^{(3)}; \omega, 2\omega, -\omega) \approx 0.$$

Считая  $E_k, F_k, D_k$  величинами одного порядка и полагая  $\eta_k^{(1)}, \eta_k^{(2)} \sim (10^8 + 10^9) \text{ сек}^{-1}$ , при резонансе получаем из (16) (16') (17) для критических значений поля накачки:

$$h_{kp}^{(1)} \sim (10^2 + 10^3) \text{ э}, \quad h_{kp}^{(2)} \sim (10 + 10^2) \text{ э}.$$

Найденные значения  $h_{kp}^{(1,2,3)}$  показывают, что описываемые в работе явления можно наблюдать в эксперименте.

**Литература**

1. Lord Rayleigh. Proc. London Math. Soc., 17, 1867, 42.
2. Лифшиц И. М., Розенцвейг Л. Н. Ж. эксперим. и теорет. физ., 18, 1948, 1012.
3. Wallis R. E. Rev., 105, 1957, 540.
4. Eshbach J. a. D'Amico R. Phys. Rev., 118, 1960, 1208.
5. Wallis R. F., Magadudin A. A., Гратова I. P. a. Кючукян А. А. Solid State Commun., 5, 1967, 89.
6. Mills D. L. Plenum Press, Inc. N. Y., 1968, p. 4-6, 7.
7. Абдуллаев М. Н., Сейидов Ю. М. Препринт ИФАН Азерб. ССР. Баку, 1976.
8. Маддэйн М. Н., Сейидов Ю. М. Препринт ИФАН Азерб. ССР. Баку, 1976.
9. Ландau Л. Д., Лифшиц Е. И. Теория упругости. М., 1965.
10. Тяблников С. В. Методы квантовой теории магнетизма. М., 1975.

Институт физики АН Азерб. ССР

Поступило 8. VI 1977

Ю. М. Сейидов, Н. К. Абдуллаев

**ФЕРРОМАГНИТЛƏРДƏ СЭТЬ МАГНИТОЕЛАСТИК ДАЛГАЛАРЫНЫН  
ПАРАМЕТРИК ОЈАДЫЛМАСЫ**

Мəгнитлə салə кубик ферромагнит кристалында əлагəли сəти магнитоеластик далгаларынын харичи дəјиншəн магнит сəнəси илə параметрик ојадылмасына бағылышылар. Коңстэрүлүшлүк ки, үч чүр ојанма мүмкүндүр. Нəр бир һаң үчүн ажырылғанда харичи дəјиншəн магнит сəнəсинин ојанмасының баш бермəси үчүн лазын олан критик гијмети мүәјжидлəштирилмешлəр.

Yu. M. Seidov, N. G. Abdullaev

**PARAMETRIC EXCITATION OF SURFACE MAGNETOELASTIC WAVES IN  
FERROMAGNETS**

The paper discusses the parametric excitation of surface magnetoelastic waves by parallel-pumping magnetic field in simple cubic ferromagnet. It is shown the possibility of three kind of parametric excitation. The critical value of the pump field for each kind is calculated.

АЗӘРБАЙЧАН ССР ЕЛМЛӘР АКАДЕМИЯСЫНЫН МӘРҮЗӘЛӘРИ

ДОКЛАДЫ АКАДЕМИИ НАУК АЗЕРБАЙДЖАНСКОГО ССР

ТОМ XXXIII чилд

№ 9

1977

УДК 621.315.592

**ФИЗИКА ПОЛУПРОВОДНИКОВ  
И ДИЭЛЕКТРИКОВ**

Член-корр. АН Азерб. ССР М. И. АЛИЕВ, Фируза М. ГАШИМЗАДЕ,  
Р. М. ДЖАББАРОВ

**ВЛИЯНИЕ АНИЗОТРОПИИ ИЗОЭНЕРГЕТИЧЕСКИХ ПОВЕРХНОСТЕЙ  
ТЯЖЕЛЫХ ДЫРОК НА КОЭФФИЦИЕНТ ХОЛЛА в  $p=InSb$**

В полупроводниках типа  $p=InSb$  коэффициент Холла, очевидно, не дает непосредственно величину концентрации дырок. Это обусловлено тем, что, во-первых, имеются два сорта носителей: тяжелые и легкие дырки, во-вторых, зона тяжелых дырок несферична, а зона легких дырок непарabolична. При изучении влияния вышеуказанных факторов на величину искомой концентрации необходимо в первую очередь выявить механизм рассеяния, поскольку вклад легких дырок существенно зависит именно от него. Только при рассеянии на ионизированных примесях константа Холла определяется в основном вкладом тяжелых дырок. В остальных случаях вклад легких дырок может превышать вклад тяжелых. Тем не менее нами исследовался случай ионного рассеяния, поскольку при этом легко выявляется вклад каждого из вышеуказанных факторов в отдельности, причем константа Холла в первом приближении дает сведения о концентрации тяжелых дырок.

Оценки приведены для образцов  $p=InSb$  с концентрациями  $p_1 = 1.6 \cdot 10^{18}$ ;  $7.8 \cdot 10^{18}$ ;  $3.12 \cdot 10^{18} \text{ см}^{-3}$ , найденными из эффекта Холла. Подвижность дырок для этих концентраций нами рассчитана при рассеянии их на ионах примеси, оптических и акустических фонах, непосредственном теории, спрямленной при квадратичном законе дисперсии и сильном вырождении [1]. В случае рассеяния на оптических фонах расчет проведен с учетом экранировки [2]:

$$n(\text{экр}) = n_{\text{опт}} \frac{1}{F_{\text{опт}}(\text{экр})},$$

$$F_{\text{опт}}(\text{экр}) = 1 + \frac{\xi}{1 + \xi} - 2\xi \ln \left( 1 + \frac{1}{\xi} \right),$$

$$\xi = \left( \frac{1}{2k_B r_s} \right)^2 k_B = (3\pi^2 n)^{1/3}, \quad (1)$$

$$r_s^{-2} = \frac{4e^2 m^*(3\pi^2 n)^{1/3}}{\pi \epsilon_0 h^2}, \quad (1)$$

где  $\epsilon_0$ —диэлектрическая постоянная,  $m^*$ —плотность состояния на поверхности Ферми,  $n$ —концентрация носителей тока.

Результаты расчетов приведены в табл. 1 и на рисунке. Оказалось, что при  $T=80^\circ\text{K}$  подвижность, обусловленная рассеянием дырок

Таблица 1

$p, \text{см}^{-3}$	$u_1, \frac{\text{см}^2}{\text{в. сек}}$	$u_{1+}, \frac{\text{см}^2}{\text{в. сек}}$	$u_0, \frac{\text{см}^2}{\text{в. сек}}$	$u_{1+a+0}, \frac{\text{см}^2}{\text{в. сек}}$	$R_s, \frac{\text{см}^2}{\text{в. сек}}$	$T^\circ\text{K}$
$1,6 \cdot 10^{19}$	380	$7 \cdot 10^3$	$1,2 \cdot 10^5$	63	310	
$7,8 \cdot 10^{18}$	453	$8,4 \cdot 10^3$	$1 \cdot 10^5$	430	400	
$3,12 \cdot 10^{18}$	581	$1,3 \cdot 10^4$	$7,3 \cdot 10^4$	555	460	
$1,6 \cdot 10^{19}$	380	$1,3 \cdot 10^3$	$6 \cdot 10^4$	290	230	
$7,8 \cdot 10^{18}$	453	$2,5 \cdot 10^3$	$5,54 \cdot 10^4$	350	240	
$3,12 \cdot 10^{18}$	581	$3,4 \cdot 10^3$	$4,9 \cdot 10^4$	440	330	

на колебаниях решетки, по крайней мере на порядок выше, чем при их рассеянии на ионах примеси.

При комнатной температуре роль решеточного рассеяния несколько повышается, но все-таки основным механизмом рассеяния является рассеяние на ионах примеси.

В случае рассеяния дырок на ионах примеси

$$\frac{u_1}{u_2} = \left(\frac{m_2}{m_1}\right)^{1/2}; \quad (3)$$

$u$ —подвижность дырок;  $m$ —эффективная масса дырок (здесь и ниже индекс 1 относится к тяжелым дыркам, 2—к легким).

С помощью (3) и соотношения

$$\frac{p_2}{p_1} = \left(\frac{m_2}{m_1}\right)^{1/2}, \quad (4)$$

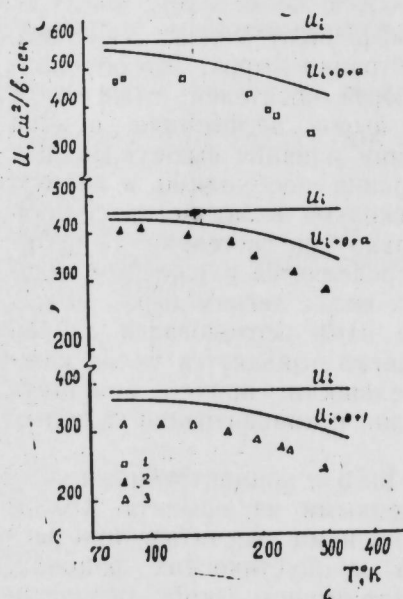
где  $p$ —концентрация дырок, формулы для константы Холла в слабом поле  $R_0$  и приводимости  $\sigma$ , с учетом двух типов дырок, принимают вид

$$R_0 = \frac{1}{ep_1} \frac{\left[1 + \left(\frac{m_2}{m_1}\right)^{1/2}\right]}{\left(1 + \frac{m_2}{m_1}\right)^2}, \quad (5)$$

$$\sigma = ep_1 u_1 \left(1 + \frac{m_2}{m_1}\right). \quad (6)$$

Оценка показывает, что при  $\frac{m_2}{m_1} = 0,0375$  ( $m_1 = 0,4m_0$ ;  $m_2 = 0,015m_0$ ) [3])  $R_0 = \frac{1}{ep_1} \cdot 1,11$ , т. е., как мы отметили выше, основной вклад в коэффициент Холла дают тяжелые дырки. Формулы (5) и (6) записаны без учета сложной формы зоны.

Каково же влияние на вычисленную из эффекта Холла величину



концентрации непарabolичности зоны, легких дырок? Непарabolичность приближенно можно учесть, если подставить в формулу (5) и (6) вместо эффективной массы легких дырок на дне зоны  $m_2$  эффективную массу при данной концентрации  $m_2(p_2)$ . Такая оценка показывает, что в пределах точности расчета непарabolичность зоны легких дырок не влияет на коэффициент Холла.

Несколько более существенным оказывается учет гофрировки зоны тяжелых дырок. Влияние гофрировки зоны тяжелых дырок анализировалось в [4], где авторы учитывали гофрировку поверхностей постоянной энергии тяжелых дырок в *Ge* и *Si* интерпретации зависимости коэффициента Холла от магнитного поля.

В работе [5] показано, что аналогично можно учесть гофрировку зоны тяжелых дырок в *InSb*.

В случае слабого поля компоненты тензоров электропроводности имеют вид [4]

$$\begin{aligned} \sigma_{xx}^{(1)} &= ep_1 u_1 \alpha (1 + b_3 + b_5), \\ \sigma_{xx}^{(2)} &= ep_2 u_2, \\ \sigma_{xy}^{(1)} &= \frac{e}{c} p_1 u_1^2 H \alpha a (1 - 3b_3 + 5b_5), \\ \sigma_{xy}^{(2)} &= \frac{e}{c} p_2 u_2^2 H, \end{aligned} \quad (7)$$

$\alpha$ ,  $a$ ,  $b_3$ ,  $b_5$ —параметры, характеризующие анизотропию изоэнергетических поверхностей тяжелых дырок:  $\alpha = 0,96$ ;  $a = 0,935$ ;  $b_3 = 0,072$ ;  $b_5 = 0,030$ .

С учетом (3) и (4)

$$R_0 = \frac{1}{ep_1} \frac{A + \left(\frac{m_2}{m_1}\right)^{1/2}}{\left(B + \frac{m_2}{m_1}\right)^2}, \quad (8)$$

$$\sigma = ep_1 u_1 \left(B + \frac{m_2}{m_1}\right), \quad (9)$$

где

$$A = \alpha a (1 - 3b_3 + 5b_5),$$

$$B = \alpha (1 + b_3 + b_5).$$

Расчет по формуле (8) дает

$$R_0 = \frac{1}{ep_1} \cdot 0,86.$$

Если не учитывать наличия легких дырок, а изоэнергетические поверхности тяжелых дырок считать гофрированными сферами, то

$$R_0 = \frac{1}{ep_1} \cdot \frac{A}{B^2} = \frac{1}{ep_1} \cdot 0,75.$$

Как видно, учет гофрированности изоэнергетических поверхностей тяжелых дырок не менее важен, чем учет легких.

Таким образом, показано, что учет легких дырок увеличивает постоянную Холла  $R_0$  на 11%, а учет гофрированности поверхности постоянной энергии тяжелых дырок уменьшает ее на 25%. Одновременный учет этих сложностей вalentной зоны изменяет  $R_0$  на 14%.

Следовательно, учитывая наличие двух типов носителей с простым законом дисперсии мы допускаем большую ошибку при нахождении концентрации тяжелых дырок, чем если бы вообще не учитывали второй сорт носителей. Вышесказанное, однако, справедливо, если основным механизмом рассеяния дырок является их рассеяние на ионах примеси.

Из (8) и (9) можно вычислить концентрацию  $p_1$  и подвижность  $u_1$  тяжелых дырок, затем согласно (3) и (4) найти  $p_2$  и  $u_2$ .

В табл. 2 приведены значения  $p_1$ ,  $p_2$ ,  $u_1$ ,  $u_2$  для трех измеренных образцов  $p=InSb$ , легированных Mn при  $T=80^{\circ}K$ .

Таблица 2

$R_{0p} \cdot \frac{cm^3}{k}$	$R_0 \cdot \frac{cm^2}{v \cdot sek}$	$p_1, cm^{-3}$	$p_2, cm^{-3}$	$u_1 \frac{cm^2}{v \cdot sek}$	$u_2 \frac{cm^2}{v \cdot sek}$
0,36	316	$5,37 \cdot 10^{19}$	$9,92 \cdot 10^{16}$	353	1500
0,8	400	$6,7 \cdot 10^{18}$	$4,86 \cdot 10^{16}$	436	1860
1,95	460	$2,68 \cdot 10^{18}$	$1,94 \cdot 10^{16}$	515	2190

#### Литература

1. Аскеров Б. М. Кинетические эффекты в полупроводниках. М.—Л., „Наука“ 1970.
2. Алиев Т. А., Гашимзаде Ф. М. „Изв. АН Азерб. ССР, серия физ.-техн. и матем. наук“, 1970, № 4, 98.
3. Маделунг О. Физика полупроводниковых соединений элементов III и V групп. М., „Мир“, 1967.
4. Веег А. Galvanomagnetic effects in Semiconductors, № 9. London, Acad Press, 1963.
5. Галаванов В. В., Гашимзаде Ф. М. Физ. и техн. полупроводников, 5, 1971, 2316.

Институт физики АН Азерб. ССР

Поступило 25.V 1977

М. И. Элиев, Ф. М. Һашымзадә, Р. М. Чаббаров

$p=InSb$ -да АФЫР ДЕШИКЛӘРИН САБИТ ЕНЕРЖИ СӘТҮЛӘРИНИН АНИЗОТРОПЛУГУНУН ҺОЛЛ ӘМСАЛЫНА ТӘ'СИРИ

Мәгаләдә  $p=InSb$  үчүн ағыр дешикләрин сабит енержи сәтүләринин анизотроплугунун һоll сабитинә тә'сири өзөнчилүүлүк. Көстәрилмешдир ки, дешикләрин ашгар ионларындан сәпилмәсі һалянда, онларын енержи сәтүләринин анизотропиясынын нәзәрә алышасы һоll әмсалынын 25% азалмасына кәтирир.

M. E. Aliev, E. M. Hashimzade, R. M. Djabbarov

THE INFLUENCE OF ANISOTROPY OF ISOENERGETIC SURFACES OF HEAVY HOLES ON THE HALL COEFFICIENT IN  $p=InSb$

The effect of warped surfaces of constant energies of heavy holes was taken into account for the calculating the Hall coefficients in  $p=InSb$ . It has been shown that the warping influences essentially on the value of Hall coefficient.

Член-корр. АН Азерб. Б. А. АЗИМОВ, д. м. КРЕМЕР

#### ИССЛЕДОВАНИЕ СООТНОШЕНИЙ КОЭФФИЦИЕНТОВ МАКСИМУМОВ ПО ПРЕДЕЛЬНОЙ ТЕМПЕРАТУРЕ И ТЕПЛОВОМУ ИЗНОСУ ИЗОЛЯЦИИ ПРИ ОПРЕДЕЛЕНИИ РАСЧЕТНОЙ МОЩНОСТИ СИЛОВЫХ ТРАНСФОРМАТОРОВ

Расчетную нагрузку для выбора трансформатора можно вычислить с помощью коэффициента спроса, который равен произведению двух коэффициентов (максимума и использования):

$$K_c = K_m K_u. \quad (1)$$

Чтобы найти  $K_m$ , в соответствии с [1] необходимо располагать двумя его значениями. Одно из них  $K_{m1}$  определяется по допустимому тепловому износу изоляции, второе  $K_{m2}$ —по допустимому пику температуры. При определении  $K_c$  используется наибольшее.

В настоящей статье излагаются результаты определения на основе анализа математической модели режима работы трансформатора с нагрузкой, которая имеет случайный характер, соотношения коэффициентов максимумов, вычисленных по двум тепловым эффектам (максимальному нагреву и тепловому износу изоляции). Относительную величину теплового износа изоляции трансформатора можно определить по формуле

$$E = \frac{1}{T} \int_0^T |I(t)V(t) - V_n| dt. \quad (2)$$

где  $T$ —время работы трансформатора;  $\gamma$ —постоянная, равная 0,0865;  $V(t)$ —температура нагрева изоляции;  $V_n$ —номинальная температура нагрева обмотки.

Условие выполнения нормированного теплового износа изоляции заключается в соблюдении условия  $E \leq 1$ .

Температура нагрева обмотки связана с эксплуатационной нагрузкой дифференциальным уравнением

$$\frac{dV}{dt} + AV = AV_n \left[ \frac{I(t)}{I_n} \right]^2, \quad (3)$$

где  $I(t)$  и  $I_n$ —текущее и номинальное значения тока трансформатора;

$A = \frac{1}{T_0}$  — величина, обратная постоянной времени нагрева.

Как видно из (3), температура нагрева изоляции трансформатора, будучи функцией случайной величины (тока), сама является случайной, для полной характеристики необходимо знать закон ее распределения. С учетом этого условие нормированного износа изоляции можно записать в виде

$$I^{V_n} \geq \int_{-\infty}^{+\infty} I^V \Pi(V) dV, \quad (4)$$

где  $\Pi(V)$  — закон распределения температуры нагрева обмотки трансформатора.

Температура обмотки трансформатора включает в себя сумму превышения температуры обмотки над температурой масла ( $\tau$ ), температуры масла над температурой воздуха ( $\theta$ ) и температуры окружающего воздуха ( $V_n$ ), т. е.

$$V = \tau + \theta + V_n. \quad (5)$$

Величина  $\tau$  и  $V_n$ , а также  $\theta$  и  $V_n$  — взаимонезависимы. Взаимное влияние  $\tau$  и  $\theta$  из-за резкого различия их постоянных нагрева весьма незначительно. Исходя из этого, формулу (4) можно записать в виде

$$I^{V_n} \geq \int_{-\infty}^{+\infty} I^{\theta} \Pi_1(\theta) d\theta \int_{-\infty}^{+\infty} I^{\tau} \Pi_2(\tau) d\tau \int_{-\infty}^{+\infty} I^{V_n} \Pi_3(V_n) dV_n, \quad (6)$$

где  $\Pi_1(\theta)$  и  $\Pi_2(\tau)$  — законы распределения превышения температуры обмотки над температурой масла и температуры масла над температурой воздуха;  $\Pi_3(V_n)$  — закон распределения температуры окружающего воздуха.

В соответствии с [2] можно принять, что закон распределения  $\Pi_3(V_n)$  близок к нормальному. Законы распределения  $\Pi_1(\theta)$  и  $\Pi_2(\tau)$  неизвестны. Их необходимо определить, исследуя различные режимы работы трансформатора. Эти исследования производились нами на ЭВМ "Наири-С" с помощью математических моделей, описывающих нагрев обмотки и масла трансформатора при различных заданных графиках нагрузки, которые имеют нормальный закон распределения. Всего использовано девять графиков нагрузки — каждый продолжительностью десять смен.

Для определения нагрева обмотки и масла трансформатора использовано приближенное уравнение (3), интеграл которого можно записать в виде

$$\tau_i = \tau_N \frac{W_i^2}{W_n^2} \left(1 - e^{-\frac{t}{T_0}}\right) + \tau_{i-1} e^{-\frac{t}{T_0}}, \quad (7)$$

где  $\tau_N$  — установившийся нагрев обмотки над маслом при номинальной нагрузке,  $\tau_N = 25^\circ$ ,  $W_i$ ,  $W_n$  — текущая и номинальная нагрузки трансформатора, ква;  $T_0$  — постоянная времени нагрева обмотки трансформатора.  $T_0 = 5$  мин;  $t$  — принятый интервал усреднения нагрузки. Уравнение (7) может быть использовано для определения температуры перегрева масла трансформатора сравнительно с температурой воздуха. При этом принимается  $V_N = 60^\circ$  и  $T_0 = 3$  ч.

Использование для решения поставленной задачи ЭВМ дало возможность проанализировать большое количество температурных графиков трансформатора, в частности определить законы распределения температур нагрева масла и обмоток.

Для температуры нагрева масла наиболее подходящим оказался нормальный закон распределения, который можно записать в виде

$$\Pi(\theta) = \frac{1}{\sigma_0 \sqrt{2\pi}} e^{-\frac{(\theta - \bar{\theta})^2}{2\sigma_0^2}}, \quad (8)$$

где  $\bar{\theta}$  и  $\sigma_0^2$  — математическое ожидание и дисперсия. Температура нагрева обмоток имеет распределение, близкое к квадратичному:

$$f(\tau) = \frac{1}{2\sqrt{2\pi}\sigma_\tau^2} \left[ e^{-\frac{(\tau - \bar{\tau})^2}{2\sigma_\tau^2}} + e^{-\frac{(\tau + \bar{\tau})^2}{2\sigma_\tau^2}} \right], \quad (9)$$

где  $\bar{\tau}$  и  $\sigma_\tau^2$  — математическое ожидание и дисперсия нормального закона распределения. Оценка степени совпадения статистических и теоретических кривых распределений производилась при помощи критерия согласия А. И. Колмогорова.

С учетом найденных законов распределения выражение (6) можно записать в виде

$$I^{V_n} \geq \int_{-\infty}^{+\infty} \frac{I^{0,0865\theta}}{\sqrt{2\pi D(\theta)}} e^{-\frac{(\theta - \bar{\theta})^2}{2D(\theta)}} d\theta \int_{-\infty}^{+\infty} \frac{I^{0,0865\tau}}{\sqrt{2\pi D(\tau)}} \left[ e^{-\frac{(\tau - \bar{\tau})^2}{2D(\tau)}} + e^{-\frac{(\tau + \bar{\tau})^2}{2D(\tau)}} \right] d\tau \int_{-\infty}^{+\infty} \frac{I^{0,0865V_n}}{\sqrt{2\pi D(V_n)}} e^{-\frac{(V_n - \bar{V}_n)^2}{2D(V_n)}} dV_n. \quad (10)$$

Выполнив ряд преобразований, получим

$$V_N \geq \bar{\theta} + \frac{0,0865D(\theta)}{2} + \frac{\bar{\tau}^2}{1 - 0,173D(\tau)} - \frac{I_n \sqrt{1 - 0,173D(\tau)}}{0,0865} + \bar{V}_n + \frac{0,0865D(V_n)}{2}. \quad (11)$$

Использование для практических целей выражения (11) вызывает ряд трудностей, связанных с определением дисперсий нагрева через параметры исходного процесса  $I(t)$ . С другой стороны, дисперсия групповых графиков нагрузок многих промышленных предприятий, и в частности установок нефтедобычи, изменяется в узких пределах. Следовательно, дисперсия общей температуры нагрева трансформатора также будет колебаться незначительно. Последнее свидетельствует о возможности описания колебания этих температур нормальным законом распределения. Указанное проверено и подтверждено для трансформаторов, работающих на графике нагрузок с коэффициентами формы 1,01—1,12. Учитывая это, условие нормированного износа изоляции по аналогии с (8) и (11) можно записать в виде

$$V_N \geq \bar{V} + 0,043D(V), \quad (12)$$

где  $\bar{V}D(V)$  — математическое ожидание и дисперсия закона распределения температуры перегрева трансформатора. В соответствии с положениями о композиции законов распределения (3) можно написать:

$$\bar{V} = \bar{\theta} + \bar{\tau} + \bar{V}_n, \quad (13)$$

$$D(V) = D(0) + D(\tau) + D(V_n). \quad (14)$$

Согласно [1] значения  $\theta$  и  $\tau$  зависят от технических данных трансформатора и показателей исходного процесса  $I(t)$ .  $V_n$  для различных районов страны приводится в климатологических справочниках:

$$\bar{\theta} = \theta_{уст} \left( \frac{1+aK^2}{1-a} \right)^{0.8}, \quad (15)$$

$$\bar{\tau} = \tau_{уст} (0.64K^2 + 0.36K) \quad (16)$$

где  $\theta_{уст}$  и  $\tau_{уст}$ —установившаяся температура масла и обмотки трансформатора при номинальной нагрузке;  $a$ —соотношение потерь короткого замыкания и холостого хода трансформатора;  $K$ —отношение данной нагрузки к номинальной.

Зависимость  $D(0)$  и  $D(\tau)$  от технических данных трансформатора и режима его работы получается сложной. С целью упрощения ее исследована корреляционная связь между коэффициентами форм графика нагрузок  $K_F$  и температурного графика нагрева  $K_{Ф}$ . Анализ большого числа моделированных графиков нагрузок, выполненный с помощью ЭВМ, показал что между  $K_F$  и  $K_{Ф}$  существует корреляционная зависимость следующего вида:

$$K_{Ф} = 0.973K_F. \quad (17)$$

Как известно, дисперсия и коэффициент формы графика нагрузок связаны следующим соотношением:

$$D = \bar{T}^2(K_F^2 - 1). \quad (18)$$

Подставляя в (11) выражения (12–18), получаем

$$V_N \geq V_{уст} \left( \frac{1+aK_u^2 K_F^2}{1-a} \right)^{0.8} + \tau_{уст} (0.64K_u^2 K_F^2 + 0.36K_u) + \bar{V}_n + \\ + 0.43 \left[ \left\{ \theta_{уст} \left( \frac{1+3aK_u^2 K_F^2}{1-a} \right)^{0.8} + \tau_{уст} (0.64 + K_u^2 K_F^2 + 0.36K_u) + \bar{V}_n \right\}^2 \times \right. \\ \left. \times (0.947K_F^2 - 1) \right], \quad (19)$$

где  $K_u$ —коэффициент использования.

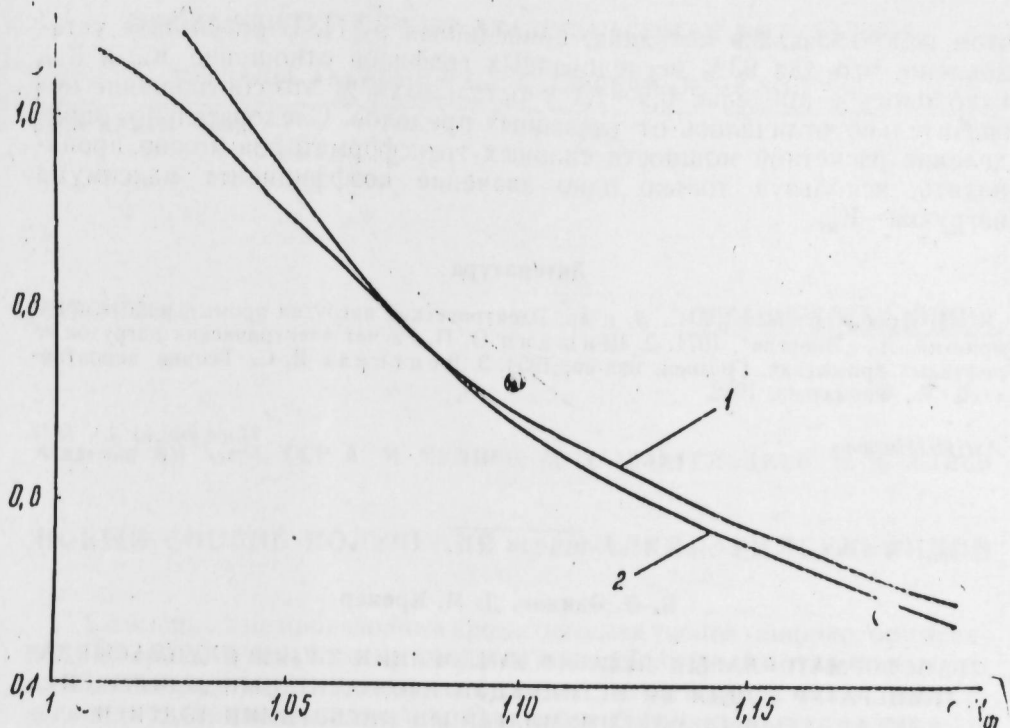
Ограничение загрузки трансформатора по максимальной температуре может быть получено из известного соотношения

$$V_u = \bar{V} + 3\sqrt{D(V)}. \quad (20)$$

Подставляя в (20) выражения (12–18), имеем

$$V_u = \left[ \theta_{уст} \left( \frac{1+aK_u^2 K_F^2}{1-a} \right)^{0.8} + \tau_{уст} (0.64K_u^2 K_F^2 + 0.36K_u) + \bar{V}_n \right] \times \\ \times (1 + 3\sqrt{K_F^2 - 1}). \quad (21)$$

Формулы (19) и (21) дают возможность определить допускаемую по тепловому износу изоляции и пику температуры трансформатора его загрузку ( $K_u = K_{п} \cdot K_a$ ) в зависимости от коэффициента формы  $K_F$  нагрузочного графика. На рисунке показана построенная по ним зависимость допускаемой загрузки трансформатора  $K_a$  по тепловому износу



Кривые для определения расчетного коэффициента загрузки трансформатора в зависимости от  $K_F$  графика нагрузки:  
1 — по нормированному тепловому износу изоляции; 2 — по пику температуры

изоляции и пику температуры от  $K_F$  графика нагрузки при  $K_u = 1$ . Расчеты производились при соответствующих параметрах  $a$ ,  $\theta_{уст}$  и  $\tau_{уст}$ . Максимальная температура принималась в соответствии с [1] равной полуторакратному значению номинальной. Как видно из рисунка,  $K_a$  трансформатора следует определять в зависимости от  $K_F$  графика нагрузки. При  $K_F \leq 1.08$  величина  $K_a$  трансформатора ограничивается нормированным значением теплового износа изоляции. При  $K_F \geq 1.08$  ограничение  $K_a$  должно производиться по пику температуры.

Таким образом, для графиков нагрузки с  $K_F > 1.08$ ,  $K_m$ ,  $K_{m1}$ . Вместе с тем анализ показывает, что величины расчетных нагрузок, определенные по двум отличным друг от друга эффектам—максимальной температуре и тепловому износу изоляции близки между собой. Для графиков нагрузок с  $K_F > 1.01$  это расхождение составляет не более 10%, т. е. находится в пределах погрешности, допускаемой в расчетах электрических нагрузок; лишь для графиков нагрузок с  $K_F$ , близким к единице ( $K_F \leq 1.03$ ),  $K_m$  ниже допустимых по погрешностям значений  $K_{m1}$ . Видимо, в этих случаях при практически постоянных графиках нагрузок определение расчетной мощности трансформаторов должно производиться по условию ограничения теплового износа изоляции.

Чтобы проверить, можно ли принять  $K_m \approx K_{m1}$  (это значительно упрощает расчеты электрических нагрузок), вычислены отношения этих коэффициентов для 480 моделюемых графиков нагрузок. Исследование производилось на ЭВМ „Наирис-С.“ Для каждой модели графика продолжительностью десять смен после определения ее показателей ( $K_u$  и  $K_F$ ) подсчитаны расчетные нагрузки  $W_{pl}$  (по максимальной температуре) и  $W_{ri}$  (по допустимому износу изоляции). При

Этот использовалась методика, приведенная в [1]. В результате установлено, что для 93% исследованных графиков отношение  $K_m$  и  $K_{m1}$  находилось в пределах 0,9—1,1 у остальных 7% это соотношение значительно отличалось от указанных пределов. Следовательно, определение расчетной мощности силовых трансформаторов можно производить, используя только одно значение коэффициента максимума нагрузки —  $K_{m1}$ .

#### Литература

1. Волобрицкий С. Д. и др. Электрические нагрузки промышленных предприятий. Л., "Энергия", 1971.
2. Шишкин О. П. Расчет электрических нагрузок на нефтепромыслах. Грознен. изд-во, 1954.
3. Вентцель Е. С. Теория вероятностей. М., Физматгиз, 1962.

АзНИИПИнефть

Поступило 3.V 1977

Б. Э. Эзимов, Д. М. Кремер

#### ТРАНСФОРМАТОРЛАРЫНЫҢ ҮСАБАТ КҮЧЛӨРИНИН ТӘ'ЛИН ОЛУМMASЫНДА ТЕМПЕРАТУР ҮӘДДИ ВӘ ИСТИЛИКДӘН ИЗОЛJАСИЈАНЫН ЈЕJИЛМӘСИ ӘМСАЛЛАРЫНЫҢ МАКСИМУМЛАРЫНЫҢ НИСБӘТИНИН ТӘДГИГИ

Мәгаләдә күч трансформаторунуң истиликтүш режиминин (долагларының гызысының максимал температурасынан вә истиликтән изолјасијанын јејилмәсін) тәнлили әсасында үсабат әмсалларының максимумларының нисбәти тәдгиг олунушшуда. Апарылыш тәдгигаттар әсасында күч трансформаторунуң үсабатында жалпыз әсасланырылышшуды.

B. A. Azimov, D. M. Kremer

#### RESEARCH OF CORRELATION COEFFICIENT MAXIMUMS ON (ABOUT) BREAKING POINT TEMPERATURE AND WARM (HEAT) WEAR OF ISOLATION BY DETERMINATION OF RATING CAPACITY OF POWER TRANSFORMERS

On the basis of analysis heat (warm) regime of work of power — transformers investigates the correlation rating coefficients maximums by two heat effects (maximum temperature winding of heating and to warmly wear of isolation).

On the basis of verifying (cheking) researches settled possibility to use by determination of rating capacity of power transformer only one coefficient of maximum on breaking point temperature.

#### АЗЭРБАЙЧАН ССР ЕЛМЛӘР АКАДЕМИЈАСЫНЫН МӘРУЗӘЛӘРИ ДОКЛАДЫ АКАДЕМИИ НАУК АЗЕРБАЙДЖАНСКОЙ ССР

ТОМ XXXIII чилд

№ 9

1977

УДК 547.569.2

#### ОРГАНИЧЕСКАЯ ХИМИЯ

Академик АН Азерб. ССР А. М. ҚУЛНЕВ, М. А. ШАХГЕЛЬДИЕВ, И. А. АЛИЕВ

#### НОВЫЙ СПОСОБ ПОЛУЧЕНИЯ *трет*-АЛКИЛАРИЛСУЛЬФИДОВ

S-замещенные производные ароматических тиолов широко применяются в народном хозяйстве в качестве антиокислителей и стабилизаторов для смазочных масел и моторных топлив, пластических масс, синтетических и натуральных каучуков. Они могут быть использованы также в качестве промежуточных продуктов при синтезе фармацевтических препаратов, инсектицидов, красителей.

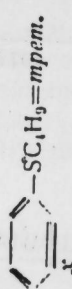
Общий способ получения смешанных тиоэфиров заключается в обработке алкилгалогенидов меркаптидами или тиофенолятами натрия или калия. Реакцию проводят в спиртовом, водно-спиртовом или водном растворах, используя обычно не менее стехиометрического количества NaOH или KOH. Способ непригоден для *трет*-алкилгалогенидов, поскольку в этом случае, как правило, они подвергаются дегидрогалогенированию [1, 2].

Алкиларилсульфиды могут быть синтезированы также алкилированием тиофенолов олефинами при 280—300°C и 200 at в присутствии алюминиевых стружек [3] или при 135—160° в присутствии катионаобменной смолы (35—40% от веса исходного тиофенола) в качестве катализатора [4, 5]. Однако необходимость применения высоких температур и давлений значительно усложняет эти методы.

Известны также способы получения алкиларилсульфидов алкилированием тиофенолов спиртами или олефинами в присутствии катализаторов  $AlX_3$  ( $X = Cl, Br$ ). Выходы, однако, при этом небольшие [5, 7].

Алкиларилсульфиды могут быть приготовлены и алкилированием тиофенолов олефинами (или алкилгалогенидами) в присутствии различных кислотных или основных катализаторов [8]. Однако этот способ также усложняет процесс получения сульфидов, так как включает в себя стадию нейтрализации реакционной смеси с последующей ее промывкой и сушкой.

Нами предлагается простой и удобный способ получения *трет*-алкиларилсульфидов из *трет*-алкилгалогенидов и арилтиолов взаимодействием арилтиолов с третичными алкилгалогенидами без применения каких-либо катализаторов (50—80°, продолжительность реакции 6—12 ч). При этом значительно упрощается технология процесса, так как отпадают стадии выделения или нейтрализации катализатораreak-

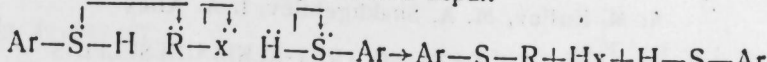


Физико-химические константы *трем-бутиларилсульфидов*

№ п. п.	$X \cdot n$ $XC_6H_5SC_4H_9=t\text{rem}$	Выход. %	Т. кип., °C и.и рт. см.	$n_D^0$	$d_4^{20}$	$MR_D$		Найдено, %			Вычислено, %			
						найдено	вычис- лено	С	Н	S	C	H	S	
I	$H^{[a]}$	54,2	55—56,2	1,53 0	0,9358	53,36	53,22	71,43	8,17	18,76	$C_{10}H_{11}S$	72,3	8,9	19,2;
II	$n=CH_3^{[a]}$	89,6	84/3,5	1,5300	(9,5)7	5,59	5,84	73,52	8,76	17,25	$C_{11}H_{12}S$	73,7	8,94	17,78
III	$M=C_6H_5$	30,6	83/4	1,53 9	0,9114	5,64	57,84	73,56	9,14	18,32	$C_{11}H_{10}S$	73,37	8,94	17,7;
IV	$n=CH_3O^{[a]}$	25,7	101/3	1,5414	1,0178	6,63	6,24	67,93	8,43	16,87	$C_{11}H_{10}OS$	67,30	8,22	16,33
V	$M=CH_3O^{[a]}$	20,7	108/5	1,5384	1,6175	60,39	60,24	67,07	8,49	16,55	$C_{11}H_{10}OS$	67,50	8,22	16,3;
VI	$n=F$	65,2	66/4	1,51 2	1,380	53,28	52,7	64,97	6,55	18,03	$C_{10}H_{12}FS$	65,18	7,11	17,4;
VII	$n=Cl$	85,0	88/3	1,5475	1,845	8,75	5,00	59,63	6,39	15,11	$C_{10}H_{13}CLS$	59,84	6,5;	15,97
VIII	$n=Br$	87,6	10/3	1,5666	1,95	—	0,99	48,64	5,11	12,42	$C_{10}H_{13}BrS$	43,99	5,54	13,0;
IX	$n=J$	76,3	T. пл. 68- 69 <sup>2</sup>	—	—	—	—	41,50	4,7	10,54	$C_{10}H_{13}JS$	41,11	4,48	11,97
X	$n, o, o'=(CH_3)_3$	4,0	104/2	1,5458	(5,643	(7,87	67,84	74,73	9,42	15,93	$C_{13}H_{20}S$	74,95	9,63	17,9

Приложение. [a] Т. кип. 55—56°/2 м.и.,  $n_D^{20}$  1,5231  $d_4^{20}$  0,9612 [4,5]; т. кип. 1,9, 5—10,2°,  $n_D^{20}$  1,5330 [9];  $n_D^{20}$  1,5,22 [15]; т. кип. 123°/50 м.и. [3,11]; [6] т. кип. 142°/50 м.и. [3,11]; т. кип. 99—101°/10 м.и.;  $n_D^{20}$  1,5357 [10]; [8] т. кип. 123—126°/10 м.и.,  $n_D^{20}$  1,5421 [16]; т. кип. 13°/10 м.и.,  $n_D^{20}$  1,5,21 [12]; [2] т. кип. 126°/11 м.и.,  $n_D^{20}$  1,5332 [12]; [g] т. кип. 105—115°/5 м.и. [10].

ции (или конденсирующего средства) и целевые сульфины отличаются большим выходом и высокой чистотой. Можно предполагать, что исследуемая реакция начинается как нуклеофильное замещение галогена в алкилгалогенидах тиофенолом, играющим роль нуклеофильного реагента; последний одновременно служит и сольвентирующим агентом. Очевидно, в качестве нуклеофильного центра молекулы тиофенола вступает свободная электронная пара атома серы:



По-видимому, реакция в целом является автокатализической за счет выделяющегося по ходу процесса галогеноводорода.

### ЭКСПЕРИМЕНТАЛЬНАЯ ЧАСТЬ

**трет-Бутилфенилсульфид (I).** Смесь из 11 г (0,1 г·моля) тиофенола и 18,6 г 0,2 г·моля) хлористого *трет*-бутила нагревали при 55—60° в течение 12 ч, затем разбавляли 100 мл бензола, промывали 5%-ным раствором NaOH (50 мл×4), сушили  $\text{CaCl}_2$ ; растворитель удаляли, а остаток перегоняли в вакууме.

Аналогично получен *трет*-бутилмезитилсульфид (X).

**трет-Бутил-*p*-крезилсульфид (II).** Смесь из 12,4 г (0,1 г·моля) *p*-тиокрезола и 27,4 г (0,2 г·моля) бромистого *трет*-бутила нагревали при 75—80° в течение 12 ч, затем легкие фракции отгоняли в вакууме водоструйного насоса; остаток подвергали вакуумной перегонке.

**трет-Бутил-*p*-фторфенилсульфид (VI).** Смесь из 12,8 г (0,1 г·моля) *p*-фтортиофенола и 13,7 г (0,1 г·моля) бромистого *трет*-бутила нагревали при 75—80° в течение 6 ч. После добавления 13,7 бромистого *трет*-бутила раствор продолжали нагревать (75—80°, 6 ч). Затем реакционную смесь разбавляли 100 мл бензола, промывали 5%-ным раствором NaOH (50 мл×4), сушили  $\text{CaCl}_2$ ; растворитель удаляли, а остаток перегоняли в вакууме.

**трет-Бутил-*p*-хлоренилсульфид (VII).** Смесь из 14,5 г (0,1 г·моля) *p*-хлортиофенола и 27,4 г (0,2 г·моля) бромистого *трет*-бутила нагревали при 75—85° в течение 12 ч, затем охлаждали, разбавляли, бензолом и фильтровали через слой анионообменной смолы (АН-2Ф или АВ-16). Фильтрат упаривали, остаток разгоняли в вакууме.

Аналогично получены и другие сульфины II—IX. Физико-химические константы синтезированных соединений представлены в таблице.

### Литература

- I. Фьюсон Р. Реакции органических соединений. М., «Мир», 1966, 257. 2. Вейнштейн Хильгерстаг Методы эксперимента в органической химии. М., «Химия», 1968, 583. 3. Пат. США 314489, 1964, 4. Катаев Е. Г., Габдрахманов Ф. Г. Авт. свид. СССР 197576, 1967. «Бюлл. изобр.», 1967, № 13, 5. Катаев Е. Г., Габдрахманов Ф. Г., Тутубалина В. П. «Ж. органич. хим.», 7, 1971, 122. 6. Пат. США 2753378, 1956; Ch. A., 1957, Р15573Н. 7. Пат. США 3084196, 1963. 8. Прилежаева Е. Н., Шостаковский М. Ф. «Усп. хим.», 32, 1963, 897. 9. Пат. США 3235603, 1966. 10. Карпенко Р. Г., Стоянович Ф. М., Гольдфраб Я. Л. «Ж. органич. хим.», 5, 1969, 2000. 11. Австралия пат. 256275, 1964. 12. Веглингтон Г. Ф., Smith N. P. Spectrochimica Acta, 28A, 1972, 1415.

ИХП АН Азерб. ССР,  
АГУ им. С. М. Кирова

Поступило 27. IV 1977

Э.М. Гулиев, М. Э. Шахгельдиев, И. Э. Элиев

УЧЛУ-АЛКИЛАРИСУЛФИДЛЭРИН АЛЫНАСЫНЫН ЖЕНИ ҮСУЛУ

Мэгелэдэ үчлү-алкиларисулфидлэрин алымасынын жени үсулу өјренимшишdir. Муэйжэн едилмишdir ки, тиофенолларын үчлү алкилналокенидлэрлэ гарышылыглы та'сирү реаксијасындан неч бир катализатор вә һөлледичинин иштиракы олмадан јүксәк чыхымла мұвағиғ тиофиirlэр алышы.

А. М. Kuliev, M. A. Shakhgeldiev, I. A. Aliev

THE NEW WAY OF GETTING TRET-ALKILARILSULFIDS

The interaction of aromatic tols with *tret*-alkilsulfids in tender conditions (CO—80, 6—12 hours) synthesizes 10 productive *tret*-alkilarilsulfids. Arranged (determined) that the reaction of *tret*-alkilgalogenids with, tiophenols proceed in absense any of katalizators or means of condense, bring to corresponding thoethers with high way out.

АЗЭРБАЙЧАН ССР ЕЛМЛЭР АКАДЕМИЈАСЫНЫН МӘРУЗӘЛӘРИ

ДОКЛАДЫ АКАДЕМИИ НАУК АЗЕРБАЙДЖАНСКОГО ССР

ТОМ XXXIII чилд

№ 9

1977

УДК 543. 42:547. 17

ОРГАНИЧЕСКАЯ ХИМИЯ

Член-корр. АН Азерб. ССР Ш. А. МАМЕДОВ, К. Г. ГАСАНОВ,  
В. С. АХМЕДОВ

СПЕКТРЫ ПРОТОННОГО МАГНИТНОГО РЕЗОНАНСА  
ПРОИЗВОДНЫХ 3-ХЛОР-1-( $\beta$ -ОКСИЭТОКСИ) ПРОПАНОЛА-2

Гликоловые эфиры и их производные представляют большой практический интерес, так как являются хорошими растворителями и пластификаторами, а некоторые обладают гербицидными, инсектицидными и фунгицидными свойствами [1, 2].

Методом ПМР-спектроскопии нами изучены химические сдвиги различных функциональных групп в производных 3-хлор-1-( $\beta$ -оксиэтокси) пропанола-2, которые приведены в таблице.

Условия синтеза и характеристика исследуемых соединений описаны в [3].

В спектре ПМР (рис. 1) соединения I протоны пропильного радикала— $\alpha'$ ,  $\beta$ ,  $\gamma'$ , проявляются триплетом метильной группы при  $\delta_{\alpha'}=0,9$  м. д., секетом метиленовой группы при  $\delta_{\beta}=1,6-1,8$  м. д. и, очевидно, триплетом метиленовой группы с  $\delta_{\gamma'}=3,7-4,0$  м. д. Последний сигнал ( $\gamma'$ ) перекрывается сильным синглетным сигна-

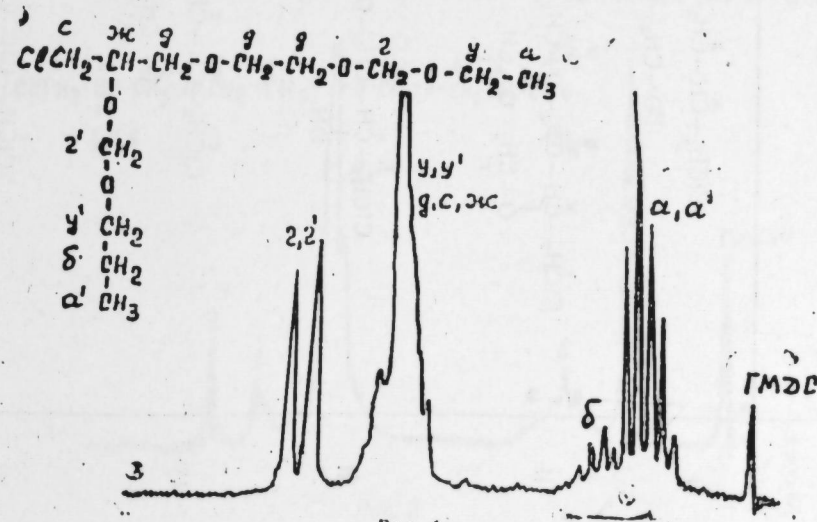


Рис. 1

Величины химических сдвигов различных функциональных групп  
в производных 3-хлор-1-( $\beta$ -окситокси) пропанола-2

№ соед.	Ф-ла соединения	Хим. сдвиги, $\delta$ , м. д.	
		а, а' = 0,9–1,2 $\delta$ = 1,6–1,8 у, $\delta$ , $e$ , $\chi$ = 3,7–4,0	а, а' = 0,9 $\delta$ , $\delta'$ = 1,8 с, $\chi$ , $\delta$ = 3,7–4,0 $z$ , $z'$ = 5,35–5,45
I	$\text{ClCH}_2-\overset{\text{ж}}{\underset{\text{y}}{\text{CH}}}=\overset{\text{x}}{\underset{\text{a}'}{\text{CH}}}-\overset{\text{a}}{\text{CH}_2}-\text{O}-\overset{\text{a}}{\text{CH}_2}-\overset{\text{a}}{\text{CH}_2}-\text{O}-\overset{\text{r}}{\text{CH}_2}-\text{O}-\overset{\text{v}}{\text{CH}_2}-\overset{\text{a}}{\text{CH}_2}-\text{O}-\overset{\text{r}}{\text{CH}_2}-\overset{\text{a}}{\text{CH}_3}$ $\text{O}-\overset{\text{r}}{\text{CH}_2}-\text{O}-\overset{\text{a}}{\text{CH}_2}-\overset{\text{a}}{\text{CH}_2}-\text{O}-\overset{\text{r}}{\text{CH}_2}-\overset{\text{a}}{\text{CH}_3}$	$a, a' = 0,9–1,2$ $\delta = 1,6–1,8$ у, $\delta$ , $e$ , $\chi$ = 3,7–4,0	$a, a' = 0,9$ $\delta, \delta' = 1,8$ с, $\chi$ , $\delta$ = 3,7–4,0 $z, z' = 5,35–5,45$
II	$\text{ClCH}_2-\overset{\text{c}}{\underset{\text{y}'}{\text{CH}}}=\overset{\text{x}}{\underset{\text{a}'}{\text{CH}}}-\overset{\text{a}}{\text{CH}_2}-\text{O}-\overset{\text{a}}{\text{CH}_2}-\overset{\text{a}}{\text{CH}_2}-\text{O}-\overset{\text{r}}{\text{CH}_2}-\overset{\text{a}}{\text{CH}_2}-\overset{\text{a}}{\text{CH}_2}-\overset{\text{a}}{\text{CH}_2}-\overset{\text{a}}{\text{CH}_3}$ $\text{O}-\overset{\text{r}}{\text{CH}_2}-\text{O}-\overset{\text{a}}{\text{CH}_2}-\overset{\text{a}}{\text{CH}_2}-\overset{\text{a}}{\text{CH}_2}-\overset{\text{a}}{\text{CH}_3}$	$a, a' = 0,9$ $\delta = 1,6–1,8$ у, $\delta$ , $e$ , $\chi$ = 3,7–4,0 $z, z' = 5,35–5,45$	$a = 1,0; \delta = 1,8$ $e = 2,1–2,2$ $\partial, \chi, c = 3,7–4,0$ $\theta = 5,05; z = 5,35$
III	$\text{ClCH}_2-\overset{\text{ж}}{\underset{\text{y}}{\text{CH}}}=\overset{\text{x}}{\underset{\text{a}'}{\text{CH}}}-\overset{\text{a}}{\text{CH}_2}-\text{O}-\overset{\text{a}}{\text{CH}_2}-\overset{\text{a}}{\text{CH}_2}-\text{O}-\overset{\text{r}}{\text{CH}_2}-\overset{\text{a}}{\text{CH}_2}-\overset{\text{r}}{\text{CH}_2}-\overset{\text{a}}{\text{CH}_2}-\overset{\text{a}}{\text{CH}_3}$ $\text{O}-\overset{\text{r}}{\text{CH}_2}-\text{O}-\overset{\text{a}}{\text{CH}_2}-\overset{\text{a}}{\text{CH}_2}-\overset{\text{a}}{\text{CH}_3}$	$a = 0,9; \delta = 1,9$ $\delta = 4,5$ у, $\chi$ , $c = 3,7–4,0$ $e = 7,8–8,0$	$a = 1,0; \delta = 1,8$ $e = 2,1–2,2$ $\partial, \chi, c = 3,7–4,0$ $\theta = 5,05; z = 5,35$
IV	$\text{ClCH}_2-\overset{\text{ж}}{\underset{\text{y}'}{\text{CH}}}=\overset{\text{x}}{\underset{\text{a}'}{\text{CH}}}-\overset{\text{a}}{\text{CH}_2}-\text{O}-\overset{\text{a}}{\text{CH}_2}-\overset{\text{b}}{\text{CH}_2}-\overset{\text{b}}{\text{CH}_2}-\text{O}-\overset{\text{r}}{\text{CH}_2}-\overset{\text{a}}{\text{CH}_3}$ $\text{O}-\overset{\text{r}}{\text{CH}_2}-\text{O}-\overset{\text{a}}{\text{CH}_2}-\overset{\text{a}}{\text{CH}_2}-\overset{\text{a}}{\text{CH}_3}$	$a = 0,9; \delta = 1,9$ $\delta = 5,0$ у, $\chi$ , $c = 3,7–4,0$ $e = 7,8–8,0$	$a = 0,9; \delta = 1,9$ $\delta = 5,0$ у, $\chi$ , $c = 3,7–4,0$ $e = 7,8–8,0$
V			

лом протонов— $\text{O}-\text{CH}_2-\text{CH}_2$ -фрагмента, появляющимся при  $\delta_a = 4,0$  м. д. В этой же области проявляются сигналы хлорметильной (*c*) группы и находящиеся рядом с ней метиленовый протон (*ж*).

В области сильного поля  $\delta_a = 0,9–1,0$  м. д. отмечается еще один триплет, соответствующий метильному (*a*) протону от этильного радикала, метиленовый (*у*) протон в области  $\delta_y = 3,7–4,0$  м. д. Протоны двух— $\text{O}-\text{CH}_2-\text{O}$ -групп проявляются двумя синглетными сигналами (*г*, *г'*) с  $\delta_r = 5,35$  и  $\delta_{r'} = 4,45$  м. д., причем появление группы (*г'*) в слабом поле указывает на то, что вблизи находится сильноакцепторный заместитель ( $-\text{CH}_2\text{Cl}$ ), который и смешает соответствующую группу в более слабое поле.

Аналогичным образом интерпретирован ПМР-спектр для соединения II (рис. 2). Как и следовало ожидать, для монозамещенного производного в области  $\delta = 5,45$  м. д. сигнал не наблюдается. Наличие в

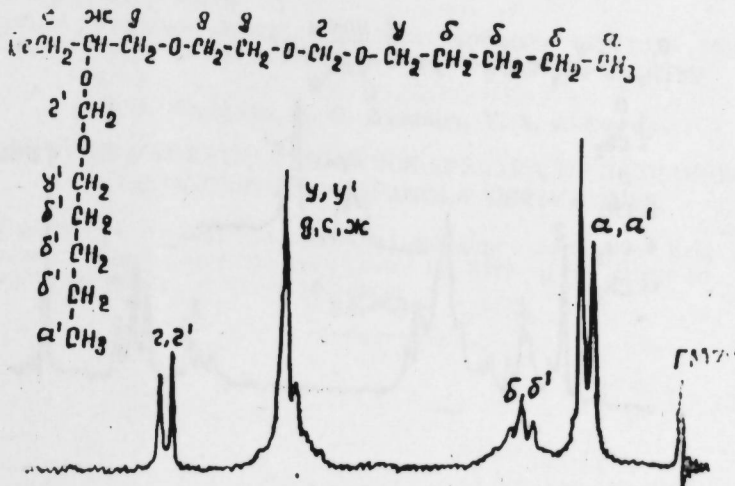


Рис. 2

области  $\delta_n = 5,0$  м. д. уширенного сигнала, соответствующего гидроксильному протону, также подтверждает предложенную структуру для соединений III (рис. 3). Кроме того, для соединения III в области

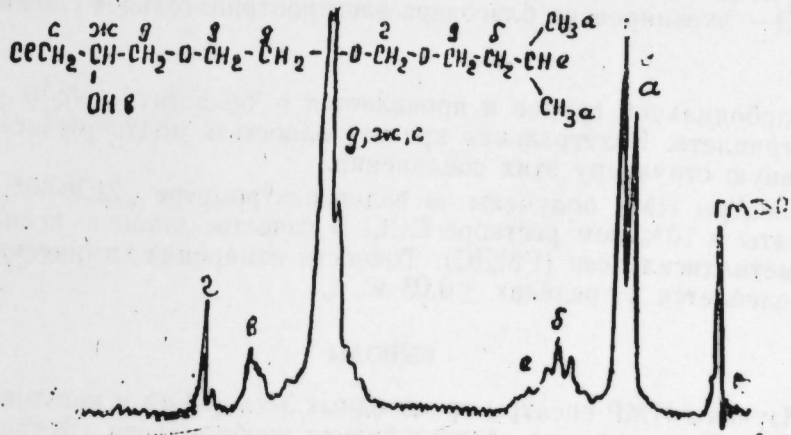
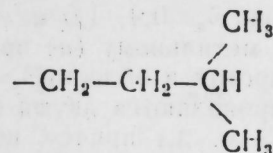


Рис. 3

$\delta_a = 0,9$  м. д. наблюдается четкий триплет, указывающий на наличие двух метильных групп в фрагменте



Из спектра ПМР для соединения IV (рис. 4) видно что сложноэфирная карбонильная группа оказывает сильное влияние на разэкраннрование протонов ароматического ядра и на метиленовый протон,

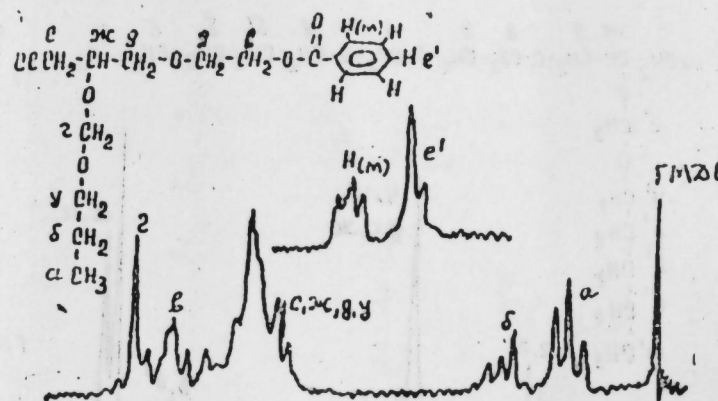


Рис. 4

находящийся вблизи этой группы. Так, например, если обычно протоны ароматического ядра резонируют в области примерно от 6,7 до 8,0 м. д. [4, 5], то для соединения IV и V в еще более слабом поле, причем соседствующие  $H_m$ -протоны проявляются в области  $\delta_{H_m} = 8,0 - 8,35$  м. д. Точно так же метиленовая группа в фрагменте  $-\text{CH}_2-\text{C}(=\text{O})-$  экранирована благодаря электроотрицательной сложноэфирной группе

карбонильной группе и проявляется в области  $\delta_v = 5,05$  м. д. в виде триплета. Интегральная кривая полностью подтверждает предложенную структуру этих соединений.

Спектры ПМР получены на радиоспектрометре „ZKR-60“. Образцы сняты в 10%-ном растворе  $\text{CCl}_4$ . В качестве эталона использован гексаметилдисилоксан (ГМДС). Точность измерений химических сдвигов колеблется в пределах  $\pm 0,03$  м. д.

#### ВЫВОДЫ

Изучены ПМР-спектры производных 3-хлор-1-( $\beta$ -оксиэтилокси)пропанола-2. Показано, что сложноэфирная карбонильная группа оказывает сильное влияние на разэкраннрование различных функциональных групп в указанных образцах.

#### Литература

1. Мамедов Шамхал. Простые эфиры гликолей. Изд-во АН Азерб. ССР, 1961.
2. Яновская Л. А., Юфит С. С., Кучеров В. Ф. Химия ацеталей. М. "Наука", 1975.
3. Мамедов Шамхал, Ахмедов В. С. "Азерб. хим. ж.", 1976, № 2.
4. Мехтиев Д. С., Гасанов К. Г., Калинина В. Н., Джабраилов М. Г. ДАН Азерб. ССР, Т XXXII, 1976, № 10.
5. Bothnug-Bu A. A., Pople J. A. Amer. Rev. Phys. Chem., 16, 1965, 43.

ИИХП им. Ю. Г. Мамедалиева

Поступило 18. IV 1977

#### Ш. А. Маммәдов, К. Г. Гасанов, В. С. Эймәдов 3-ХЛОР-1-( $\beta$ -ОКСИЕТОКСИ) ПРОПАНОЛ-2-НИН ТӨРӘМӘЛӘРИНИН НМР СПЕКТРЛӘРИ

Мәгәләдә 3-хлор-1-( $\beta$ -оксиетокси) пропанол-2-ниң төрәмәләринин НМР үсүлү иләгурулушу тәдгиг олунмушдур.

Мүрәккәб ефиirlәрни молекулларындакы карбоксил группунун әвәзедичиләрни протоилярнын екраплашмасына тәсирі мүәжжән едилмишидир.

Sh. A. Mamedov, K. G. Gasanov, V. S. Akhmedov

#### PROTON MAGNETIC RESONANCE SPECTRA OF 3-CHLORO-1-( $\beta$ -OXYETHOXY) PROPANOL-2 DERIVATIVES.

PMR-spectra of 3-chloro-1-( $\beta$ -oxyethoxy) propanol-2 derivatives have been studied. The ester carbonyl group has been shown to have great effect on shielding of various functional groups in above specimen.

Член-корр. АН Азерб. ССР М. А. АЛИ-ЗАДЕ, Ш. И. ГАДЖИЕВА

## СТИМУЛЯЦИЯ ГУМИНОВОЙ КИСЛОТОЙ ПРОЦЕССОВ РОСТА И НУКЛЕИНОВОГО ОБМЕНА У РАСТЕНИЙ

В институте почвоведения и агрохимии АН Азербайджанской ССР из гумуса выделена гуминовая кислота, действующая как физиологически активное вещество [1]. При этом установлено стимулирующее действие вещества на растительные организмы.

Нами изучалось влияние гуминовой кислоты и гиббереллина на процессы роста и сырой вес проростков пшеницы Шарк гапысы (табл. 1) и содержание в них нуклеиновых кислот (табл. 2). Опыты проводились

Таблица 1

Проростки	Контроль		Гиббереллин		Гуминовая к-та		Гиббереллин+гуминовая к-та	
	Рост, мм	Вес, мг	Рост, мм	Вес, мг	Рост, мм	Вес, мг	Рост, мм	Вес, мг
Корешки	117	287	105	269	125	330	85	287
Разница с контролем			-12	-18	8	43	-32	-
Надземная часть	66	171	78	191	77	211	63	195
Разница с контролем			12	20	11	40	-3	24

Таблица 2

Варианты	Корешки		Надземная часть		РНК мг%	% мг%	ДНК мг%	%	РНК мг%	%	ДНК мг%	%
	РНК мг%	% мг%	ДНК мг%	% мг%								
Контроль	129±9,0	100	1,2±0,01	100	106±2,5	100	3,4±0,3	100				
Гуминовая к-та	235±6,2	182	-		274±0,0	258	4,4±0,7	129				
Гиббереллин	139±5,0	107	1,5±0,4	125	296±1,6	279	5,4±0,7	159				
Гуминовая к-та+гиббереллин	180±4,8	139	1,5±0,9	125	438±5,8	413	6,2±0,3	182				

в лабораторных условиях по следующей схеме: 1 — контроль (вода); 2 — гиббереллин — 50 мг/л; 3 — гуминовая кислота — 20 мг/л; 4 — гиббереллин — 50 мг/л+гуминовая кислота — 20 мг/л.

Семена пшеницы проращивали в питательной смеси Кюнпа с 18 по 25 февраля 1976 г. Длину корешков и осевых органов измеряли ежедневно. В конце опыта были взяты пробы корешков и надземных частей для определения нуклеиновых кислот по методу Неймана и Поулсена [2].

Из приведенных в табл. 1 данных видно, что под влиянием гиббереллина рост и сырой вес корней заметно снижаются, а под действием гуминовой кислоты, наоборот, увеличиваются. Совместное применение гиббереллина и гуминовой кислоты, резко снижая ростовой показатель, в то же время не влияет на выход сырой массы корней. Полученные данные указывают на специфичность действия гуминовой кислоты при ее совместном применении с гиббереллином. Небольшой эффект этого препарата, способствующий росту корешков пшеницы и наблюдаемый при раздельной обработке, при совместном действии с гиббереллином снимается. В этом случае наблюдается сильное ингибирование роста. По действию на рост надземных органов пшеницы гуминовая кислота не уступает гиббереллину. Что же касается накопления массы надземных органов, то в этом случае она заметно превосходит гиббереллин.

Заслуживающие внимания данные получены при изучении действия гуминовой кислоты и гиббереллина на содержание нуклеиновых кислот в проростках пшеницы. Под влиянием гиббереллина содержание РНК в корнях увеличивается несущественно, всего на 7%, а при обработке проростков растворами гиббереллина и гуминовой кислоты наблюдается эффект, занимающий промежуточное положение между теми, что получены при раздельном применении препаратов. Таким образом, гиббереллин несколько снижает реакцию растений, наблюдавшуюся в случае применения одной гуминовой кислоты.

Значительное увеличение содержания ДНК под влиянием РНК испытанных веществ наблюдается в надземных частях проростков. Наибольшее действие оказала совместная обработка проростков гуминовой кислотой и гиббереллином. Если при раздельной обработке препаратами содержание РНК увеличилось соответственно на 158 и 179%, то совместное их применение привело к трехкратному его увеличению. Как гиббереллин, так и гуминовая кислота способствовали увеличению относительного содержания ДНК в надземных частях проростка. Под действием гуминовой кислоты оно увеличилось на 29%, а после применения гиббереллина — уже на 59. При совместной обработке препаратами получен максимальный эффект — содержание ДНК в надземных органах увеличилось на 82%.

Таким образом, результаты испытаний показали, что гуминовая кислота стимулирует как ростовые процессы у молодых проростков пшеницы, так и обмен в них нуклеиновых кислот.

## Литература

- Академия наук Азербайджанской ССР—30 лет. Баку, Изд-во "Элм", стр 102—163.
- Niemann R. H., Roulsen L. L. Spectrophotometric estimation nucleic Acid of plant Leaves Plant Physiology, 1963, N 1.

Институт генетики  
и селекции АН Азерб., ССР

Поступило 31, I 1977

**ҮЙТКИЛӘРДӘ БӨЛҮМӘ ПРОСЕСИ ВӘ НУКЛЕИН МУБАДИЛӘСИНИН ҚУМИН  
ТУРШУЛАРЫНЫН ТӘСИРИЛӘ СТИМУЛӘ ЕДИЛМӘСИ.**

Апaryлан тәдгигатларда қумин туршуларынын поход чүчәртиләриңе (*Cicer arietinum L.*) тә'сирі өјрәнилмишdir. Алымныш, патичәләр көстәрмишdir ки, чүчәртиләри һәмин туршуларын сулу мәнлүлү илә ишләдикда (20 мг/л) бөлүмә просеселәри сүр'этләнир вә нуклеин туршуларынын мигдары артыр.

M. A. Ali-zade., Sh. I. Cadgieve

**STIMULATION OF THE PROCESS OF GROWTH AND NUCLEIC EXCHANGE AT PLANTS BY HUMINNS ACID**

The influence of huminns acid on the germs of *cicer arietinum L.* was examined. It is determined, that at the treatment of the germs by aqueous solution of this substance at 20 mg/l concentration the generic processes are hastened and the content of nucleic acids is increased.

УДК 581.8

**АНАТОМИЯ РАСТЕНИЙ**

3. А. НОВРУЗОВА, В. С. АББАСОВА, А. М. АСКЕРОВ

**СТРУКТУРНАЯ СПЕЦИАЛИЗАЦИЯ СКАЛЬНЫХ ПАПОРОТНИКОВ**

(Представлено академиком АН Азербайджанской ССР М. Г. Абуталибовым)

Растительность скалистых местностей отличается богатством видов. Растительные группировки, поселившиеся в трещинах, отделены друг от друга, что замедляет формирование ценозов. Большинство скальных растений относится к ксерофитам. В основном это—травянистые многолетники, несколько меньше — полукустарники, еще меньше кустарники и совсем незначительное количество — деревья (*Funigerus*, *Amygdalus*, *Cotoneaster*, *Rhamnus*, *Ephedra*). Из травянистых растений широко распространены папоротники.

Структурные особенности папоротников в связи с условиями их обитания представляют значительный интерес, так как, обладая прimitивными структурными признаками, эти растения в процессе эволюции, приспособливаясь к особым условиям среды, приобрели и особую структурную специализацию. Немалую роль играют проводящая система и ассимиляционная ткань. Скальные папоротники — небольшие растения (3—15 см высотой). Большинство из них обладает сложными листьями с относительно большой листовой пластинкой, преимущественно короткими черешками, коротким, но толстым корневищем. Листовая пластинка часто состоит из перьев и перышек, первичного и вторичного рахиса, реже — из перьев и рахиса. Распространены папоротники в тропических и умеренных зонах (леса, кустарниковые заросли, трещины скал, реже — стволы деревьев).

Нами впервые исследованы представители родов *Chellianthes*, *Asplenium*, *Ceterach*, *Cystopteris*, *Woodsia*, *Polystichum*, *Polypodium* из естественных условий Азербайджана.

В таблице приводятся основные анатомические показатели наиболее широко распространенных видов этих родов. Большинство видов характеризуется гомогенным типом мезофилла, перьев и перышек, реже дорсовентральным с 1—3 слоями клеток полисадной ткани. Проводящая система перьев представлена пучками, расположеными в мезофилле; редко в этих местах отмечается небольшая выпуклость нижнего эпидермиса. Все пучки, как главный так и второй степени, — жилки округлого очертания, окруженные эндодермой и окружающими флоэмой, в центре которой расположена округлая ксилема, состоящая из трахеид с кольцевым, спиральным и лестничным утолщением. Стела пучка типа протостелы (Тахтаджян, 1956).

На поперечном срезе перышек—эпидермальные клетки округлой, овальной формы с относительно широкими полостями и слабо-, редко сильноутолщенными стенками. Устьица располагаются преимущественно на нижнем эпидермисе (гипостоматический тип перышек).

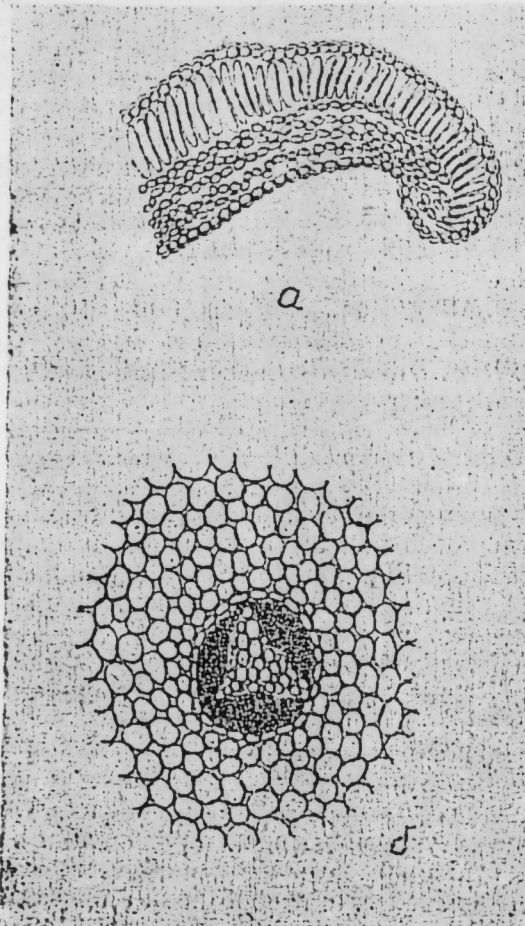
На парадермальном срезе—эпидермальные клетки с извилистыми и волнистыми сторонами. Устьица анизоцитного, тетрацитного и аномоцитного типов окружены эпидермальными клетками различного количества.

Форма черешка на поперечном срезе, покрытом колленхиматической обкладкой различной толщины (2–7 слоев клеток с несколько утолщенными оболочками), самая разнообразная—округлая, полуокруглая, трехугольная, угловатая и т. п. Сердцевидная ткань состоит из широкополосных тонкостенных плотно расположенных клеток, куда включена проводящая система черешка из одного, двух и трех пучков. Типы мезофилла перышек и стел проводящих пучков тех или иных видов различны (таблица). Представители *Cheilanthes* характеризуются дорсовентральным типом мезофилла, актиностелическим типом стелы проводящего пучка, рахиса и черешка, *Asplenium*—гомогенным типом мезофилла, стела пучка черешка—типа актиностеллы: *Woodsia*—гомогенным типом мезофилла, тип стелы пучка у черешка—плектостела. *Ceterach* и *Systopteris* отличаются стелой переходного типа от плектостелы к диктиостеле, первый дорсовентральным мезофиллом, второй—гомогенным, *Polystichum*—гомогенным типом мезофилла, стела проводящей системы черешка—полистелического типа.

*Cheilanthes persicæ*. Поперечный срез: а—перышко; б—черешок—увел. 9×10

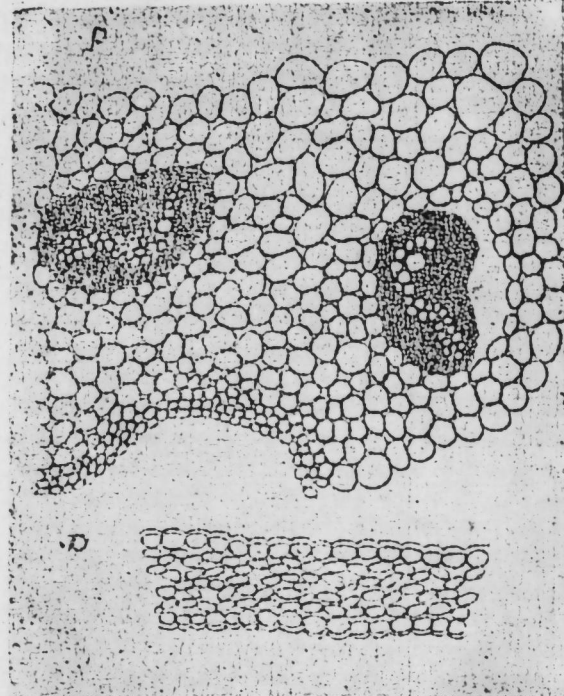
совентральным типом мезофилла, актиностелическим типом стелы проводящего пучка, рахиса и черешка, *Asplenium*—гомогенным типом мезофилла, стела пучка черешка—типа актиностеллы: *Woodsia*—гомогенным типом мезофилла, тип стелы пучка у черешка—плектостела. *Ceterach* и *Systopteris* отличаются стелой переходного типа от плектостелы к диктиостеле, первый дорсовентральным мезофиллом, второй—гомогенным, *Polystichum*—гомогенным типом мезофилла, стела проводящей системы черешка—полистелического типа.

Согласно литературным данным (Тахтаджян, 1956) в процессе эволюции внешняя форма и внутреннее строение папоротников изменились в связи с приспособлением к определенным условиям. Протостела—наиболее примитивный тип стелы; актиностела считается подвинутой по сравнению с протостелой, плектостела—по сравнению с актиностелой. Особым типом стелы является полициклическая сифоностела, которая отличается сложным типом стелярной организации. У папоротников наиболее примитивный тип стелы у перьев и перышек. Проводящая система черешков у различных видов подвинута в раз-



Основные анатомические показатели скальных папоротников

Виды	Мезофилл	Черешок			Тип стелы черешка	
		Кол-во слоев палисан- ных кле- ток	Тип стелы пучков, пе- рышко	Форма		
<i>Cheilanthes persica</i>	Дорсовентральный	1	Протостела	Округлая	2–4	1
<i>Asplenium septentrionale</i>	2–3	"	Трехугольная	2–3	1	
<i>A. trichomanes</i>	—	"	Округлая	2–3	1	
<i>A. adiantum-nigrum</i>	—	"	Полукруглая	4–6	1	
<i>A. muraria</i>	3	"	Сердцевидная	3	1	
<i>Woodsia fragilis</i>	—	"	Полукруглая	3–4	1	
<i>Polyodium vulgare</i>	—	"	Округлая	2–5	1	
<i>Ceterach officinale</i>	2–3	"	—	3	2	
<i>Cystopteris fragilis</i>	—	"	Желобочная	2–3	2	
<i>Polystichum lonchitis</i>	—	"	Трехугольная	5–7	3	



*Cystopteris fragilis* Berg. Поперечный  
срез: а—перышко—увел. 9×10; б—черешок—увел. 4×9

ной степени—у *Cheilanthes*, *Asplenium*, *Polypodium* тип стел пучков—актиостела; у некоторых представителей *Asplenium*—переходный тип от актиостелы к плектостеле; у *Woodsia*—плектостела, у *Ceterach* и *Cystopteris*—переходный тип от плектостелы к диктиостеле; у *Polystichum*—диктиостела, относящаяся к наиболее эволюционно подвинутым типам стелярной организации.

Итак, все виды скальных папоротников характеризуются специализированными структурными признаками. Однако специализация выработана вне зависимости от систематической принадлежности. Кроме того, отсутствует закономерная связь между специализацией ассимиляционной ткани листа и проводящей системой его черешка, что обусловливается особыми условиями среды обитания скальных папоротников.

#### Литература

Тахтаджян А. Л. Высшие растения, т. I. М.—Л., Изд-во АН СССР 1958.

Институт ботаники  
АН Азерб. ССР

Поступило 20, XII, 1976

З. Э. Новрузова, В. С. Аббасова, А. М. Эскеров

#### ГАЈА ГЫЖЫЛАРЫНЫН ГУРУЛУШЧА ИХТИСАСЛАШМАЛАРЫ

Мәгәләдә гаја гыжыларынын гурулушча ихтиисаслашмаја уграмасы өүрәнилмисидир. Гајалыгларда яйылмыш бир сырға гыжы чинсларинин (*Cheilanthes*, *Asplenium*, *Ceterach*, *Cystopteris*, *Woodsia*, *Polystichum*, *Polypodium*) анатомик тәдгигат иетичәләри көстәрмишсиде ки, онларын гурулуш элементләре вә кечиричи системләре ихтиисас-

лашмаја уграмыш, лакин иевләрдә ихтиисаслашма онларын систематик группларынын хусусијәтләре илэ јох, айры-айры иевләрни иикишаф тарихи илэ элагәләрләр.

Z. A. Novrusova, V. S. Abbasova, A. M. Askerov

#### THE STRUCTURAL SPECIALIZATION OF ROCKY FERNS

The anatomy of rocky ferns (*Cheilanthes*, *Asplenium*, *Ceterach*, *Cystopteris*, *Woodsia*) has been studied. The structural specialisation of rocky has been noted.

УДК 593. 17 (262. 81)

ЗООЛОГИЯ

Ф. Г. АГАМАЛИЕВ

**ЭКОЛОГИЯ ПЛАНКТОННЫХ ИНФУЗОРИЙ КАСПИЙСКОГО МОРЯ**

(Представлено академиком АН Азербайджанской ССР М. А. Мусаевым)

Инфузории, широко распространенные в водоемах земного шара, играют важную роль в трофических взаимоотношениях гидробионтов и составляют значительную долю общей продуктивности морей. Они населяют все районы Мирового океана (от Антарктиды до тропиков) и встречаются на всех глубинах—от литорали до абиссали. Планктонные инфузории могут играть существенную роль в биологической очистке воды и быть показателем сапробности водоема.

Начиная с 1962 г. нами проводятся подробные исследования всех основных экологических групп свободноживущих инфузорий Каспийского моря (1-3,6). Всего в планктоне этого водоема обнаружено 125 видов инфузорий, относящихся к 6 отрядам, 27 семействам и 65 родам. 81,4 % видов, исключая тинтинниды, отмечены также в микробентосе и перифитоне. Что касается тинтиннид, имеющих домики различной формы и структуры, то они являются истинно планктонными организмами морского происхождения и встречаются во всех частях Мирового океана (от холодных арктических или антарктических областей до тропических морей). Несмотря на низкую соленость воды, в Каспийском море обнаружено 22 их формы.

Как и другие экологические группы (микробентос и перифитон), планктонные инфузории по отдельным географическим районам Каспия распределены неравномерно. Самыми богатыми по числу видов являются Средний и Южный Каспий (112 и 108, или 80-83 % от общего количества). В Северном Каспии обнаружено 73 вида инфузорий. В отличие от других районов, пресноводные формы образуют здесь массовые популяции. Из тинтиннид чаще всего (особенно весной) встречаются *Tintinnopsis daltica*, *T. tubulosa*, *Codonella relicta* и др.

Больше всего инфузорий оказалось в защищенных от прибоя районах. Открытые (прибрежные) участки моря (Худат, Куули-Маяк, Астара, Ленкорань, Гасан-Кули) в этом отношении довольно бедны. В прибрежной полосе, особенно при штормовой погоде, в планктоне обнаруживаются лишь мелкие неспецифичные виды, имеющие скелетных или фибрillлярных образований.

Изучение горизонтального распределения инфузорий показало, что наивысшего развития они достигают на мелководье (глубина 0,5-25 м) и представлены в основном эвритопными формами. В прибрежном планктоне велика доля неспецифичных инфузорий, а вдали от берегов встречаются почти пелагические формы, главным образом тинтинниды.

На качественный и количественный состав фауны инфузорий существенное влияние оказывают годовые колебания температуры в Каспийском море. Наблюдаются два максимума численности (весенний и осенний) планктонных инфузорий. Большая часть планктонных инфузорий выдерживает сильные изменения температуры в течение года и относится к эвритеческим простейшим, хотя и низкие (ниже 30°), и довольно высокие температуры (выше 30°) приводят к снижению их численности.

Температура играет немаловажную роль и в вертикальном распределении инфузорий. Весной большинство видов поднимается в самый верхний слой воды (0-5 м). С повышением температуры воды характер вертикального распределения планктонных инфузорий приобретает типично летний облик: больше всего их оказывается в слое 5-10 м.

Осенью, в связи с охлаждением поверхностных слоев моря, основная масса инфузорий обнаруживается между слоями 5-10 или 10-25 м. Зимой они сосредоточиваются между слоями 25-50 или 50-70 м. В самых нижних слоях встречается обычно небольшое количество стено-термных холодалюбивых форм.

Сравнение наших данных с данными по Тихому океану, Средиземному морю, Атлантическому океану, приведенными в [4, 7, 8], показывает, что вертикальное распределение планктонных инфузорий в Каспийском море аналогично таковому в перечисленных географических районах. Так, больше всего инфузорий-типичных их форм (виды родов *Tintinnopsis*, *Codonella*) обнаруживается в поверхностных слоях и на прибрежных участках воды. В зависимости от сезонов года зона максимального скопления инфузорий варьирует в пределах 0,5-50 м.

Как известно, соленость воды в Каспии колеблется в пределах 7-15 %. В этом диапазоне изменения солености существенных различий в составе фауны инфузорий в различных частях моря нами не обнаружено. Лишь в предустьевых районах Волги, Урала и Куры обнаруживается ряд пресноводных форм, которые в других районах Каспия отсутствуют. Фауна планктонных инфузорий состоит в основном из эвригалинных форм морского происхождения.

Изучение отношения планктонных инфузорий к кислороду, растворенному в свободной воде, показало, что 70-80 % обнаруженных видов являются эвриоксионтами, встречающимися при содержании его в количестве 2-9 см<sup>3</sup>/л. Наряду с этим, среди стенооксионтов выделяются такие (*Holophrya pelagica*, *Enchelys marina*, *Chilodontopsis odlonga*, *Strombidium sauerdreyae*, *Strombidium pelagicum*, *Tintinnopsis beroldei* и др.), которые встречаются только при высоких (полиоксионты) или только при низких (менее 2 см<sup>3</sup>/л) содержаниях кислорода (олигооксионты) *Lacystaria salinarum*, *Plagiopyla nasuta*, *Paramecium calkinsi*, *Paramecium woodruffi*, *Uronema marinum*, *Metopus contortus*, *Condylostomia arenarium* f. *proturostyla*, *Tintinnopsis tudulosa*, *Uronychia heinrothi* и др.

Довольно интересные данные получены при изучении суточных вертикальных миграций планктонных инфузорий. Во все сезоны года в темное время суток (24 и 4 ч) основное скопление инфузорий наблюдается в поверхностных слоях воды (0-5 и 5-10 м), а в светлое—в более глубоких (5-10, 10-25, 25-50 м). В холодное время года (осень и зима) общая численность инфузорий во всех слоях уменьшается, зона их вертикального распределения становится более расщепленной, а их суточные миграции—менее выраженными.

Сопоставление, фауны планктонных инфузорий отдельных географических

фических районов Каспийского моря (Северный, Средний и Южный) выявляет значительно высокую общность данной экологической группы (таблица).

**Общность видового состава планктонных инфузорий  
отдельных районов Каспия\***

Географические районы	Число найденных видов	Северный Каспий	Средний Каспий	Южный Каспий
Северный Каспий	73	X	X	X
Средний	112	— 60 64,8	X	X
Южный	108	— 53 58,5	— 90 81,8	X

\* Числитель—число общих видов, знаменатель—коэффициент общности, %.

Как видно из приведенных данных, самая высокая общность видового состава у Среднего и Южного Каспия (81,8%). Число общих видов инфузорий для всех отдельно взятых побережий Северного, Среднего и Южного Каспия составляет 21, а для указанных трех географических районов—43, что свидетельствует о широкой эвритопности их фауны.

**Литература**

1. Агамалиев Ф. Г. *Acta Protozool.*, 8, 1971, 379—406.
2. Агамалиев Ф. Г. *Acta Protozool.*, 13, 1974, 52—82.
3. Агамалиев Ф. Г. «Океанология», 15, 1975, № 2, 302—306.
4. Запка В. Е. «Океанология», 12, 1972, № 3, 485—491.
5. К ревизии систематического состава черноморских *Tintinninea*. Мат-лы I съезда ВОПР. Баку, 1971, 59—60.
6. Agamaliev F. G. Cah. Biol. Mar., 8, 1967, 359—402.
7. Beergs G. R., Stewart C. L. G. Conseil perman. intern. mer., 1969, 33.
8. Margalef R. Nouvelles observations sur la distribution des Ciliés oligotriches dans le plancton de la Méditerranée occidentale. Rapp Réunion Comm Explor. Mers, 19, 1968, № 3, 147—172.

Институт зоологии  
АН Азерб. ССР

Поступило 24. I 1977

Ф. Г. Агамалиев

**ХЭЭР ДЭНИЗИНН ПЛАНКТОН ИНФУЗОРЛАРЫНЫН ЕКОЛОКИЯСЫ**

Тэдгигат нэтичсийн Хээр дэнизиндэ 135 нөв планктон инфузорлары гэдэг единшидир. Мүүжэн олуумшулур ки, инфузорлары нөв тэркиби вэ сај динамикасы ажрыгы чограммы раюонлар үзэ мүхтэлифдир.

Мэгэлэдэ мухталиф еколохи амиллэрин (температуру, дузлуулуг, дэриниллик, суужи јымасы этрафлы ёрёнилмий, инфузорлары нөв тэркиби эсасында мүхтэлиф чограммы раюонлар үзэ үмүмийлж эмсалы да несабланышдыр.

F. G. Agamaliev

**ECOLOGY OF THE PLANKTONIC CILIATES OF THE CASPIAN SEA**

The plankton of the Caspian sea proved to contain 135 species of ciliates, including 22 tintinnids. The Middle and South Caspian appeared to be the richest regions according to the number of species (112 and 108, respectively). The North Caspian plankton contained 73 ciliate species only. Dependence of the horizontal and vertical distribution of ciliates on various ecological factors, especially temperature, depth, salinity, wave activity, gas regime, water pollution is considered, as well as their diurnal vertical migrations. Planktonic ciliate faunas of various geographical regions of the Caspian sea are compared with each other.

АЗЭРБАЙДЖАН ССР ЕЛМЛЭР АКАДЕМИЯСЫНЫН МЭРҮЗЭЛЭРИ

**ДОКЛАДЫ АКАДЕМИИ НАУК АЗЕРБАЙДЖАНСКОЙ ССР**

ТОМ XXXIII чилд

№ 9

1977

УДК 631.43

**ПОЧВОВЕДЕНИЕ**

Р. Г. МАМЕДОВ, Ю. Д. ГАСАНОВ

**ВЛИЯНИЕ ЛЕСНЫХ НАСАЖДЕНИЙ НА АГРОФИЗИЧЕСКИЕ СВОЙСТВА СЕРОЗЕМНО-ЛУГОВЫХ ПОЧВ ШИРВАНСКОЙ СТЕПИ**

(Представлено академиком АН Азербайджанской ССР В. Р. Волобуевым)

Разведение лесных культур в засушливых полупустынных зонах республики является важным мероприятием, направленным на повышение плодородия почв и урожайности сельскохозяйственных культур, средством борьбы с засухой, эрозией почв путем регулирования влагооборота, микроклимата, а также источником получения древесины в безлесных районах.

Лесные полосы оказывают влияние и на почвообразовательный процесс. Изучение влияния лесных полос на изменение морфологических признаков, физических и химических свойств почв проводилось на лесном массиве полупустынной зоны, которая находится в трех километрах к югу от г. Геокчая. Почвы массива, относящиеся к сероземно-луговому типу, наиболее широко распространены на Кура-Араксинской низменности. Для опытов взяты три площадки: под лесными насаждениями и под различными угодьями (люцерна, целина). Основные породы лесных массивов — это дуб, карагач, абрикос и др. Определились объемный вес по генетическим горизонтам в 4—5-кратной повторности буриком Качинского, водопроницаемость почв с поверхности методом малых заливаемых площадей с применением концентрических цилиндров, предельная полевая влагоемкость почвы насыщением водой из расчета 500—800 л/м<sup>2</sup>, максимальная молекулярная влагоемкость методом А. Ф. Лебедева, гигроскопическая влага — термическим, максимальная гигроскопическая влага — по методу А. В. Николаева. Пробы брались через каждые трое суток.

Ширванская зона по своему климату относится к умеренно теплой полупустыне с сухим продолжительным жарким летом и короткой сравнительно мягкой зимой. В западной ее части среднегодовая температура составляет 14—15°, количество годовых осадков — 200—400 мм. Типичная растительная формация степи — это полынико-эфемеровая, луговая солончаковая и болотная растительность. Почвообразующие породы представлены делювиальными, делювиально-аллювиальными отложениями. Первые почвенные исследования здесь были начаты С. А. Захаровым [4] и С. И. Тюремновым [8]. В дальнейшем их продолжили Г. А. Алиев [1], В. А. Ковда [5], В. Р. Волобуев [3], Ш. Г. Таиров

[7] и др. Физические свойства почв изучены Р. Г. Мамедовым [6], биохимические — С. А. Алиевым [2].

Наиболее распространенными в Ширванской степи являются сероземно-луговые почвы. Луговой тип почвообразования связан со способом режима увлажнения, с близким залеганием уровня грунтовых вод и поверхностным увлажнением при орошении. Наряду с этим, почвы отличаются некоторыми зональными особенностями: для них характерна быстрая минерализация органических веществ, высокая карбонатность и присутствие легкорастворимых солей натрия. Запас гумуса в метровом слое почв под лесными насаждениями на 120 т/га больше, чем на целине. В окультуренных почвах (под люцерной и на целине) в верхнем (40—50 см) слое его меньше, чем под лесной полосой. Содержание карбонатов в большинстве случаев с глубиной увеличивается и колеблется в пределах 11—16%. Почвенный поглощающий комплекс представлен в основном кальцием, который составляет 45—47% от суммы поглощенных оснований. Последние в сероземно-луговых почвах распределены следующим образом: под лесными полосами: Ca — 31,4—45,3, Mg — 44,8—47,2, Na — 7,5—23,8%; на целине: Ca — 27,0—44,6; Mg — 44,7—53,6, Na — 9,7—16,9%.

Для сероземно-луговых почв характерна физическая глина; под лесными насаждениями (пахотный горизонт) — 73,6%, в нижнем метровом слое — 46,3, на целине и под люцерной — 64,9 — 71,4%. На долю гла в пахотном горизонте приходится 24,9—26,0%.

На всех исследуемых участках микроагрегаты диаметром менее 0,01 мм наиболее устойчивы против размывающего действия воды (табл. I). Основными компонентами структурного состава (при сухом просеивании) под лесными насаждениями являются фракции с размером частиц 1—10 мкм (31,4—42,4%). По профилю сумма водопрочных микроагрегатов размером более 0,25 мм под лесными насаждениями составляет 51,4—62,7%, а на целине — 49,1—50,7.

Наименьший удельный вес сероземно-луговых почв под различными сельскохозяйственными культурами Ширванской степи заметно возрастает до 2,74 г/см<sup>3</sup>, а на целине — до 2,65% г/см<sup>3</sup>. В нижних горизонтах удельный вес почв под различными угодьями выравнивается и составляет 2,72—2,74 г/см<sup>3</sup> (табл. 2). Значительные колебания объемных весов в верхних горизонтах почв связаны с различием угодий, а также с содержанием гумуса, уплотненностью и структурностью почв. Объемный вес в гумусовом горизонте (0—30 см) под лесом — 1,14 г/см<sup>3</sup>, на целинном участке и под люцерной — 1,11—1,22.

Порозность в глубоких горизонтах почвы более или менее постоянна, а в поверхностном горизонте изменяется в довольно широких пределах (50—58%) в зависимости от типа растительности, степени увлажнения, окультуренности и т. д. Общая порозность под различными угодьями разная: в верхнем 0—30 см слое целины и под лесом — 56,2—58,7%, под люцерной — 50,6—54,7. При полевой влагоемкости наименьшая порозность аэрации наблюдается в летний период под лесом — верхний 0—30-см слой (25,3%), на целине и под люцерной (26,8—29,0%).

Величина отдельных категорий почвенной влаги по профилю сероземно-луговых почв Ширванской степи колеблется в следующих пределах: гигроскопическая влага под лесом и под люцерной — 1,2—2,4%; на целине — 1,4—3,8; максимальная гигроскопическая влага во всех объектах — 2,7—5,5%.

Максимальная молекулярная влагоемкость под различными угодьями — 14,7 — 20,6%, причем на целине больше, чем на других объектах.

Таблица 1

Физико-химические показатели сероземно-луговых почв

Горизонт	Гумус		% от суммы			Плотный остаток, %	Механический состав, %	Микроагрегатный состав, %	Коэффициент дисперсности, %
	Глубина, см	%	Ca	Mg	Na				
<b>Лесная полоса</b>									
A	0,30	2,71	9,23	45,30	47,17	7,53	0,092	27,0	54,24
BC	30—55	2,39	79,0	32,61	5,59	15,81	0,185	15,0	53,12
C <sub>1</sub>	58—80 8—12)	1,01 1,11	28,6 (2,2)	32,5	44,18	23,92	0,1,0	10,84	47,04
				31,3	44,76	23,31	0,697	14,72	46,32
<b>Люцерна</b>									
A	0—28	2,55	7,1	14,41	26,7	5,55	9,74	0,1,2	63,75
BC	28—58	2,56	86,4	18,13	46,5	39,75	13,66	0,996	45,12
C	58—90 90—11	0,85 0,53	36,2 14,1	16,82	1,3	44,6	16,78	0,090	42,44
				20,6	15,93	39,16	44,6	0,100	70,43
				38,84				19,36	
<b>Целина</b>									
A	0—10	2,59	31,0	15,07	77,1	57,41	1,56	0,2,4	24,96
BC	10—35	2,59	71,9	15,07	16,2	38,69	11,36	0,1,3	8,18
C	35—75 75—115	0,63 0,53	30,7 27,6	15,73	17,4	33,33	44,83	0,120	45,14
				44,0	14,20	36,31	19,09	0,121	11,32
								27,88	16,12
									55,84
									55,84
									57,78

Таблица 2

## Водно-физические показатели сероземно-луговых почв

Горизонт	Глубина см	Уд. вес г/см³	Об. вес	% от веса почвы			Найменьшая влагоемкость	Полная влагоемкость	Часы на блюдения	Водопроницаемость
				Содержание водопрочного агрегатов, %, >0,25 мм	Гигроскопичность	Максимальная гигроскопичность.				
<b>Лесная полоса</b>										
A	0—30	2,60	1,14	56,2	62,7	1,56	3,25	20,6	25,3	1,1
B	30—58	2,67	1,18	55,8	51,4	1,35	3,06	20,0	22,1	0,1
BC	58—80	2,69	1,30	51,7	17,3	0,89	3,10	18,1	23,3	0,1
C	80—120	2,72	1,40	48,5	33,5	2,01	2,01	16,3	22,1	0,1
	—	—	—	—	—	—	—	—	—	—
<b>Люцерна</b>										
A	0—28	2,64	1,22	53,8	69,3	2,37	4,78	14,7	26,2	0,8
B	28—58	2,69	1,22	54,7	14,2	1,02	2,78	13,3	36,8	0,7
BC	58—90	2,69	1,33	50,6	6,9	2,00	3,77	15,3	33,8	0,1
C	90—110	2,70	1,33	50,7	34,8	1,16	2,66	19,5	29,7	0,1
	—	—	—	—	—	—	—	—	—	—
<b>Целина</b>										
A	0—10	2,65	1,11	58,1	50,7	3,77	5,55	20,2	56,8	1
B	10—35	2,69	1,11	58,7	49,7	2,81	5,00	16,8	52,4	0,1
BC	35—75	2,69	1,22	54,7	26,8	1,45	2,31	15,1	52,9	2
C	75—115	2,74	1,30	52,6	2,7	1,41	2,13	18,0	44,8	3
	—	—	—	—	—	—	—	—	40,4	4
	—	—	—	—	—	—	—	—	—	5
	—	—	—	—	—	—	—	—	—	0,1

Водопроницаемость почвы зависит от структурности, величины активных пор, степени влажности почв. В сероземно-луговых почвах исследуемого объекта скорость впитывания воды за первый час составляет под лесными насаждениями 1,1 мм/мин, конечная скорость — около 0,1, на целине — соответственно 0,4 и 0,1 мм/мин.

Как видно, химический состав и физические свойства сероземно-луговых почв под лесными насаждениями заметно меняются. Концентрация карбонатов и гумуса в верхнем слое почв заметно варьирует в зависимости от вида сельскохозяйственных угодий. Под лесом за счет органических коллоидов заметно увеличивается содержание физической глины почв. Запас гумуса в метровом слое почв под лесными насаждениями на 120 т/га, сумма поглощенных катионов в 8 раз, водопрочность агрегатов в 12 раз, водопроницаемость за первый час в 2—3 раза больше, чем на целине. Несколько сокращается под лесными массивами объемный вес, гигроскопичность, максимальная гигроскопичность влаги, наименьшая влагоемкость и увеличивается максимальная молекулярная влагоемкость.

## Литература

- Алиев Г. А. Почвы низовых рек юго-восточной части Б. Кавказа (Ахсу, Гирдыманчай). Изд-во АН Азерб. ССР, 1948.
- Алиев С. А. Условия накопления и природа органического вещества почв. Баку, 1966.
- Волобуев В. Р. Почвы и климат. Изд-во АН Азерб. ССР, 1953.
- Захаров С. А. Краткий почвенно-географический очерк Азербайджана. Мат-лы районирования Азерб. ССР, т. I, вып. 2. Баку, 1926.
- Ковада В. А. Почвы Прикаспийской низменности (с.-з. части). М.—Л., Изд-во АН СССР, 1950.
- Мамедов Р. Г. Автореф. докт. дисс. Баку, 1969.
- Тайров Ш. Г. Динамика заселения почв западной Ширвании. Изд-во АН Азерб. ССР, 1960.
- Тюремин С. Н. Почвы Восточно-закавказской равнины. Тр. Азерб. почв. экспед. Захарова, 1926—1927 гг., вып. 2. Баку, 1927.

Институт почвоведения  
и арохимии АН Азерб. ССР

Поступило 27. I 1977

Р. Г. Мамедов, Ю. Ч. Гасанов

**ӘКИЛМИШ МЕШӘНИН БОЗ-ЧӘМӘН ТОРПАГЛАРЫНЫН АГРОФИЗИКИ  
ХАССӘЛӘРИНӘ ТӘСИРИ**

Ширван дүэүндә апарылан тәдгигаттар иетиңсендә мүәјжән едилемшилдири, боз-чәмән торпагларын агрофизики хассәләри әкилмии мешә алтында жашылашары, торпаг эмәләкәләм просесиниң дәжиштирир.

Торпагда нымусун еңтијаты мешә алтында (0-20 см) хам вә јонча саһәләре ииебәттән 1-2 дәфа чох, карбонатлыг исә экениә аз олмушшур.

Суја давамлы агрегатларын мигдары мешә вә јонча алтында чохлуг, хам саһәдә исә азлыг тәшкил едир.

Боз-чәмән торпагларын су-физики хассәләринин дә көстәричиләри мешә вә јонча алтында, хам саһәсінә ииебәттән үстүндүр.

R. G. Mamedov, U. J. Gasanov

**THE EFFECT OF THE FORESTRY PLANTATION TO AGROPHYSICAL CHARACTERISTICS OF GREY-MEADOW SOILS**

Stationary building research showed up, the forestry plantation improved physicochemical characteristics of grey-meadow soils, increased silt and waterpermeability raised watersolidity aggregate.

Академик АН Азерб. ССР Ш. Ф. МЕХТИЕВ, Ж. Н. ТЕР-КАРАПЕТЯНЦ,  
А. А. АЛИЕВ

### О ХАРАКТЕРЕ ИЗМЕНЕНИЯ ВЕЛИЧИНЫ ОТКРЫТОЙ ПОРИСТОСТИ ПОРОД КОЛЛЕКТОРОВ НЕКОТОРЫХ НЕФТЕГАЗОВЫХ ЗАЛЕЖЕЙ НИЖНЕКУРИНСКОЙ ДЕПРЕССИИ

Величина открытой пористости ( $K_{op}$ ) зависит от ряда факторов, в частности от расположения частиц, степени отсортированности их и упаковки зерен, от свойств и объема цементирующего материала, от глубины залегания породы и др. В работе [2] показано, что вблизи тектонического разрыва  $K_{op}$  уменьшается.

В настоящей статье на основании большого фактического материала [1] выявляется зависимость  $K_{op}$  от амплитуды смещения разрывных нарушений, характера тектоники и углов падения пластов. Ниже приводятся результаты анализа открытой пористости по семи месторождениям Нижнекуринской низменности. С целью относительного исключения влияния гравитационного уплотнения использованы те ее величины, которые могли быть привязаны приближенно к одинаковой глубине. В результате наложения величин открытой пористости на структурный план рассматриваемых месторождений (рис. 1) вырисовывается следующая картина.

**Месторождение Кюровдаг.** 1 (глубина 1160—1530 м). Несмотря на то что определение  $K_{op}$  в скв. 115 произведено по кернам, отобранным сравнительно со скв. 67 с относительно больших глубин (разность 370 м), значения ее оказались на 2% больше (хотя, если исходить из гравитационного уплотнения однотипных пород, должна наблюдаться обратная картина). Подобное явление объясняется нами влиянием на скв. 67 двух нарушений с амплитудой смещений ( $A$ ) 300 и 80 м.  $K_{op}$  в скв. 115 обусловливается действием одного разрыва с  $A=40$  м. Как следует из расположения скв. 67, влияние разрыва на изменение открытой пористости фиксируется на расстоянии 100 м.

**2. Глубина 1700—1870 м.** Заниженное значение  $K_{op}$  (22%) в скв. 54 сравнительно со скв. 35 и 173 (26—27%) связано с расположением ее непосредственно у нарушения с  $A=125$  м.

**3. Глубина 2060—2160 м.** Завышенная величина  $K_{op}$  (26%) в скв. 105 относительно скв. 9 и 124 (24—25%) объясняется местонахождением последних на участке с более крутыми углами падения пластов.

На рис. 2 представлены значения  $K_{op}$  по скважинам, расположенным

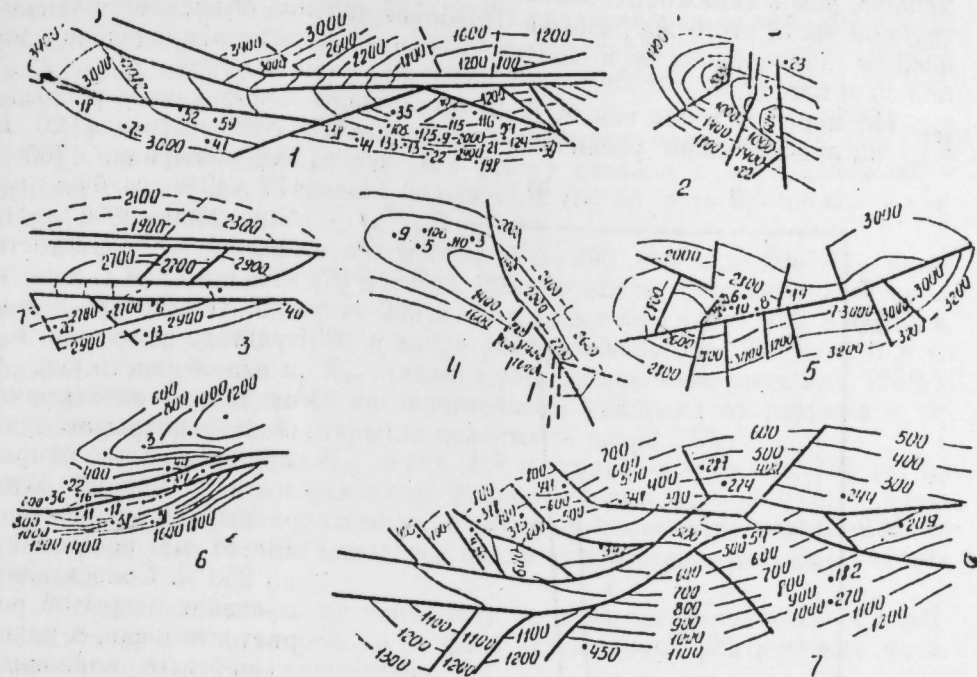


Рис. 1. Структурные карты по кровле I горизонта продуктивной толщи месторождений:  
1 — Кюровдаг; 2 — Мишовдаг; 3 — Карабаглы; 4 — Калмас; 5 — Курсангя; 6 — Каламады; 7 — Нефтчала

ным на круtyх углах падения пласта (9, 13, 21, 22, 39, 124, 173; 198) и на относительно пологих (18, 35, 38, 41, 44, 52, 72; 105; 115; 116; 133). Как видно, в зоне с крутыми углами падения пласта осредненные величины изменения открытой пористости с глубиной на 3% меньше, чем с относительно пологими.

**Месторождение Мишовдаг.** В скв. 23 на глубине 1570 м и в скв. 22 на глубине 1780 м  $K_{op}=22\%$ , в то время как в скв. 24 на глубине 1770 м — 23. В скв. 23 и 24 отклонение от закономерности гравитационного уплотнения с глубиной связано с расположением скв. 23 у нарушения, имеющего  $A=60$  м. Заниженное значение  $K_{op}$  в скв. 22 сравнительно со скв. 24 также обусловлено ее местонахождением у разрыва.

**Месторождение Карабаглы** (глубина 2700—2790 м). Открытая пористость в скв. 6 и 12, расположенных у нарушения, амплитуда смещения пластов которого 150—300 м, меньше (20—22%), чем в скв. 7 и 26 (25—28%), пробуренных у разрыва с  $A=50—70$  м. Рассмотрев положение скв. 12 относительно продольного разрыва, можно увидеть, что влияние последнего распространяется на расстояние до 400 м. В скв. 4 и 13 (глубина 2850—2900 м) величина  $K_{op}$  изменяется в небольших пределах (24—25%), так как первая из них и расположена у разрыва,  $A$  которого равна всего нескольким метрам.

**Месторождение Калмас.** На глубине 1680—1720 м нами выделены две зоны: присбросовая — скв. 3, где  $K_{op}=21\%$ , и зона, расположенная вдали от разрыва, где  $K_{op}=23—24\%$  (скв. 9, 5, 2, 106, 110). Осевое нарушение в первой имеет вертикальную амплитуду смещения пластов до 300 м (скв. 3 находится в 750 м от осевого разрыва).

**Месторождение Курсангя.** В скважинах, расположенных в суженной части клиновидного сводового разрыва с  $A$  до 100 м,  $K_{op}$

меньше, чем в скважинах, заложенных на аналогичных глубинах в рас-  
трубной части этого же разрыва. Подобное явление объясняется умень-  
шением напряженности в последней ввиду ее перераспределения на  
большой площади.

По мере удаления скв. 8, 6, 10 от вершины клиновидного разрыва  
 $K_{op}$  последовательно увеличивается, составляя соответственно 20 м  
10 30 10% %

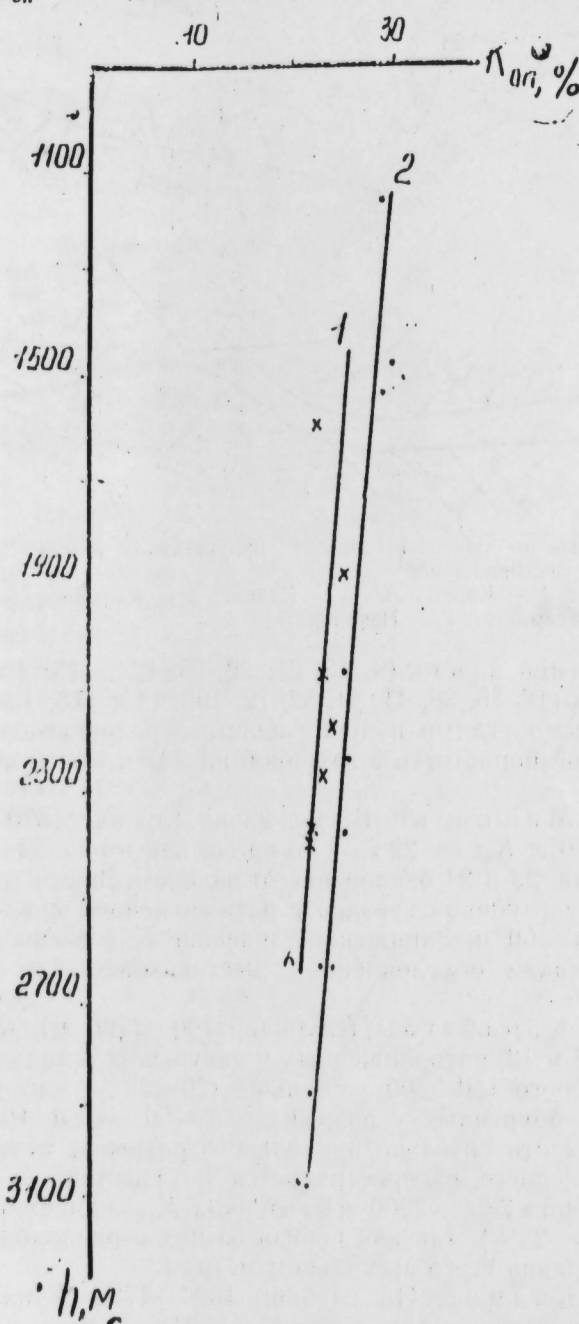


Рис. 2. 1 и 2 — средние величины  $K_{op}$  в скважинах, расположенных соответственно на крутых и пологих углах падения пластов

$K_{op}$  прослеживается на расстояние до 200 м, а от скв. 16 — на 500.  
Месторождение Нефтечала (глубина 390—490 м). Запи-

женное значение  $K_{op}$  в скв. 274 (25%) сравнительно со скв. 287 (27%) обусловлено расположением первой в суженной части блока, находящейся под напряженными усилиями всех трех охватывающих ее разрывов.

На глубине 680—720 м низкая открытая пористость в скв. 375 (22%) по сравнению со скв. 378 (27%) связана с местоположением первой у разрыва, имеющего большую  $A$  (50 м), в то время как у скв. 378  $A=20$  м.

По той же причине на глубине 870—890 м в скв. 290  $K_{op}$  ниже (25%), чем в скв. 405 (29%). Скв. 209 отстоит от нарушения, имеющего  $A=500$  м, на расстояние 200 м, в то время как в скв. 405  $A=500$  м.

На глубине 990—1020 м ввиду расположения скв. 375 на 200 м от разрыва, где  $A=50$  м,  $K_{op}$  также имеет заниженное значение (25%). В скв. 270, находящейся на значительном удалении от разрыва с небольшой величиной  $A$ , открытая пористость равна 27%.

На глубине 1960 м  $K_{op}$  в скв. 436 по сравнению со скв. 182 (31%) меньше (15%), что обусловлено расположением первой в зоне влияния двух ближайших разрывов,  $A$  которых составляет соответственно 120 и 20 м. Скв. же 182 находится вдали от разрыва, имеющего небольшую  $A$ .

Несомненно, открытая пористость по площади изменяется под действием и других факторов, но на фоне изложенного фактического материала их влияние несущественно.

## ВЫВОДЫ

1. Величина  $K_{op}$  определяется расстоянием скважин от зоны влияния напряженности, обусловившей разрывные нарушения, а также амплитудой и конфигурацией разрыва. Чем больше  $A$ , тем меньше  $K_{op}$ . С увеличением углов падения пластов значение  $K_{op}$ , как правило, уменьшается.

2. Влияние разрыва на изменение открытой пористости фиксируется на расстояние до 250—400 м, а возможно, и больше.

## Литература

- Али-заде А. А., Ахмедов Г. А., Аванесов В. Т: Каталог коллекторских свойств продуктивной толщи Азербайджана, кн. 2. Баку, Изд-во «Элм», 1971.
- Мехтиев Ш. Ф., Тер-Каранетянц Ж. И., Агадамский М. А., Аршинов И. К., Алиев А. А., Голубева Н. Н. «ДАН Азерб. ССР», т. XXXI, 1975, № 8.

Институт геологии  
АН Азерб. ССР

Поступило 4. IV 1977

Ш. Ф. Мехтиев, Ж. И. Тер-Каранетянц, О. А. Элиев

## АШАГЫ КҮР ДЕПРЕССИЯСЫ НЕФТ ІТАГЛАРЫНЫИ КОЛЛЕКТОР СУХУРЛАРЫНДА ӘЛӘГӘЛІ МӘСАМӘЛІК ӘМСАЛЫНЫИ ӘДӘДИ ГИЈМАТИНИИ ДӘЈИШМӘСИ СӨЧИЛДІСИ ҺАГГЫНДА

7 нефт йотагы үзәринде апарылмын тәдгигаттар иетичесиңде мұаффаи едилмишидир ки, әләгәлі мәсімәлік коеффициентинин (ӘМК) әдәди гијмати һөм гырылма позгунлуғуна ғәдер олар мөнфәдән, һөм да гырылма амплитудасынын ( $\Delta$ ) әдәди гијматиниден пысым олур.

А-ның әдәди гијмати на лицензияне бечуге бојук олдугча, ӘМК-нин гијмати киңи-лар.

ӘМК-нин әдәди гијмати гырылма позгунлуғуның һәндесі олчуларындан асылдырып, Гырылма позгунлуғуның ӘМК-нин әдәди гијматинин дејишилмөсін то'сирі 250—400 м мөнфәдә ғәдер айлан мүшшінде олунур.

Sh. F. Mekhtiev, Zh. N. Ter-Karapetyants, A. A. Aliev

ON THE SIZE CHANGE CHARACTER OF THE OPEN ROCK POROSITY  
OF COLLECTORS OF SOME OIL-GAS DEPOSITS IN THE LOWER  
KURINSKAYA DEPRESSION

On the example of 7 deposits the authors show that the meaning of open porosity size is in connection with the distance from break destruction and the amplitude value ( $A$ ) as well. The greater  $A$  and the angles of reservoir drop are, the less  $K_{on}$  is.

The value of  $K_{on}$  depends on geometry of the break.

The influence of the break on the change of  $K_{on}$  value is accurately fixed at the distance up to 250–400 m.

АЗЭРБАЙЧАН ССР ЕЛМЛӘР АКАДЕМИЯСЫНЫН МӘРУЗӘЛӘРИ

ДОКЛАДЫ АКАДЕМИИ НАУК АЗЕРБАЙДЖАНСКОЙ ССР

ТОМ XXXIII чилд

№ 9

1977

УДК 563. 125/179.24/

ПАЛЕОНТОЛОГИЯ

Г. К. КАСИМОВА, Д. Г. АЛИЕВА

НОВЫЕ ВИДЫ ИЗ ГРУППЫ PLANULARIA TRICARINELLA ЮРСКИХ  
ОТЛОЖЕНИЙ АЗЕРБАЙДЖАНА

(Представлено академиком АН Азербайджанской ССР А. А. Ализаде)

Среди представителей рода *Planularia* можно выделить группу видов объединяемых следующими основными признаками—наличие на боковых сторонах и в середине спинного края трех параллельных килей, окаймляющих спинной, брюшной и спиральные края раковины, такого же характера надшововые ребра, выступающие над плоскими поверхностями камер.

С подобной характеристикой Рейссом (1862 г.) из нижнемеловых отложений Германии впервые был выделен вид *Planularia fricarinella*. Перечисленные морфологические признаки, резко бросающиеся в глаза, как бы затушевывают остальные, не менее важные, вследствие чего рядом исследователей [1, 3, 4, 6–8 др.] виды из разновозрастных отложений описывались как *Planularia tricarinella*, что снижало стратиграфическое значение представителей этой группы.

Впервые на это указала И. В. Митянина [2], описав новый вид *Planularia fricostata* из верхнеюрских отложений Белоруссии. Исследование представителей группы из средне- и верхнеюрских отложений, Азербайджана, анализ литературных материалов позволил установить здесь наличие видов *P. praetricostata* sp. n., *P. subtricostata* sp. n., *P. tricostata* (Mitjanina), характеризующих определенный стратиграфический интервал разреза.

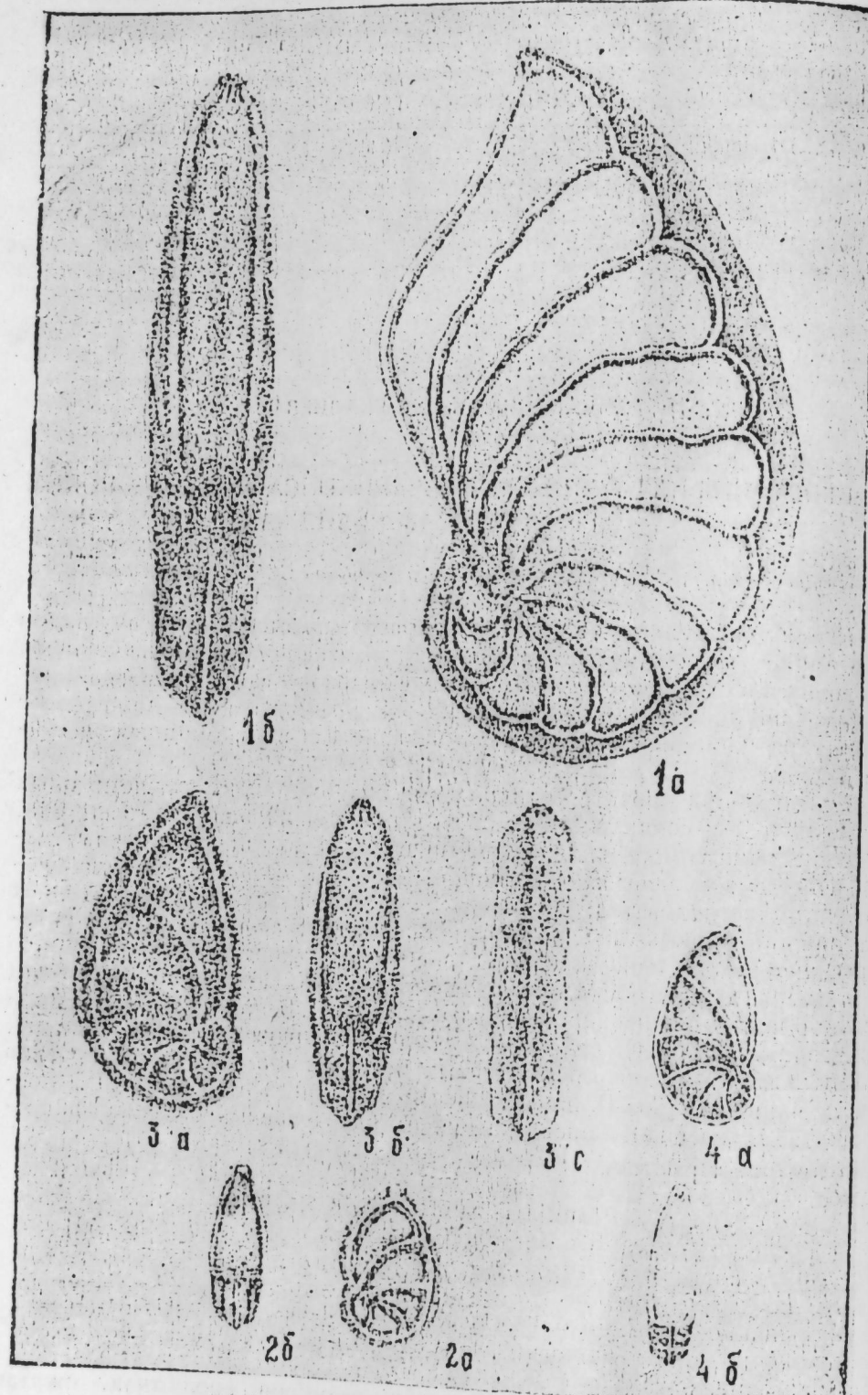
*Planularia subtricostata* sp. n.

Таблица, рис. 3а, б, с

Название вида—по близости к *P. tricostata* (Mitjanina).

Голотип—Ин-т геологии АН Азерб. ССР, № 30/1331, Нах. АССР, с. Азнабурт, бат.

Описание. Раковина небольших размеров, эволюционная, скатая с боковых сторон, с плоскими, почти параллельными боковыми сторонами, овально-треугольного очертания, с относительно узкозакругленным основанием и заостренным устьевым концом. Спинной край серповидно-выгнутый, брюшной—слегка вогнутый в месте смыкания первой и последней камер. Оба слабжены тонким прозрачным килем. Восемь камер образуют около одного оборота быстроразворачивающейся спирали. На-



Rис. 1а, б. *Planularia praetricostata* D. Alieva sp. n. № 70. Голотип № 1331, Азербайджан, Нах. АССР. Неграмское ущелье Аракса, верхний байос.  
 Рис. 2а, б. *Planularia tricostata* (Mitjanina) № 90. Оригинал, Азербайджан, Нах. АССР, с. Азиабюрт, келловей.  
 Рис. 3а, б, с. *Planularia subtricostata* D. Alieva sp. n. № 90. Голотип № 1332, Азербайджан, Нах. АССР, с. Азиабюрт, бат.  
 Рис. 4а, б. *Planularia praereticostata* D. Alieva sp. n. № 1333, Азербайджан, Нах. АССР, с. Азиабюрт, келловей; а — вид с боковой стороны; б — вид со стороны устьевой поверхности; с — вид с периферического края.

чальная камера расположена не у самого брюшного края, а немногого отступа от него — в вогнутом пупке. Остальные камеры сбоку треугольные, с почти плоскими наружностями (внутренние концы их, завернутые в пупочную часть, касательно примыкают к начальной камере). Очень быстро расширяются с разворотом спирали, мало изменяясь в высоту. Последние две камеры шире, чем предыдущие. Ширина последней камеры превышает высоту в 5 раз. Септальные швы довольно резко выделяются над плоскими и менее прозрачными поверхностями камер. Эти утолщения продолжаются и окаймляют камеры и со стороны периферического края. Со спинного края видны три ряда тонких параллельных утолщений, проходящих вдоль раковины. Септальная поверхность раковины узкая, несколько выпуклая, гладкая, удлиненных очертаний, окаймлена такого же типа утолщениями, как киль и септальные швы. Устье лучистое.

Экземпляры	Размеры, мм*					К
	Д	Ш	Т	Д:Ш	Ш:Т	
Голотип	0,40	0,17	0,16	1,6	1,3	7
Наибольший	0,75	0,37	0,19	2	2	9
Наименьший	0,35	0,14	0,12	2,4	1,3	6
Наиболее часто встречающиеся	0,49	0,31	0,18	1,6	1,7	7
	0,39	0,21	0,15	1,6	1,6	7

\* Д — длина раковины, Ш — ширина раковины, К — количество камер, Т — толщина раковины, Д:Ш — степень удлиненности, Ш:Т — степень уплощенности.

Изменчивость наблюдается в степени удлиненности (Д:Ш) и в уплощенности (Ш:Т), остальные морфологические признаки этого вида проявляют устойчивость.

**Сравнение.** Раковина входит в группу видов *Planularia tricarella* (Reuss) по наличию двойного киля. От *Planularia tricostata*, встреченной нами в келловее Нахичеванской АССР, отличается более удлиненными раковинами и последними камерами, а также большей степенью удлиненности (Д:Ш-1,6—2,4).

**Геологическое и географическое распространение.**  
Бат. Нах. АССР.

**Материал.** Более 15 экз. хорошей и удовлетворительной сохранности из трех местонахождений; сс. Азиабюрт. Билав, Неграмское ущелье Аракса.

#### *Planularia praetricostata* sp. n.

##### Таблица, рис. 1а, б

Название вида — по появлению ранее *Planularia tricostata* (Mitjanina)

**Голотип** — Ин-т геологии АН Азерб. ССР, 30/1332, Нах. АССР, Неграмское ущелье Аракса, верхний байос.

**Описание.** Раковина крупных размеров, эволюционная, полуразвернутая, удлиненная, с плоскими, почти параллельными боковыми сторонами, относительно узкозакругленная в основании и расширяющаяся в сторону устьевого окончания. Устьевой конец вытянутый. Спинной край широко вогнутый, брюшной слегка вогнутый в месте смыкания первой и последней камер. Оба снабжены тонким неострым прозрачным килем. Спиральная часть раковины образована десятью узкими, сильноизогнутыми треугольной формы камерами, сильно увеличивающимися в размерах в сторону последней камеры, причем ширина превы

шает высоту в 4—5 раз. Начальная камера маленькая, овальная, вокруг нее сходятся камеры спиральной части. Камеры выпрямленной части, плавая друг на друга, своими внутренними концами касательно примыкают к начальной (кроме последних одной-двух). Характерным признаком этого вида является его ориентация. Септальные швы подобно килью периферического края выступают над плоскими поверхностями камер и окаймляют их со всех сторон. Со спинного и брюшного краев видны как бы три киля — один спинной периферического края и два слегка волнистых, расположенных по обеим сторонам срединного — в сторону боковых поверхностей и окаймляющих спинной брюшной и септальные края. Септальная поверхность раковины узкая, несколько выпуклая, гладкая, с выступающими краями, которые являются продолжением боковых килем. Устье чистое — на суженном конце последней камеры. Стенка гладкая, матовая.

	Размеры, мм					К
	Д	Ш	Т	Д:Ш	Ш:Т	
Голотип	1,2	0,76	0,31	1,6	2,5	10
Наибольший	1,53	0,90	0,37	1,8	2,2	12
Наименьший	0,75	0,40	0,21	1,9	2,	7
Наиболее часто встречающиеся	1,05	0,65	0,25	1,8	2,6	11
	0,97	0,50	0,15	1,0	3,3	9

**Изменчивость.** Раковина обычно маловарьирующая. Иногда наблюдающееся различие проявляется в степени вогнутости брюшной стороны и в количестве камер.

**Сравнение.** Наш вид сходен с *Planularia tricarinella* из средней юры Германии, описанной К. Френценом [8]. Отличается большим количеством камер, их удлиненностью очертанием последней камеры, более высокими надшовными ребрами. Имеет сходство также с *Planularia tricosata*, описанной Митяниной для оксфорда Белоруссии, но отличается довольно крупными размерами, более удлиненной формой раковины, слегка расширяющейся к устьевому окончанию, большим количеством камер, большей изогнутостью их и менее заостренными килями. От *P. subtricosata*, описанной нами из бата Нахичеванской АССР, отличается менее изогнутым спинным килем, более широкими и низкими камерами, их большим количеством, крупными размерами раковин.

**Геологическое и географическое распространение.**  
Верхний байос. Нах. АССР.

**Материал.** 10 экз. удовлетворительной и хорошей сохранности из двух местонахождений: Неграмское ущелье Аракса, с. Азиабурт.

#### *Planularia praereniformis* sp. n.

Таблица, рис. 4а, б

Название вида — по появлению ранее *Planularia reniformis* (d' Orbigny).

**Голотип** — Ин-т геологии АН Азерб. ССР, № 30/1333, Нах.

**Описание.** Раковина небольших размеров, сильно уплощенная с боковых сторон, удлиненная, закругленная в основании и слегка приостренная у устьевого конца. Спинной край широко выгнутый, с очень тонким прозрачным килем. Брюшной край немножко вогнутый у

места смыкания первой и последней камеры спирали — на расстоянии примерно 1/4 длины раковины от уровня ее основания. Восемь камер, составляющих раковину, образуют, почти полный оборот быстроразворачивающейся спирали. Начальная камера очень маленькая, едва просвечивается в просветляющей жидкости — в чуть вогнутом пупке у брюшного края. Остальные камеры сбоку изогнуто-треугольные сильно увеличиваются в размерах с разворотом спирали. Ширина последней камеры превышает высоту в 3 раза. Внутренние концы камер заострены и немножко завернуты в слегка вогнутый пупок, где плотно сближаются между собой. Септальные швы, очень узкие и слегка изогнутые, выделяются в виде светлых или прозрачных стекловатых линий на уровне более темной поверхности камер. Устье слаболучистое — на чуть выступающем бугорке спинного края последней камеры, у которой септальная поверхность, слегка выпуклая и удлиненная, окаймлена такими же тонкими прозрачными линиями как септальные швы и киль. Стенка гладкая, стекловато-матовая, тонкая.

Экземпляры	Размеры, мм					К
	Д	Ш	Т	Д:Ш	Ш:Т	
Голотип	0,46	0,25	0,07	1,8	3,5	8
Наибольший	0,81	0,36	0,12	2,2	3,0	12
Наименьший	0,20	0,12	0,04	2,5	3,0	5
Наиболее часто встречающиеся	0,62	0,31	0,11	2,0	3,8	9
	0,51	0,27	0,07	2,0	3,7	8

**Изменчивость.** Описываемый вид достаточно устойчив в отношении формы и размеров раковины, характера камер и септальных швов.

**Сравнение.** Описываемый вид имеет большое сходство с *Planularia reniformis* d' Orbigny из кимериджа Германии, приведенным Брюкманом. Отличается от него большими размерами, крупными удлиненными камерами; более тонким килем и септальными швами.

**Геологическое и географическое распространение.** Келловей. Нах. АССР.

**Материал.** 14 экз. удовлетворительной сохранности из трех местонахождений: с Азиабурт, урочище Казапляйла, г. Анабад-Гядык.

#### Литература

- Каптаренко-Черноусова О. К. Тр. УГН УССР, серия страт. I палеонт 1961.
- Митянин И. В. О фораминиферах юрских отложений юго-востока Белоруссии и их стратиграфическом значении, Сб. палеонт. и стратигр. Ист. геол. АН БССР, сб. IV. Минск, 1963.
- Bartenstein L. & Brand. Micropaleontologische Untersuchungen zur Stratigraphie des nordwest-deutschen Lias und Dogger Anandeutungen der senckenbergenschen Naturforschenden Gesellschaft. Adh., 1937-49.
- Bielecka W., Pozaryski S. Stratigrafia micropaleontologiczna gornego malmu. Poce srodkowej Prace Inst. Geol., 1954.
- Brückmann R. Die Foraminiferen des litauisch-kurischen Jura. Phys.-ökonom. Ges. Königsd., Bd. 45, 1904.
- Gordon W. A. Variation and its significance, in classification of some English Middle and Upper Jurassic nodosariid foraminifera. micropaleontology 12, 1966, № 3.
- Lutze G. F. Zur Stratigraphie und Palaeontologie des callovien und Oxfordien in Nordwest-Deutschland. Geol. Jd., Bd. 77 Add., 1961.
- Frentzen K. Die Foraminiferafaunen des Lias, Dogger und unteren Malm der Umgegend von Blumberg, 1941.

Поступило 23. II 1977

Институт геологии  
АИ Азерб. ССР

К. Г. Гасымова, Д. Н. Элиева

АЗЭРБАЙЧАН ЙУРА ЧӨКҮНТҮЛӘРИНДӘ PLANULARIA TRICARINELLA ГРУПУ.  
НУН ЖЕНИ НӨВЛӘРИ

Азәрбайчанын Орта ва Уст Йура чөкүнтуләриндә таңыланал *Planularia* чинси нұма-  
јәндәләринин дәлгигаты нәтижасында әсас морфологиялық әзімәгләре көрә бирләш-  
миши, бир мүсгәгил групп кими инициашаф едән, бир нечә нөв ашқар едилмишидір—*Pian-  
ularia praetricostata*, sp. n., *P. subtricostata* sp. n., *P. tricostata* (Mitjanina).  
Мәғаләдә үч жени нөвүн тәсвири верилмишидір.

G. K. Kasimova, D. G. Alijeva

NEW SPECIES FROM THE GROUP PLANULARIA TRICARINELLA  
OF JURA DEPOSITS IN AZERBAIJAN

Careful investigation of *Planularia*—representatives from middle—and Upper Ju-  
rassic deposits in Azerbaijan allowed to distinguish the presence of species, mergen-  
ced by main morphological characters in one independent developed group within the  
middle Jura—Cretaceous—*Planularia praecostata* sp. n., *P. subtricostata* sp. n., *P. tricos-  
tata* (Mitjanina).

Description of the new species is also given in the article.

АЗЭРБАЙЧАН ССР ЕЛМЛӘР АКАДЕМИЈАСЫНЫН МӘРУЗӘЛӘРИ

ДОКЛАДЫ АКАДЕМИИ НАУК АЗЕРБАЙДЖАНСКОГО ССР

ТОМ XXXIII чилд

№ 9

1977

УДК 91(014)

ТОПОНИМИКА

Член-корр. АН Азерб. ССР Б. А. БУДАГОВ, А. И. АЛИЕВ

ДАСТАНЫ «КИТАБИ ДЕДЕ КОРКУТ» ҚАК ИСТОЧНИК  
ИЗУЧЕНИЯ ТОПОНИМИИ АЗЕРБАЙДЖАНА

«Китаби Деде Коркут» занимает важное место в культурной, об-  
щественно-политической и литературной жизни азербайджанского наро-  
да. Этому литературному памятнику посвящен ряд работ советских  
[1, 2, 3, 9] и зарубежных авторов<sup>1</sup>.

Несомненным представляется также значение «Китаби Деде Кор-  
кут» для изучения топонимии Азербайджана. В дастанах встречаются  
такие топонимы, как Гёйдже дениз (Гёйдже гёл), Гурджустан, Элинд-  
же галасы, Газлыг дагы (Кавказ дагы), Газанбулаг, Аккая, Гапылар  
дербент, Барда, Гянджа, Шарур и др. Личные имена и этнонимы из  
популярного памятника со временем превратились в названия геогра-  
фических объектов, которые сохранились до настоящего времени. Изу-  
чение личных имен, представленных в дастанах (Коркут, Байындыры,  
Улаш оглы, Салур Казан, Сельджук оглы, Дели Дондар, Карагюне  
оглы Карабудаг, Караджык Чобан, Духа годжа оглы Дели Домрул,  
Дюгер, Бекиц, Акрак, Басат, Бойу узуу Бурла Хатун и др.) поможет  
пролить свет на многие вопросы ономастики Азербайджана.

Хотя дастаны были записаны в XI—XII вв., описываемые в них со-  
бытия восходят к глубокой древности. Как нам кажется, имена героев  
дастанов Байындыра, Дюгера, Салура, Дондара, Карабудага и других  
превратились впоследствии в названия возглавляемых ими племен и ро-  
дов. Так, Байындыр был огузским ханом (6, 16), завоевавшим народ-  
ную славу. В то же время байындыр — это название третьей ветви огу-  
зов (7, 1, 5; 6). В этом этнониме увековечено имя главы племени—хана  
Байындыра. В XIX в. в Александропольском и Зангезурском уездах  
Эриванской губернии существовали села с названием Баяндыр (8, 34).  
Позднее они были переименованы. К этнониму «байындыр» восходит  
и название Баяндурул в Мир-Баширеком районе Азербайджанской  
ССР. Другой герой «Китаби Деде Коркута»—Дюгер был главой тысячи  
войинов (6, 83). Махмуд Кашиги пишет, что одиннадцатая ветвь огу-  
зов называлась «дюгер» (7, 1, 56). Несомненно, племя дюгер носило  
имя своего главы Дюгера. Расположенное на территории Шамхорского  
района с. Дюгерли когда-то было местопребыванием дюгеров.

<sup>1</sup> Дастаны «Китаби Деде Коркут» исследовали немецкий учений Дите, итальян-  
ский Э. Россел, турки Орхан Шанг и Мухаррем Эргин.

В дастанах Салур Қазан выступает как бейлербек хана Байындыра (6,131). Наиболее многочисленное племя огузов также носило название салур (7, 1, 56) — по имени своего главы. По-видимому, название с. Салер Шамхорского района связано с пребыванием здесь салуров.

Бестрашимым, мужественным героям предстает перед нами Дели Донар (6, 10, 9). Со временем его имя превратилось в название рода. Можно предполагать, что ойконимы Дондарлы (село в Кубатлинском районе), Донар Күшчу и Донар Азаплы (села в Таузском районе) появились после пребывания в этих местах дондаров

Караджык был чобаном, обладающим легендарной силой. В памятнике о нем говорится: «У пастуха была праща, с ямкой из кожи трехгодовалого теленка, с боками из шерсти трех коз, с ремнем из шерсти одной козы; при каждом ударе он бросал камень (восьмь) и двенадцать манов, брошенный им камень не (скорь) падал на землю; когда он падал на землю, он (вновь) поднимался пылью, вертелся, как очаг, в том месте, где камень касался земли и падал, травы не вырастало» (2,28). Имя Караджыка Чобана позднее стало названием рода. В Нахичеванской АССР было с. Каракчуг, также связанное с его именем.

Название с. Карагюне в Али-Байрамлинском районе, по нашему мнению, происходит от имени брата Салура—Қазана Карагюне.

О сыне Карагюне Карабудаге в дастанах говорится: «Прискакал сын Кара-Гюне Кара Будаг, сокрушивший крепости Хамид и Мардии, заставший изыгать кровь вооруженного железным луком царя Кинчака, мужественно взявший дочь Қазана; белобородые старцы, завидя этого джигита, славили его; на нем были шаровары с красными шпорами, на его коне было украшение из морских раковин» (2, 30)..

В свое время в Масиском районе Армянской ССР существовало с. Чобанкере, часть жителей которого относилась к роду карабудаглы.

Одним из крупнейших огузских племен, упомянутых в «Китаб Деде Коркут», было племя баят. Сам Деде Коркут принадлежал к этому племени: «Близко к времени посланника (божьего), привет ему, из племени Баят вышел человек по имени Коркут-Ата («отец Коркут»). Среди огузов он был первым человеком, он знал все; все, что он говорил, сбывалось» (2, 11). Со временем баяты смешались с соседними племенами, однако их этническое название сохранилось в топонимии. Уточнению ареала распространения названного племени может помочь существование целого ряда сел с названием Баят (Агджабединский, Нефтечалинский, Уджарский и Шемахинский районы). В XIX в. в Шушинском уезде Елизаветпольской губернии были известны развалины г. Баят и села того же названия (8,34).

Второй ветвию огузов явились гайы (6,11). Их местопребыванием, по-видимому, были с. Говляр в Таузском, Сабирабадском и Ханларском районах. Любопытно, что местные жители произносят название своих сел как Гойлар. Здесь аффикс «лар» обозначает множественность. Что же касается превращения «гайы» в «гой», то это вполне закономерно, поскольку гласная «а» легко переходит в «о» (например: баба—боба, давар—довар и т. д.).

В «Китаби Деде Коркут» встречается целый ряд древних слов, которые, хотя и архаизировались в современном азербайджанском языке, тем не менее остались в составе географических названий. Анализ этих слов представляет особую ценность для изучения истории азербайджанского языка.

Слово «кепенек» в дастанах употребляется в значении «бурка»: «Чобан кәпәнәјин үзәрләrinә атды» — «Чобан набросил на себя бур-

ку», «Оглана гара кәпәнәк қејdirмишләрди» — «На мальчика надёл черную бурку» (6, 78; 113). В настоящее время в Закатальском районе есть с. Кепенекчи. Такое же село существует и в Бардинском районе. В начале XIX в. села с таким названием были известны в окрестностях Тбилиси и Телави (Грузия). В Болниссском и Марнеульском районах Грузинской ССР также имеются с. Кепенекчи. В Александровском уезде Эрваниской губернии существовали Большое Кепенекчи и Малое Кепенекчи (8, 113), впоследствии изменившие свои названия. Мы предполагаем, что «кепенекчи» было названием одного из древних огузских племен. Этот этоним связан с сохранившимся в азербайджанском языке архаизировавшимся словом «кепенек». В древности название «кепенекчи» получила этническая группа, представители которой ткали бурки («кепенек»). По всей вероятности, формирование племени «кепенекчи» относится ко времени создания «Китаби Деде Коркут». Как известно, события, описываемые в дастанах, происходили на территории Западного Азербайджана, граничного с Грузией и Арменией. Естественно, что имена в этих местах встречаются села с названием Кепенекчи. По-видимому, первые жители с. Кепенекчи Закатальского района носили этническое название «кепенекчи».

Среди древних лексических единиц, встречающихся в «Китаби Деде Коркут», можно отметить также слово «агынджи» (6, 115), которое употребляется в значении «воин»: «Ағыңчылар кафирин елии-күнүн уруб, гызын кәлинин эсир етдиләр» (6, 15) — «Акынджиинцы разрушили страну иноверцев и пленили их сестер и жен».

Словом «акынджи» назывались военные части, прошедшие специальную подготовку. Такие части в XV—XVI вв. существовали в турецкой армии (5, 239). Обычно они размещались в пограничных областях. Как нам кажется, название р. Ахындже в Таузском районе является реликтом древнего термина «агынджи». В XIX в. на берегу этой реки существовал кишлак Акындже. Жившие когда-то в нем акынджиинцы и дали название реке.

Слово «бой» употребляется в дастанах в значении «племя» (6, 11). Это же значение оно имеет и в древнетюркских письменных памятниках (4,110). Данное слово сохранилось в названиях некоторых сел на территории Азербайджана: Бойахмед (Джульфинский район), Бойахмедли (Агдамский), Бойханлы (Джалилабадский), Горанбой (Касум-Исмаиловский).

«Тоган» в памятнике означает «сокол» (6, 172). В том же значении оно употребляется и в древнетюркских письменных памятниках (4,571). Входит оно в состав названия с. Тоганлы в Ханларском районе.

Слово «кызылджык» зафиксировано в памятнике в значении «кизил». В дастанах говорится:

Гызылчыг дәјәнәјимчә калмәз мана,  
Гылычының ә юәрәән, мәрә кафир (6,30).  
Что ты хвалишься своим мечом, гүр?  
По мне, ему не сравниться с моей кизиловой палкой».

В этом же значении слово «кызылджык» широко распространено в современном турецком языке. В Кахском районе Азербайджанской ССР к востоку от с. Чудулу имеется Кызылджык мешеси (кизиловый лес). С этим словом связано также название болезни кызылджык (корь), при которой на теле больного появляется сыпь, похожая по цвету на кизил.

Слово «әсерүк» имеет в дастанах значения «пьяный», «возбужденный» (6, 164). Наблюдения показывают, что оно сохранилось в назва-

ний р. Асрук в Таузском районе. В Кельбаджарском районе имеется село с тем же названием.

«Бугра» переводится на русский язык как «самец верблюда» (6,51). С небольшими фонетическими изменениями это слово представлено в топониме Быгыр (село в Геокчайском районе). В верхнем течении р. Геокчай имеются развалины с. Быгырлы («место, где много верблюдов»).

Слово «агач» употребляется в «Китаби Деде Коркут» (6, 157) для обозначения меры расстояния (8 верст, 7 км). В том же значении оно употребляется и в дастане «Кероглу». В современной топонимии это слово сохранилось в составе названия с. Алтыагач Апшеронского района. Это село находится на расстоянии «алты ачаг» ( $6 \times 7 = 42$  км) от Шемахи.

Сопоставительное исследование языка дастанов «Китаби Деде Коркут» и топонимии Азербайджана свидетельствует о том, что в Азербайджане местные огузские племена, названия которых сохранились до наших дней в топонимах, проживали еще до прихода сельджуков в XI в. Кроме того, тот факт, что на территории Азербайджана имеется множество топонимов, так или иначе связанных с дастанами, показывает ошибочность точек зрения исследователей, относящих «Китаби Деде Коркут» к другим тюркским народам.

Вполне возможно, что дальнейшие исследования выявят новые топонимы, связанные с дастанами.

#### Литература

1. Араслы Н. "Китаби-Дэдэ. Горгуд" на гында. "Китаби-Дэдэ. Горгуд". Бакы, 1962 (мүгэдлимә).
2. Бартольд В. В. Книга моего деда Коркута. М.-Л., 1962;
3. Дэмирович З. "Китаби-Дэдэ. Горгуд" дастанларынын дили. Бакы, 1959.
4. Древнетюркский словарь. Л., 1969.
5. Islam Ansiklopedisi, I. İstanbul, 1941.
6. "Китаби-Дэдэ. Горгуд". Бакы, 1962.
7. Mahmut Kasgarî. Divanu-Lugat-ı Türk tescümesi, cevireni: Besim Atalay, I. Ankara, 1939.
8. Пагирев Д. Д. Алфавитный указатель к пятиверстной карте Кавказского края. Тифлис, 1913.
9. Чемшидов Ш. "Китаби-Дэдэ. Горгуду вәргләйәркән". Бакы, 1969.

Институт географии  
АН Азерб. ССР

Поступило 26. IV 1977

Б. А. Будагов, Э. И. Элиев

#### «КИТАБИ-ДЭДЭ ГОРГУД» ДАСТАНЛАРЫ АЗӘРБАЙЧАН ТОПОНИМИЯСЫНЫН ӨҮРӘНИЛМӘСИНДӘ БИР МӘНБӘ КИМИ

«Китаби-Дэдэ Горгуд» дастанлары Азәрбајҹан топонимијасынын өүрәнилмәси учун гијметли мәнбәdir. Абидәдә гејд олунан антропоним вә етнонимләри бә'зиләри топонимијада бу күнә гәдәр муһаффизә олуммагдадыр. Бизчә, дастандакы Бајандур, Дүјәр, Салур, Доңдар, Гарабудаг, Гаракүнә вә баşqы гәһрәмәнларынын адлары соңрактар тајфа адыны да-шымышылар.

Азәрбајҹан ССР-ин әразисинде Бајандурлу, Салур, Дүјәрли, Доңдарлы, Доңдар Гушчу кәндләри огуз тајфаларынын адларынын әбәдиләндиրмисидир.

Бајат вә Йөвлəр кәндләри дастанда адлары чәкилән "бајат" вә "гајы" тајфаларынын етник адыны горујуб сахламышылар.

Үмумијәттә, дастанла әлагәдәр топонимләрин Азәрбајҹан әразисинде гејд алынmasы опу ("Китаби-Дэдэ Горгуд" дастанларыны) баşqы түркдилли халглara иң еди тәдгигатчыларынын фикирләrinин јашылыш олдуғану сүбүт едир.

B. A. Budagov, A. I. Aliyev

#### THE SIGNIFICANCE OF EPOS „KITABI-DEDA KORGUD“ IN STUDYING THE TOPOONYMY OF AZERBAIJAN

Some anthroponymies, names of tribes and archaic words met in dastan are pre-  
served in toponomy till the present day.

To our minds, Bayindyr, Dyuger, Salur, Dondar, Karabudag, Karagyune and the names of other heroes late were formed as the names of tribes and families. Tribes and families used to carry the names of their leaders.

Villages called Bayandurlu in Mirbashir, Dyugerli and Saler in Shamkhor, Dondar Kushchu in Tovuz and Dondarly in Kubatly districts are carrying the names of oguz tribes. Village Karagyune which is near Ali-Batramly town preserves the name of hero Karagyune. The names of villages Bayat and Kovllar show the names of oguz tribes called "boyat" and "kayl".

The word kepenek "yapandzha" is preserved in ethnonym Kepenekchi and akyndzhy "flying detachment" in hydronym Akyndzhy.

—

—

—

—

—

—

—

—

—

—

—

—

—

—

—

—

—

—

М. А. ГЮЛЬДУСТ

## НОВЫЕ ВЗГЛЯДЫ НА ТЕКТОНИЧЕСКОЕ СТРОЕНИЕ РАЙОНА КУРИНСКОЙ ДЕЛЬТЫ И НЕКОТОРЫЕ ПРЕДПОСЫЛКИ ПОИСКОВ ЗАЛЕЖЕЙ НЕФТИ И ГАЗА

(Представлено академиком АН Азербайджанской ССР Г. А. Ахмедовым)

Район Куринской дельты орографически представляет собой равнину, покрытую наносами — солончаками. Рельеф осложнен лишь современной долиной р. Куры. С юга и юго-запада этот район сливаются с более или менее расчлененными участками площадей Нефтечала и Хиллы, осложненных сопками и грифонами Пильпилинской и Дуздагской групп грязевых вулканов, и покрыт в основном сопочными брекчиями последних (рис. 1). Названные площади, имеющие сложное тектоническое строение, являются хранилищами залежей нефти, газа и йодобромных вод, имеющих довольно широкие контуры распространения как по разрезу, так и по площади. В пределах тех тектонических блоков северо-восточных крыльев структур, где отложения содержат йодобромные воды, — на далеких погружениях пластов насыщенность их коллекторов и процент йодобромности сохраняется. Этот факт свидетельствует о застойности залежей и изолированности этой зоны (северо-восточные крылья указанных структур), т. е. район Куринской дельты, обращенный к Куринской депрессии с точки зрения захоронения в недрах нефти и газа и, возможно, йодобромных вод имеет важное значение и как объект для дальнейшего поиска не должен оставаться без внимания. Сказанное подтверждается и рядом приведенных ниже геологических данных.

Составленная структурная карта по кровле ПТ показывает, что площади Нефтечала и Хиллы, имеющие антиклинальное строение, осложнены тремя региональными (зафиксированы вдоль Кюровдаг-Нефтечалинской антиклинальной зоны) продольными и многими мелкими и крупными поперечными разрывами, амплитуда смещения которых достигает соответственно 1000 и 500 м (рис. 1б). Названные продольные разрывы прослеживаются по оси (центральный) и параллельно ей по присводовым частям структур. Наиболее развит центральный, к которому приурочены грифоны и сальзы грязевых вулканов. Северо-восточный и юго-западный разрывы имеют сравнительно слабое раз-

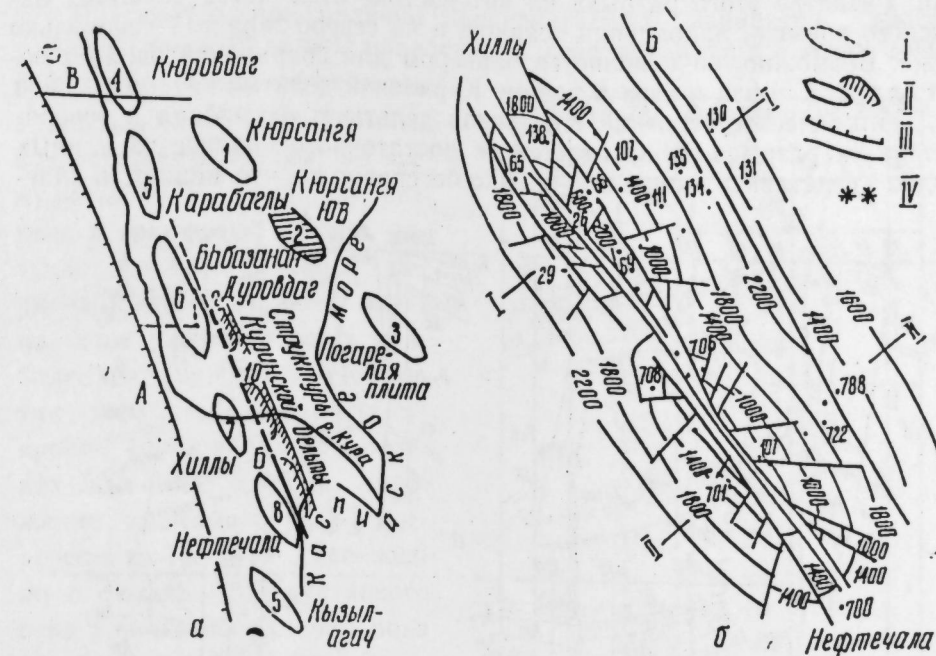


Рис. 1: а — структура центральной части и юго-западного борта Нижнекуринской впадины; б — структурная карта по кровле ПТ:  
I — установленные структуры; II — предполагаемые погребенные структуры; III — погребенные разрывы; А — Куринский разлом; Б — разрыв Куринской дельты; В — Саатлинский; Г — Дайкендский (предполагаемый) поперечные разрывы; IV — грязевые вулканы

витие и, затухая в пределах седловины, создают условия для сохранения залежей нефти и газа в разрезе периклиналей.

Обработка и анализ геоэлектрических, характеристик пробуренных структурно-поисковых и глубоких скважин (нефтегазовые и йодобромные) показывают, что на сводовых частях структур в результате трансгрессивного перекрытия отдельных подъярусов и горизонтов верхнеплиоценовых и четвертичных отложений глубина залегания кровли ПТ не превышает 500—600 м, а в сторону погружения крыльев в связи с постепенным наращиванием их мощности доходит до 2000—2200 м. Однако к северо-востоку, ближе долины Куры, отмечается резкое изменение как в мощностях этих осадков, так и в глубинах залегания их кровли. Как следует из данных ряда пробуренных на правом побережье р. Куры йодобромных скважин, глубина залегания кровли ПТ (2000—2200 м) в районе скв. 722 и других (Нефтечала) за счет сокращения мощностей отдельных стратиграфических единиц (акчагыльский, ашеронский ярусы и частично четвертичные отложения), резко уменьшаясь в районе скв. 788, заложенной к северу, доходит до 1200 м, что связано с наличием здесь погребенного продольного разрыва с амплитудой смещения по кровле ПТ до 800—1000 м (рис. 2, 3).

Этот разрыв, просядаясь с ЮВ на СЗ, играет значительную роль как в тектонической перестройке района Куринской дельты, так и в распределении пластовых жидкостей, о чем свидетельствуют разная минерализация и плотность пластовых вод, отмеченные в разрезе южной части Курсаня и северо-восточных крыльев поднятия Бабазанай-Нефте-

чала. Развитие этого разрыва на юго-востоке отмечается до конца бакинского времени накопления осадков, а на северо-западе — несколько позже. Возможно, он и является барьером для сохранения экраинирующих залежей нефти и газа в районе Куринской дельты.

Тектоническое строение Куринской дельты, т. е. района к северо-востоку от разрыва, из-за отсутствия достаточного количества данных трудно представить конкретно, однако бесспорно то, что мощность плас-

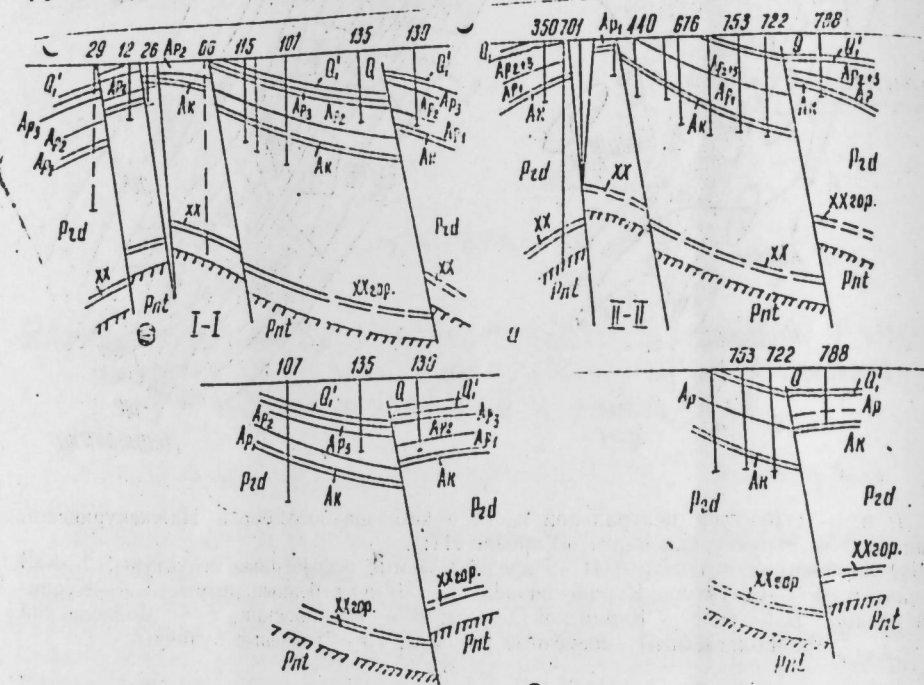


Рис. 2а, б — географические профили (I—I—Хиллы, II—II—Нефтечала)

тов плиоцена и постплиоцена здесь резко сокращается и их кровли приподняты на 800—1000 м. Возможно, они залегают падая с ЮЗ на СВ (в одном варианте), т. е. имеют моноклинальное строение и создают ступенчатый переход (рис. 2а). В противном случае следует ожидать наличие погребенной ундуляции (между Кюрсангя-Погорелой Плитой и Кюровдаг-Нефтечалинской зоной симметрично Кызылагачской ундуляции на юго-востоке — рис. 2б).

При изучении тектонического строения района бурением, если подтверждается первый вариант, т. е. моноклинальное залегание пластов, следует уточнить границу распространения залежей йодобромных вод в коллекторах ПТ (йодобромность вод I горизонта установлена в разрезе скв. 788), апшеронских и четвертичных отложений вдоль простирации моноклиниали и выявить наличие отдельных тектонических блоков, содержащих, возможно, экранирующие залежи нефти и газа, так как аналогичное явление, т. е. чередование залежей нефти и йодобромных вод, наблюдается в разрезе тектонических блоков северо-восточных крыльев структур Нефтечала и Хиллы: При наличии ундуляции (антиклинальная складка) граница предполагаемого перспективного участка несколько расширяется, т. е. в ее кульмиационной части глубина залегания кровли будет выше отмеченных стратиграфических единиц, где пласти и могут оказаться насыщенными.

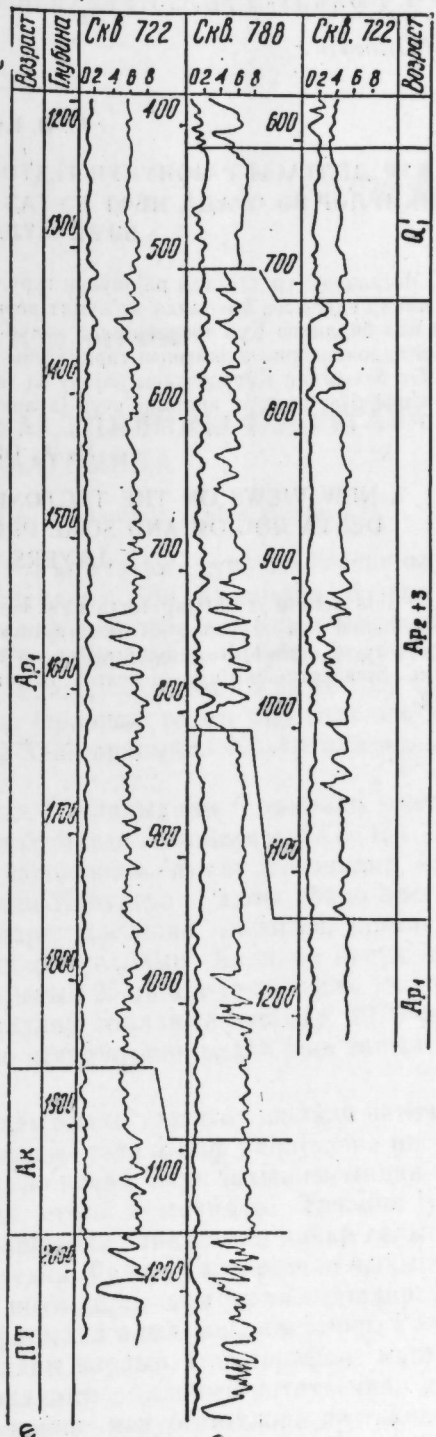


Рис. 3. Сопоставление разрезов скважин.

1. Гюльдуст М. М., Панахи Ш. А., Асадова М. Н. «Нефть и газ», 1972, № 8. 2. Гюльдуст М. А., Панахи Ш. А. «Уч. зап. АЗИНЕФТЕХИМ», 1974, № 4.

АзНИПИнефть

Поступило 6. IV 1977

М. Э. Күлдүст

**КҮР ДЕЛТАСЫ РАЙОНУНУН ТЕКТОНИК ГУРУЛУШУ ҺАГГЫНДА ЖЕНИ  
ФИКИРЛӘР ВӘ ОРАДА НЕФТ ВӘ ГАЗ ЛАЙЛАРЫНЫН АХТАРЫШЫНА ДАИР  
БӘЗИ МУЛДАНИЗӘЛӘР.**

Мәгәләдә Күр делтасы районунуң тектоникасынан гурулушу вә орада жени басдырылмыш поэгүилүгүн ашкар едилмәси һаггында мә'лумат вериллir. Тәдгигата көрө бу поэгүилүг дикәрләри илия бирликтә Күр чөкәклиниң чәнуб-гәрб ганада тәрәф иллюсөн чөкүптуләрниң карбонидрокенләрин ахымынын гарышынын алый екранлашмыш жатаг әмәлә кәтирә биләр. Бу баҳымдан Күр делтасы району ва еләчә дә Күр чөкәклиниң чәнуб-шәрг һиссеси кәшфијат ишләри апармаг үчүн жараплыдыр.

M. A. Ghuldust

**A NEW VIEWS ON THE TECTONIC STRUCTURE OF THE CURIAN  
DELTA ROGION AND SOME PRO-SENDINGS OF OIL AND GAS  
LAYERS SEARCH**

In this article is setting forth new views on the structure of Curian delta, relevance established the presence of new rupture, which possibly is playing role of screen on the way of carbon dioxide migration on the south-west board of Lower-Curian depression. Some pre-sendings of search of oil and gas layers in the cut of pliocene are giving.

АРХЕОЛОКИЈА

Н. Э. ЧИДДИ, А. Ш. ОРУЧОВ

**ШАМАХЫ РАЙОНУНДА АШҚАР ЕДИЛМИШ КОВУРГАЛА  
АБИДӘСИ ҺАГГЫНДА**

(Азэрбајҹан ССР ЕА академики Э. Э. Элизадә тәгдим етмишидир)

Азэрбајҹанын археологи чәһәтчә мүнтәзәм сүрәтдә тәдгиг олунаң саһәләрдән бири дә Ширван әразисидир. Соң заманлар бу әразидә, хүсусилә Шамахы әтрафында мұхтәлиф дөврләре айд бир нечә жени аби-дә геждә алымышыдыр. Буилардан Шамахы-Мәрәзә асфалт јолунун ши-мал тәрәфиндә (Шамахыдан 20 км. аралы) узагдан кәсик конусу хатыр-ладан һүндүр бир тәпәниң үзәриндә јөрләшән гәдим бир галанын ха-баларыны көстәрмәк олар. Бу гала халг арасында Ковургала адланыр. (хәркитәје бах).

Илк дәфә 1974-чү илин ијунунда Шамахыдақы 6 нөмрәли мәктәбин мүәллими Аллаһвердиев Аббасхан бу һагда Азэрбајҹан ССР ЕА Тарих Институтунун Шамахы археологи дәстәсии мә'лумат вермишидир. Архео-логи әдәбијатда Ширван зонасында Ковургала адлы абидә һаггында мә'лumatын олмадығыны нәзәрә алараг мәсәләни дәғигләшdirмәк мәг-сәдила геjd етдијимиз мәктәбин дикәр мүәллими Хәлилов Рәсул јолда-шын көмәјилә һәмин илин август айынын 25-дә абидә әтрафлы јохланыл-мыш вә јерүстү археологи материаллар топланылышыдыр. 1976-чы ил-дә дә женидән һәмин абидә нәзәрән кечирилмиш, әlavә жени таптынылар элдә едилмишидир.

Гала јөрләшән әразидә апарылан илкни тәдгигат ишләри иәтичәсии-дә мә'лум олмушудур ки, абида јөрләшән тәпә әтраф наһијәләре нисбәтән һаким вәзијјетдәдир. Бурадан Мәрәзә кәнді, онун јахынылығында кечән гәдим карван ѡлларыны мушаһидә етмәк мүмкүндүр. Тәпәниң јухары сәттини исә һәр тәрәфдән гырма дашларла тикилмиш дивар галыглары тәгрибән даирәви формада әнатә едир. Галаја әлверишли чыхыш јолу ши-мал-шәрг тәрәфдәндир. Бурада онун дарвазасы јөрләшмишидир. Бүрч-ләрин галыглары онун дөрдкүнч формада олмасыны көстәрир. Галанын ичәрисинде чохлу тикинти харабалары вардыр. һәр тәрәфдә мушаһидә едилән җанғын изләри абидәни шиддәтли одланма иәтичәсиидә дағыл-дығыны сөјләмәјә имкан верир. Тәпәниң чәнуб әтәкләри дә тикинти га-лыглары илә өртүлүдүр. Археологи тәдгигат заманы гала јөрләшән тә-пәниң үзәриндән вә онун чәнуб әтәjnидән бир сырға саксы мә'мұлат әлдә едилмишидир ки, абидәни дөврүнү мүәjjәнләшdirмәк үчүн бөյүк әһәмиј-јәтә маликдир. Буилар әлдә һазырланыш, килиниң тәркибиндә гум вә



Шамахы раionundaky Kovurgalaның јерләшдији эрази.

даш овунтусу олан хејрә, күп, күпә вә кобуд формада гајрылмыш үчајат габларын ајаг һиссәләри (табло 1—8), еләчә дә олдугча зәриф формада дүзәлдилмиш тәк гулпу бардаглардан ибарәттir. Нәмин материаллар ичәрисинде бардаглар диггәтәлајгидир. Онлардан биринин отурачагы ясты, бағазы узун, ағзы новлу, көвдәси аз хашалдыр. Ешмә формалы гулпу јухары тәрәфдән габыш ағзына, ашағыдан көвдәсинә бирләшмиштir. Ағзындакы новун кәнарында конусвары јанмалар вардыр. Габыш үзәриндә гырмызы боја чәкилмиштir. Онун үзәри хүсуси дулус аләти илә елә чилаланмышдыр ки, ону илк бахышда дәэкаһда формалашдырылан габлардан айырмаг чэтништir (табло 9).

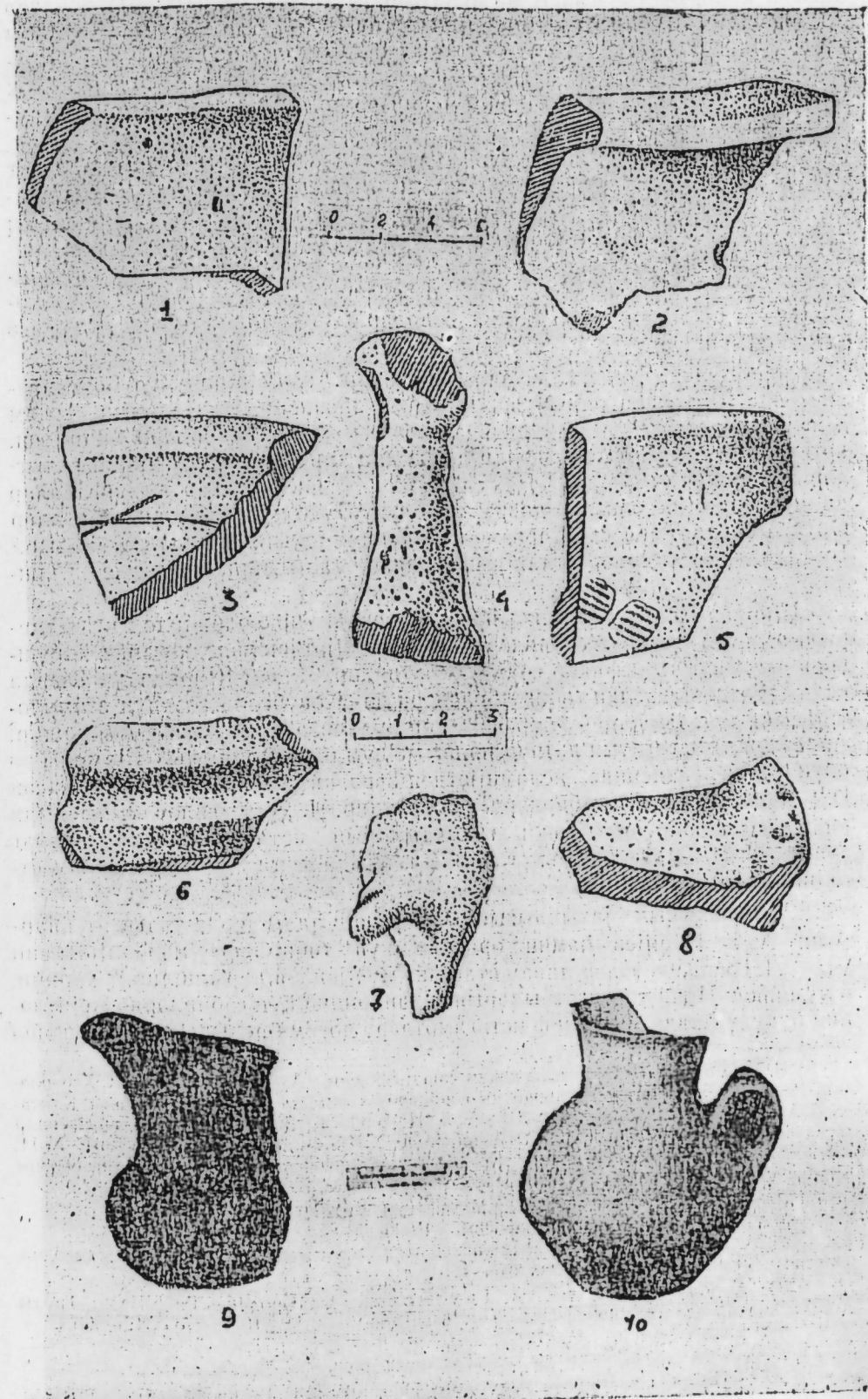
Бу тип габлар Шамахы әтрафында Хыныслынын даш гуту вә Шәркаһын күп гәбиrlәриндән мә'лумдур<sup>1</sup>.

Дикәр бардаг исә формасына көрә гејд етдијимиздән фәргләнир. Көвдәси шар формалы, ағзы дәнрәвиштir, өзу исә көдәк вә силиндрикдир. Көвдәсиндә ичәридән басма үсүлү илә бир-бiriндән ejni бәрабәрликдә алымыш габартмалар вардыр. Даирәви гулпунын үзәринә көзәлләк үчүн јапма дүјмәчик вурулмуштур. Үмумијјәтлә, бу икى бардаг јапма дәнрәви нахышларына көрә Азәрбајчанын дикәр илк орта сахсы мә'мұлатындан фәргләнир.

Гејд етдијимиз күми, тәсвирини вердијимиз сахсы мә'мұлатынын там охшары Азәрбајчанын илк орта әср абидаләриндән, <sup>2</sup> хүсусилә Ша-

<sup>1</sup> Ч. Э. Хәлилов. Хыныслыда 1963-чү илдә апарылан археологи тәдигигатын һесабаты. Азәрбајчан ССР ЕА Тарих Институтунун елми архиви, иш №5642; А. Б. Нуриев. Шамахы раionу эразисинде тәсадүфи археологи таптылар, "Азәрбајчан ССР ЕА Мә'рузаләри", 1961 №11.

<sup>2</sup> Р. М. Ванидов. Минкәчевир III—VIII әсрләрдә. Бакы, 1961, сәh. 39, 40 (III—V табло); Р. Б. Геюшев. Керамика города Кабалы (I—X век). Автореферат канд. дисс., Баку, 1962.



Табло.

махы вә онуи әтраф јашајыш јерләриндән<sup>3</sup> мә'лумдур. Истеңсал техникасына көрә, бу тиң сахсы мә'мұлатыны мүтәхессисләр III—IV әсрләре аид едиirlәр. Шубhәсиз ки, јухарыда тәсвир етдијимиз сахсы мә'мұлаты јерүстү материал олдуғу үчүн галанын јалныз соң дөврләри үчүн сәчиј-јәви ола биләр. Абидәдә археологи газынты апарылдығы тәгдирдә чох күман ки, бу тарихин даһа гәдим дөврләре аид олдуғуну сөјләмәк мүмкүн олачагды.

Мә'лум олдуғу кими, "каур" сөзү мәнишә е'тибары илә атәшпәрәст мә'насы дашијан "кәбр" сөзүндән алымышады.<sup>4</sup> Эрәбләр бу сөзү кафир кими гәбул етмиш, ислам дининде олмајанлары кафир, онларын галаларыны исә "Гәлә-Түл-куффар" (кафиirlәр галасы) адландырышлады. Бә'зи мәнбәләрдә бу галалар "Кафир гала" кими гејд едиilmишdir.<sup>5</sup> Түркдилли тајфалар "кәбр" вә "кафир" сөзүнү "кавур" кими тәләффүз етдикләринә көрә, һәмин галалар Ковургала ады илә дипламиза дахил олмушадур.

Азәрбајчанда Ковургала адлы абидәләр Ағдам рајонунун Бојәһмәдли кәнди, Гутгашен рајону вә Нахчыван әразисинде дә вардыр. Ағдам Ковургаласында Р. М. Ванидов археологи тәдгигат ишләри апармыш, иәтичәдә исламијјәтдән әвшәлки дөврә аид христиан мә'бәдинин галыгларыны ашкар етмишdir.<sup>6</sup> Нахчыван вә Гутгашендә олан Ковургалалар да исламијјәтдән әвшәлки дөврә аид олунур. Ковургала адлы абидәләр Орта Асијада Мәрв вә Харәзм шәһәрләре јахынлығында да варды.<sup>7</sup> Бу галаларда атәшпәрәстлик мә'бәдинин галыглары ашкар едиilmишdir.<sup>8</sup>

Ширан Ковургаласында һәләлик кениш археологи тәдгигат апарылдығы үчүн гала сакинләрини исламијјәтдән әвшәлки дини көрүшләри нағында гәти фикир сөјләмәк чәтиидир. Лакин Ширан зонасында исламијјәтдән әвшәлки гәбир абидәләри вә Ковургала сөзүнүн етимологиясына әсасланараq бу барада илкин мұланиязәләр сөјләмәк мүмкүндүр. Археологи тәдгигатын иәтичесинде мә'лум олмушадур ки, Шамахы вә онуи әтраф әразисинде исламијјәтдән әвшәлки гәбир абидәләри әсасен гүйү, даш гуту вә күп гәбиirlәрдән ибарәтdir. Ч. Ә. Хәлилов Хыныслыда апардығы кениш археологи газынтыларын иәтичесинә әсасланараq ерамызыны III—IV әсрләрина гәдәр Шамахыда күп гәбиirlәрдә мејитләри бүкүлу һалда мүхтәлиф истигамәтләре дөгру басдырылмасы күнәшә

Шамахынын јахынлығында Шәркәh адлы јердә тәдгигат апармыш А. Б. Нуриев һәмин әразидә күп гәбиirlәри мәдәнијјәтини VII—VIII әсрләре гәдәр давам етдиини мүәјjәnlәшdirмишdir.<sup>10</sup> Харичи, о чүмләдән Иран тәдгигатчыларынын фикринчә күп гәбиirlәрдә мејитләри бүкүлу һалда мүхтәлиф истигамәтләре дөгру басдырылмасы күнәшә

<sup>3</sup> Ч. Ә. Хәлилов. Хыныслы гәдим јашајыш яри. «Азәрбајчан ССР ЕА Хәбәрләри», 1961, сәh.; Јенә онуи. Раскопки на городище Хыныслы памятнике древней Кавказской Албании, СА, 1962, №1, стр. 216; А. Б. Нуриев. Шамахы району әразисинде тәсадүfi археологи тапкытылар. «Азәрбајчан ССР ЕА Ма'рузәләри», 1961, №11, сәh. 1111—111; А. Ш. Оруджев. Керамическое производство в раннем средневековом Азербайджане (IV—VIII вв.), Автореферат канд. дисс., Баку, 1971.

<sup>4</sup> Советская историческая энциклопедия, т. 4, М., 1963, стр. 923.

<sup>5</sup> Мәнбәләрдән күп гәбиirlәрдән һагында. Азәрбајчанын мадди мәдәнијјәти, VI чилд, Бакы, 1965, сәh. 167—183.

<sup>6</sup> Ч. Ә. Хәлилов. Хыныслы гәдим јашајыш яри, сәh. 36—39.

<sup>7</sup> А. Б. Нуриев. Шәркәh күп гәбиirlәри һагында. Азәрбајчанын мадди мәдәнијјәти, VII чилд, Бакы, 1973, сәh. 220—233.

ситајиши инамы илә әлагәдардыр. Бу һал илин вә күнүн мүхтәлиф вахтарында мејитләрин күнәшә дорғу тә'зим һалында басдырылмасы адәтийдән ирәли кәлмишdir.<sup>11</sup> Шамахы әразисинде әлдә едиilән даш hej-кәлләр вә мејитләрин бә'зән күчлү од ичәрисинде јандырылмасы факты<sup>12</sup> һәмин әразидә исламијјәтдән әвшәл бүтә вә ода ситајиши инамынын да гисмән мөвчуд олдуғуну сөјләмәjә имкан өверир. Беләликлә, исламијјәтдән әвшәл Шамахы вә онуи әтрафында јашајан ииссанларын, о чүмләдән Ковургала сакинләринин сәма чисимләrinә, бүтә вә гисмән ода ситајиши етмәләри еһтималы мејдана чыхыр. Бу чәhәтдән тәдгиг етдијимиз Ковургала абидәсинде VII әсрдән сонракы дөврә аид мадди мәдәнијјәт галыгларына тәсадүfi олунмасы диггәти чәлб едир. Јәгни ки, әрәб истиласы заманы мүсәлмәнләрни бүтпәрәст вә атәшпәрәстләре диван тутмалары илә әлагәдар Ковургала абидәси дағыдылыш вә һәмин тарихдән бу јер әрәбләр тәрәфииндән "Кафир гала" (قاو الکار) адландырылышадыр.

Тарих институту

Алынмышдыр 4. III 1977

Г. А. Джидди, А. Ш. Оруджев

## О НОВОВЫЯВЛЕННОМ ПАМЯТНИКЕ ГЯВУРКАЛА В ШЕМАХИНСКОМ РАЙОНЕ

В северо-восточной части Шемахи (20 км от с. Джайырлы) обращает на себя внимание холм, напоминающий усеченный конус. Среди местного населения этот холм известен под наименованием Гявуркала. При раскопках на территории крепости в большем количестве собрана неподлицкая простая и крашеная керамика ручной лепки (фрагменты сосудов, обломки котлов, копы черного обжига). Поверхность сосудов подвергнута слабому лощению. Подобные образцы известны и из раннесредневековых слоев Хыныслов, Шаргаха (Шемахинский район), Мингечеура и Кабалы. На основании найденного материала можно сказать, что на территории крепости жизнь существовала до нашествия арабов.

G. A. Jiddy, O. Sh. Orudjew

## ABOUT THE NEWLY MEMORIAL PIAVURGALA IN SHEMACHA

In this article said about the newly memorial Plavurgala in the north-east part of the city Shemacha on the distant of 20 km by the way to the village Djairly. The results of the archaeological investigations on the territory of the citadel the life was pre-government of Arabes. In the end give of the etymology of the word Plavurgala.

<sup>11</sup> Һ. Ә. Чидди. Иран Азәрбајчаныда апарылан археологи газынтылары ичмалы. Азәрбајчанын мадди мәдәнијјәти, VI чилд, Бакы, 1965, сәh. 285.

<sup>12</sup> Ч. Ә. Хәлилов. Хыныслыда археологи газынтылары илә иәтичәләри һагында. Азәрбајчанын мадди мәдәнијјәти, VI чилд, Бакы, 1967, сәh. 11; Дж. А. Хәлилов. Раскопки из городища Хыныслы памятнике древней Кавказской Албании, стр. 216.

## МУНДЭРИЧАТ

### Ријазијјат

В. А. Эбило. Кэспилмәјен функцијаларын Фурје—Лагерр сырасынын хүснү чәмләринин әдәди ортасы илә јахылашмасы . . . . . 3

### Техники кибернетика

М. А. Гулијев. Делта-функција илә нәзәрә алынаан мәнбәләри олан гејри-стационар температур саһәсине билавасытә моделләширилмәси схеми . . . . . 6

### Физика

Ж. М. Сејидов, Н. К. Абдуллаев. Ферромагнитләрдә сәтһ магнито-ластик далгаларынын параметрик ојадылмасы . . . . . 10

### Ярымкечирничиләр вә диселектрикләр физикасы

М. И. Элијев, Ф. М. Ыашымзадә, Р. М. Чаббаров.  $\text{InSb}$ -да да ағыр дешикләрин сабит енержи сәтһләринин анизотроплуғунун Нолл әмсалына тә'сiri . . . . . 15

### Енергетика

Б. Э. Эзимов, Д. М. Кремер. Трансформаторларын һесабат күчләrinин тә'јин олуимасында температур һәдди вә истилекләрдән изолјасијаын јејилмәси эмсалларынын максимумларынын иисбәтийни тәдгиги . . . . . 19

### Үзви кимja

Ә. М. Гулијев, М. Э. Шакәлдијев, И. Э. Элијев. Уилу-алкиларил-суlfидләrin алымасынын јени усулу . . . . . 25  
Ш. А. Мәммәдов, К. Һ. Һәсәнов, В. С. Эһмадов. З-хлор-1-( $\beta$  = ок-ситетокс) пропанол-2-ини төрәмәләринин НРМ спектләри . . . . . 29

### Кенетика

М. А. Элизадә, Ш. И. Һачыјева. Биткиләрдә бөјүмә просеси вә нук-леин мубадиләсиин һумни туршуларынын тә'сiriла стимулә едиilmәси . . . . . 34

### Биткиләрин анатомијасы

З. Э. Новрузова, В. С. Аббасова, А. М. Эскэр. Гаја гыжыларынын гурулушча ихтисаслашмалары . . . . . 37

### Зоологија

Ф. Г. Агамалыјев. Хәзәр дәнизиини планктон инфузорларынын эколокијасы . . . . . 42

### Торпагшұнаслыг

Р. Н. Мәммәдов, Ж. Җ. Һәсәнов. Экилмеш мешәниң боз-чәмән торпагларынын агрофизики хассаләрине тә'сiri . . . . . 45

### Литолокија

Ш. Ф. Меһдијев, Ж. Н. Тер-Карапетјантс, Э. А. Элијев. Ашағы Күр депрессијасы нефт ятагларынын коллектор сүхурларында әлагәли мәсамәлик эмсалынын әдәди гијмәтииниң дојишимәси сәчијјәси нағында . . . . . 50

### Палеонтолокија

К. Г. Гасымова, Д. Һ. Элијева. Азәрбајҹан Јура чөкүнүләринде Planularia triserialnella группуның иенни иөвләри . . . . . 55

### Топонимика

Б. Э. Будагов, Э. И. Элијев. «Китаби-Дәдә Горгуд» дастанлары Азәрбајҹан топонимијасының өјрәнилмәсендә бир мәнбә кими . . . . . 61

### Тектоника

М. Э. Күлдүст. Күр делтасы рајонуну тектоник гурулушу нағында жени фикирләр вә орада нефт вә газ лајларынын ахтарышына даныр бә'зи мұлаһизәләр . . . . . 66

### Археолокија

И. Э. Чидди, А. Ш. Оручов. Шамахы рајонунда ашкар едиilmиш Kovur-тала абиðеси нағында . . . . . 71

## Литология

Ш. Ф. Мехтиев, Ж. Н. Тер-Карапетянц, А. А. Алиев. О характере изменения величины открытой пористости пород коллекторов некоторых нефтегазовых залежей Нижнекуриńskiej депрессии 50

## Палеонтология

Г. К. Касимова, Д. Г. Алиева. Новые виды группы *Planularia trisarinella* юрских отложений Азербайджана 55

## Топонимика

Б. А. Будагов, А. И. Алиев. Дастаны «Китаби Деде Коркут» как источник изучения топонимии Азербайджана 61

## Тектоника

М. А. Гюльдуст. Новые взгляды на тектоническое строение района Куриńskiej дельты и некоторые предпосылки поисков залежей нефти и газа 66  
Г. А. Джидди, А. Ш. Оруджев. О новооткрытом памятнике Гявуркала в Шемахинском районе 71

## СОДЕРЖАНИЕ

### Математика

В. А. Абилов. Приближение непрерывных функций арифметическими средними частных сумм ряда Фурье—Лагерра 3

### Техническая кибернетика

М. А. Гулиев. Прямая схема моделирования нестационарного температурного поля при наличии источников, учитываемых дельта-функций Дирака 6

### Физика

Ю. М. Сейдов, Н. Г. Абдуллаев. Параметрическое возбуждение поверхностных магнитоупругих волн в ферромагнетиках 10

### Физика полупроводников и диэлектриков

М. И. Алиев, Фирзуза М. Гашимзаде, Р. М. Джаббаров. Влияние анизотропии изоэнергетических поверхностей тяжелых дырок на коэффициент Холла в *p*-InSb 15

### Энергетика

Б. А. Азимов, Д. М. Кремер. Исследование соотношений коэффициентов максимумов по предельной температуре и тепловому износу изоляции при определении расчетной мощности силовых трансформаторов 19

### Органическая химия

А. М. Кулиев, М. А. Шахгельдиев, И. А. Алиев. Новый способ получения *трет*-алкиларилсульфидов 25

Ш. А. Мамедов, К. Г. Гасанов, В. С. Ахмедов. Спектры протонного магнитного резонанса производных 3-хлор-1-( $\beta$ -оксиэтокси) пропиолата-2 29

### Генетика

М. А. Ализаде, Ш. И. Гаджиева. Стимуляция гуминовой кислотой процессов роста и нуклеинового обмена у растений 34

### Анатомия растений

З. А. Новрузова, В. С. Аббасова, А. М. Аскеров. Структурная специализация скальных папоротников 37

### Зоология

Ф. Г. Агамалиев. Экология планктонных инфузорий Каспийского моря 42

### Почвоведение

Р. Г. Мамедов, Ю. Г. Гасанов. Влияние лесных насаждений на агрофизические свойства сероземно-луговых почв Ширванской степи 45

## ПРАВИЛА ДЛЯ АВТОРОВ

1. В «Докладах Академии наук Азербайджанской ССР» помещаются краткие сообщения, содержащие законченные, еще не опубликованные результаты научных исследований, имеющих теоретическое или практическое значение.

В «Докладах» не публикуются крупные статьи, механически разделенные на ряд отдельных сообщений, статьи полемического характера без новых фактических данных, статьи с описанием промежуточных опытов без определенных выводов и обобщений, работы непринципиальные, описательного или обзорного характера, чисто методические статьи, если предлагаемый метод не является принципиально новым, а также статьи по систематике растений и животных (за исключением описания особо интересных для науки находок).

Статьи, помещаемые в «Докладах», не лишают автора права последующей публикации того же сообщения в развернутом виде в других изданиях.

2. Поступающие в «Доклады» статьи рассматриваются Редакционной коллегией только после представления их академиком по специальности. Каждый академик может представить не более 5-ти статей в год.

Статьи членов-корреспондентов Академии наук Азербайджанской ССР принимаются без представления.

Редакция просит академиков при представлении статьи указывать дату получения ее от автора, а также наименование раздела, в котором статья должна быть помещена.

3. В «Докладах» публикуются не более трех статей одного автора в год.

4. В «Докладах» помещаются статьи, занимающие не более четверти авторского листа — около 6—7 страниц машинописи (10 000 печатных знаков), включая рисунки.

5. Все статьи должны иметь резюме на английском языке; кроме того, статьи, написанные на азербайджанском языке, должны иметь: резюме на русском языке и наоборот.

6. В конце статьи должны быть указаны название научного учреждения, в котором выполнена работа, и номер телефона автора.

7. Опубликование результатов работ, проведенных в научных учреждениях должно быть разрешено дирекцией научного учреждения.

8. Статьи (включая и резюме), должны быть напечатаны на машинке через два интервала, на одной стороне листа и представляются в двух экземплярах. Формулы должны быть вписаны четко и ясно, при этом прописные буквы должны быть подчеркнуты (черным карандашом) двумя черточками снизу, а строчные — сверху, букву греческого алфавита надо обводить красным карандашом.

9. Цитируемая в статье литература должна приводиться не в виде подстрочных сносок, а общим списком (вподбор), в алфавитном порядке (по фамилии автора), в конце статьи с обозначением ссылки в тексте порядковой цифрой. Список литературы должен быть оформлен следующим образом:

а) для книг: фамилия и инициалы автора, полное название книги, номер тома, город, издательство и год издания;

б) для статей в сборниках (трудах): фамилия и инициалы автора, название статьи, название сборника (трудов), том, выпуск, место издания, издательство, год, страница;

в) для журнальных статей: фамилия и инициалы автора, название статьи, название журнала, год, том, номер, (выпуск), страница.

Ссылки на неопубликованные работы не допускаются (за исключением отчетов и диссертаций, хранящихся в научных учреждениях).

10. На обороте рисунков должны быть указаны фамилия автора, название статьи и номер рисунка. Отпечатанные на машинке подписи к рисункам представляются на отдельном листе.

11. Авторы статей должны указывать индекс статьи по Унифицированной десятичной классификации (УДК) и прилагать реферат для «Реферативного журнала».

12. Авторы должны избегать повторения одинаковых данных в таблицах, графиках и в тексте статьи.

Ввиду небольшого объема статей выводы помещаются лишь в необходимых случаях.

13. В случае представления двух или более статей одновременно необходимо указать желательный порядок их помещений.

14. Корректура статей авторам как правило не посыпается. В случае посылки корректуры допускается лишь исправление ошибок типографии.

15. Редакция выдает автору бесплатно 15 отдельных оттисков статьи.



Сдано в набор 10/VIII 1977 г. Подписано к печати 11/XI 1977 г. Формат бумаги  
70×108<sup>1</sup>/<sub>16</sub>. Бум. лист. 2,5. Печ. лист. 7,0. Уч.-изд. лист. 5,79. ФГ 19818.  
Заказ 795. Тираж 695. Цена 40 коп.

Издательство «Элм».

370073, Баку-73, проспект Нариманова, 31, Академгородок, Главное здание.  
Типография АН Азерб. ССР. Баку, проспект Нариманова, 31.

40 гэп.  
коп.

Индекс  
76355